

多次元伝熱流動解析コードの整備・改良(II)

タスク3：PCG法の検討

1985年5月

動力炉・核燃料開発事業団
大洗工学センター

この資料は、動燃事業団の開発業務を進めるため、限られた関係者だけに配布するものです。従って、その取扱いには十分注意を払って下さい。なお、この資料の供覧、複製、転載、引用等には事業団の承認が必要です。

配 布 限 定

PNC SN941 85-90

1985年 5月

多次元伝熱流動解析コードの整備・改良(II)

タスク3：PCG法の検討

村松 寿晴，前川 勇
二ノ方 寿

要　旨

現在使用している単相多次元伝熱流動解析コード COMMIX-1A (Ver 12.0) の連立1次方程式解法は PSOR 法であるが、計算セル数が 5000 を越えるような詳細問題では収束性が著しく悪い。そこで、理論的には有限回の反復で解を求めることができる CG 法(Conjugate Gradient Method)に Preconditioning 機能を追加した PCG 法をオプションとして追加し、PCG 法の特性の把握を行なった。得られた結果は、以下に示す通りである。

- 1) 解くべき連立1次方程式の係数行列をバンド最小化することにより、反復回数が減少する。
- 2) スケーリングおよび不完全コレスキー分解による Preconditioning の効果は大きく、反復回数を著しく減少させる。
- 3) 過渡変化の激しい非定常問題では PCG 法が SOR 法よりも CPU 時間の面で有効であるが、逆に過渡変化の緩やかな問題に対しては PCG 法は不利となる。
- 4) PCG 法がベクトル計算機向きであることが確かめられ、またスカラー演算よりも有効であることが確認された。

NOT FOR PUBLICATION

PNC SN941 85-90

May, 1985

Improvement and Validation of Three-Dimensional
Thermal-Hydraulics Code (II)

Task 3 : Investigation of P.C.G. Method

Toshiharu Muramatsu*, Isamu Maekawa*,
and Hisashi Ninokata*

Abstract

COMMIX-1A is a single-phase three-dimensional thermal-hydraulic analysis code with finite difference method developed at U.S. Argonne National Laboratory. In the original version, the scheme employs the P.S.O.R. method to solve the linear equation system. It has been pointed out that the convergence of mass balance becomes worse for detailed problems with computational cells of more than 5000. To eliminate this problem, a new solver has been added to the code. The scheme is based on the P.C.G. (Preconditioned Conjugate Gradient) method.

The performances of P.C.G. method are as follows:

- 1) Iteration number is decreased by reducing the band width of the coefficient matrix.
- 2) Iteration number is decreased by using a preconditioned coefficient matrix with scaling and/or incomplete Choleski decomposition processes.
- 3) P.C.G. method has been successfully applied to the severe transient problems. However it is found that the method is not efficient for slow transient analyses.
- 4) It has been confirmed that the P.C.G. method is suited for vector machine.

* FBR Engineering Section, Safety Engineering Div., OEC, PNC

目 次

第1章 緒 言	1
第2章 PCG法と計算手法	2
2.1 PCG法	2
2.1.1 CG法	2
2.1.2 対角スケーリング法	4
2.1.3 ICCG法	4
2.2 計算手法	6
2.2.1 係数行列の作成	6
2.2.2 計算の流れ	10
2.2.3 Hybrid Scheme	11
第3章 PCG法に関する各種検討	12
3.1 数値実験用解析体系	12
3.2 係数行列の作成とその効果	12
3.3 PCG法オプションによる条件数の改善	14
3.4 SOR法との比較	14
3.5 Hybrid Scheme の効果	17
3.6 PCG解法の選定の目安	18
3.7 ベクトル化の検討	18
3.8 タンク型炉炉上部プール解析	18
3.9 高速実験炉「常陽」MK-I 自然循環解析	19
3.10 今後の課題	20
第4章 結 言	21
参考文献	22
付 錄	
A 追加入力データ	23
B 圧力方程式の離散化	24
C エネルギー方程式の離散化	26
D PCG計算パッケージ	28
E サブルーチン負荷率	29

List of Table

Table E.1 Comparison of Sub-Program Occupation Ratio Between Original Version and Corrected Version

List of Figures

- Figure 2.1 C.G. Algorithm for Symmetrical Matrix
(Hestenes-Stiefel Version)
- Figure 2.2 C.G. Algorithm for Unsymmetrical Matrix
- Figure 2.3 I.C.C.G. Algorithm
- Figure 2.4 Overall Flow Chart of COMMIX-1A
- Figure 2.5 General Flow Chart of SUBROUTINE MOLOOP
- Figure 2.6 General Flow Chart of SUBROUTINE ENLOOP
- Figure 2.7 Overall Flow Chart of P.C.G. Solver
- Figure 3.1 Mesh Arrangement for Fundamental Problems
- Figure 3.2 Effect of Band Matrix Width about Iteration Number in
S. SOLVIT on 126 Cells Problem
(Iteration Scheme = C.G. Method)
- Figure 3.3 Effect of Band Matrix Width about Iteration Number in
S. SOLVIT on 126 Cells Problem
(Iteration Scheme = Scaling Method)
- Figure 3.4 Effect of Band Matrix Width about Iteration Number in
S. SOLVIT on 126 Cells Problem
(Iteration Scheme = I.C.C.G. Method)
- Figure 3.5 Effect of Band Matrix Width about Iteration Number in
S. SOLVIT on 1400 Cells Problem
(Iteration Scheme = C.G. Method)
- Figure 3.6 Effect of Band Matrix Width about Iteration Number in
S. SOLVIT on 1400 Cells Problem
(Iteration Scheme = Scaling Method)
- Figure 3.7 Effect of Band Matrix Width about Iteration Number in
S. SOLVIT on 1400 Cells Problem
(Iteration Scheme = I.C.C.G. Method)
- Figure 3.8 Comparison of Matrix Condition of Each Scheme on 126
Cells Problem
- Figure 3.9 Comparison of Matrix Condition of Each Scheme on 1400
Cells Problem
- Figure 3.10 Comparison of Convergency of Each Scheme on 126 Cells
Problem
- Figure 3.11 Comparison of Mass Balance Convergency of Each Scheme
about 126 Cells Problem on Scalar Machine
(Time Step = 1)

- Figure 3.12 Comparison of Mass Balance Convergency of Each Scheme about 126 Cells Problem on Scalar Machine
(Time Step = 28)
- Figure 3.13 Comparison of Convergency of Each Scheme on 1400 Cells Problem
- Figure 3.14 Comparison of Mass Balance Convergency of Each Scheme about 1400 Cells Problem on Scalar Machine
(Time Step = 1)
- Figure 3.15 Comparison of Mass Balance Convergency of Each Scheme about 1400 Cells Problem on Scalar Machine
(Time Step = 600)
- Figure 3.16 Effect of Hybrid Schemes on 126 Cells Problem
- Figure 3.17 Effect of Hybrid Schemes on 1400 Cells Problem
- Figure 3.18 Velocity Transient at Inlet of 126 Cells Model
- Figure 3.19 C.P.U. Time Ratio VS. Velocity Change Ratio
- Figure 3.20 Time Step Size Δt Dependency of Matrix Condition on 126 Cells Problem
- Figure 3.21 Comparison of Convergency of Each Scheme about 126 Cells Problem on Vector Machine
- Figure 3.22 Comparison of Convergency of Each Scheme about 1400 Cells Problem on Vector Machine
- Figure 3.23 Schematic Figure of Water Test Section
- Figure 3.24 Computational Cell Partitioning of the Test Plenum
- Figure 3.25 Input Data for Steady-State Run of Water Test
- Figure 3.26 Input Data for Transient Run of Water Test
- Figure 3.27 Velocity and Temperature Transient at Inlet of the Test Section
- Figure 3.28 Comparison of Processing Time of Each Scheme on Scalar Machine
- Figure 3.29 Comparison of Processing Time of Each Scheme on Vector Machine
- Figure 3.30 Cell Partitioning for Two-Dimensional Analyses of JOYO MK-I Natural Circulation Test
- Figure 3.31 Comparison of Convergency of Each Scheme about Steady-State Run of JOYO Natural Circulation Test
- Figure D.1 Source List of P.C.G. Solver
- Figure E.1 Comparison of Convergency Between Original Version and Corrected Version

PNC SN 941 85--90

Figure E.2 Effect of S. YMOMI Skip for C.P.U. Time of S. TIMSTP

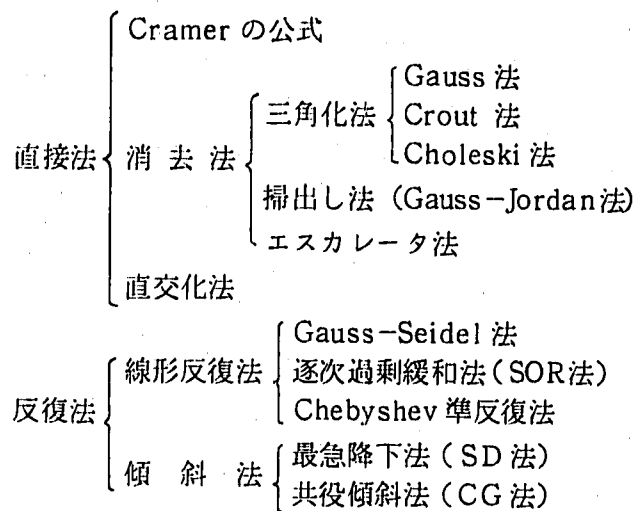
Figure E.3 Effect of S. YMOMI Skip for C.P.U. Time of S. SOLVIT

第1章 緒 言

昭和58年1月に米国NRCを通してANLから動燃事業団に導入された有限差分法による単相3次元汎用熱流動解析コード "COMMIX-1A (Ver. 12.0)¹⁾" は、動燃事業団における高速炉の設計および伝熱流動安全評価解析を推進するための標準コードとして位置付けられようとしている。

有限差分法あるいは有限要素法を用いた解析計算に於ては、最も計算時間のかかる部分の1つに大型連立1次方程式を解くというプロセスがある。このプロセスの計算量の効率化を計ることは、解析コード全体の効率化に少なからぬ貢献をする。

連立1次方程式の解法には、大別すると次の様なものがある。



COMMIX-1Aに於ては、PSOR法 (Point Successive Overrelaxation iterative method) を使用しており、今まで各種計算に用いられてきている。しかし、詳細計算 (計算セル数 ≥ 5000) での収束性が極端に悪いため、実際的な解析 (3次元流れ問題等) が十分に行なえないことが明らかとなっている。そこで、理論的には n 次元連立1次方程式を高々 n 回の反復で解くことができる CG 法に Preconditioning 機能を追加した PCG 法を COMMIX-1A の解法の1つとして追加した。この解法は、各反復において (行列 \times ベクトル) の計算のみを必要とするだけで、消去法のように係数行列の全ての要素を配列として記憶する必要が全くない。いわば有限回の計算回数で厳密解が得られる直接法の性質と、行列とベクトルの積和計算のみを必要とする反復法の性質とを兼ね備えた解法である。

本報告書は、今回追加した PCG 法の詳細と基本問題について従来の SOR 法と比較検討した結果について記したものである。

第2章 P.C.G.法と計算手法

2.1 PCG法

2.1.1 CG法

CG法は、1952年にM. HestenesとE. Stiefel²⁾によって発表された手法で、反復法でありながら有限回の反復で連立1次方程式を解くことができるという画期的なものである。さらに、CG法には、SOR法に見られるような加速パラメータの選定の煩わしさがなく、直接法のように大量の記憶領域も必要としないのが特徴である。

解くべき連立1次方程式を

$$Ax = b$$

とする。ここで

$$\begin{aligned} A &: \text{正值対称な疎係数行列} = \begin{bmatrix} a_{11}, a_{12}, \dots, a_{1j} \\ \dots \\ a_{i1}, a_{i2}, \dots, a_{ij} \end{bmatrix} \\ x &: \text{未知数} \\ b &: \text{定数} \end{aligned}$$

である。

CG法の対称行列用アルゴリズムを以下に、またフローチャートをFigure 2.1に示す。

$$r_i^0 = b_i - \sum_{j=1}^n a_{ij} x_j^0$$

$$P_i^0 = r_i^0$$

$$\alpha^k = (r_i^k, r_i^k) / (AP_i^k, P_i^k)$$

$$x_i^{k+1} = x_i^k + \alpha^k p_i^k$$

$$r_i^{k+1} = r_i^k - \alpha^k Ap_i^k$$

$$\beta^k = (r_i^{k+1}, r_i^{k+1}) / (r_i^k, r_i^k)$$

$$p_i^{k+1} = r_i^{k+1} + \beta^k p_i^k$$

$$i = 1, 2, \dots, n$$

ここで、各記号は以下の意味である。

Press : 未知数前 timestep 値

r : 残差

a : 係数行列要素

p : 修正方向

α : 修正量
 β : 残差率
 y : $a_{ij} \cdot p_j$
 t : time step
 k : iteration step
 n : 次数
 i, j : 行列 index
EPS : 収束判定値

CG 法の重要な特徴は、残差ベクトル r_i について、

$$(r_i \cdot r_j) = 0 \quad (i = j)$$

が成立することである。すなわち、 $i = j$ ならば r_i と r_j は直交する。したがって、異なった方向に n 回の反復を行なえば、 n 次元ベクトル空間で $n + 1$ 個以上の直交基は存在しない故に、 $r^{n+1} = 0$ となり厳密解に到達する。詳しくは、文献 2) 参照のこと。

また、アルゴリズムを見て判かる様に、計算過程に於て行列とベクトルの乗算及びベクトルの内積・加算しかなく、ベクトル計算機向きであると言える。

一方、A が非対称行列の場合には、

$$A \cdot A^T \text{ および } A^T \cdot A$$

が対称行列になる性質を利用して、Figure 2.1 のアルゴリズムを修正する。すなわち、A の現われる演算において、

$$r_i^0 = A^T \cdot (b_i - \sum_{j=1}^n a_{ij} x_j^0) \quad i = 1, n$$

および

$$y_i^k = A^T \cdot (\sum_{j=1}^n a_{ij} p_j) \quad i = 1, n$$

の形で計算する。この修正アルゴリズムを以下に、またフローチャートを Figure 2.2 に示す。

$$r_i^0 = A^T (b_i - \sum_{j=1}^n a_{ij} x_j^0)$$

$$p_i^0 = r_i^0$$

$$\alpha^k = (r_i^k, r_i^k) / (A^T (A p_i^k), p_i^k)$$

$$x_i^{k+1} = x_i^k + \alpha^k p_i^k$$

$$r_i^{k+1} = r_i^k - \alpha^k A^T (A p_i^k)$$

$$\beta^k = (r_i^{k+1}, r_i^{k+1}) / (r_i^k, r_i^k)$$

$$p_i^{k+1} = r_i^{k+1} + \beta^k p_i^k$$

$$i = 1, 2, \dots, n$$

2.1.2 対角スケーリング法³⁾

CG 法の収束を有利にする Preconditioning の一つであり、最も簡単なものである。

連立 1 次方程式

$$\left\{ \begin{array}{l} a_{11} x_1 + a_{12} x_2 + \dots + a_{1n} x_n = b_1 \\ a_{21} x_1 + a_{22} x_2 + \dots + a_{2n} x_n = b_2 \\ \vdots \\ a_{n1} x_1 + a_{n2} x_2 + \dots + a_{nn} x_n = b_n \end{array} \right.$$

をそのまま解くかわりに、第 1, 2, …, n 式の両辺を、それぞれ対角要素の平方根 (d_1, d_2, \dots, d_n) で割り、また変数変換

$$y_1 = e_1 x_1 \quad y_2 = e_2 x_2 \quad \dots \quad y_n = e_n x_n$$

を行なって、

$$\left\{ \begin{array}{l} a'_{11} y_1 + a'_{12} y_2 + \dots + a'_{1n} y_n = b'_1 \\ a'_{21} y_1 + a'_{22} y_2 + \dots + a'_{2n} y_n = b'_2 \\ \vdots \\ a'_{n1} y_1 + a'_{n2} y_2 + \dots + a'_{nn} y_n = b'_n \end{array} \right.$$

という形にして解くものである。ここで

$$a'_{ij} = a_{ij} / (d_i e_j)$$

$$b'_i = b_i / d_i$$

$$d_i = \sqrt{a_{ii}}$$

$$e_i = \sqrt{a_{ii}}$$

である。

2.1.3 ICCG 法

ICCG 法 (Incomplete Choleski and Conjugate Gradient Method)^{4), 5)} は、Meijerink, van der Vorst らにより開発された。これは、直接法 ($L \cdot L^T$ 分解) と CG 法を混合した手法である。疎な係数行列に完全コレスキー分解 ($L \cdot L^T$) を行なえば、分解行列 L はもはや疎ではなくなり密行列となる。そこで行列 L ももとの係数行列と同程度に疎にするために不完全コレスキー分解を考えることになる。即ち、もとの係数行列において 0 が入っている場所については何も

計算せず 0 と置いてしまい、計算を続行することである。これにより作成される行列 L とともに係数行列 A との関係は、

$$L \cdot L^T \approx A$$

となる。この関係を用い、

$$A \cdot x = b$$

を解くかわりに

$$(L^{-1} AL^{-T}) (L^T x) = (L^{-1} b)$$

として、これに CG 法を適用するものである。これは、 $A \cdot x = b$ に対し変数変換を行なったことと同等で、

$$A' \cdot x' = b'$$

を解くことに帰着する。ここで、

$$A' = (L^{-1} AL^{-T})$$

$$x' = (L^T x)$$

$$b' = (L^{-1} b)$$

である。

ICCG 法の対称行列用アルゴリズムを以下に、またフローチャートを Figure 2.3 に示す。

$$r_i^0 = b_i - \sum_{j=1}^n a_{ij} x_j^0$$

$$p_i^0 = (LL^T)^{-1} r_i^0$$

$$\alpha^k = (r_i^k, (LL^T)^{-1} r_i^k) / (Ap_i^k, p_i^k)$$

$$x_i^{k+1} = x_i^k + \alpha^k p_i^k$$

$$r_i^{k+1} = r_i^k - \alpha^k A p_i^k$$

$$\beta^k = (r_i^{k+1}, (LL^T)^{-1} r_i^{k+1}) / (r_i^k, (LL^T)^{-1} r_i^k)$$

$$p_i^{k+1} = (LL^T)^{-1} r_i^{k+1} + \beta^k p_i^k$$

$$i = 1, 2, \dots, n$$

アルゴリズム中の $(LL^T)^{-1} r_i$ は、以下の様な前進代入および後退代入による消去法により評価される。

$$L \cdot V = r_i$$

$$V = L^{-1} \cdot r_i$$

$$L^T \cdot u = V$$

$$u = L^{-T} V$$

$$= L^{-1} L^{-T} r_i$$

ここで、

L : 下三角行列 (既知)

L^T : 上三角行列 (既知)

r_i : 残差 (既知)

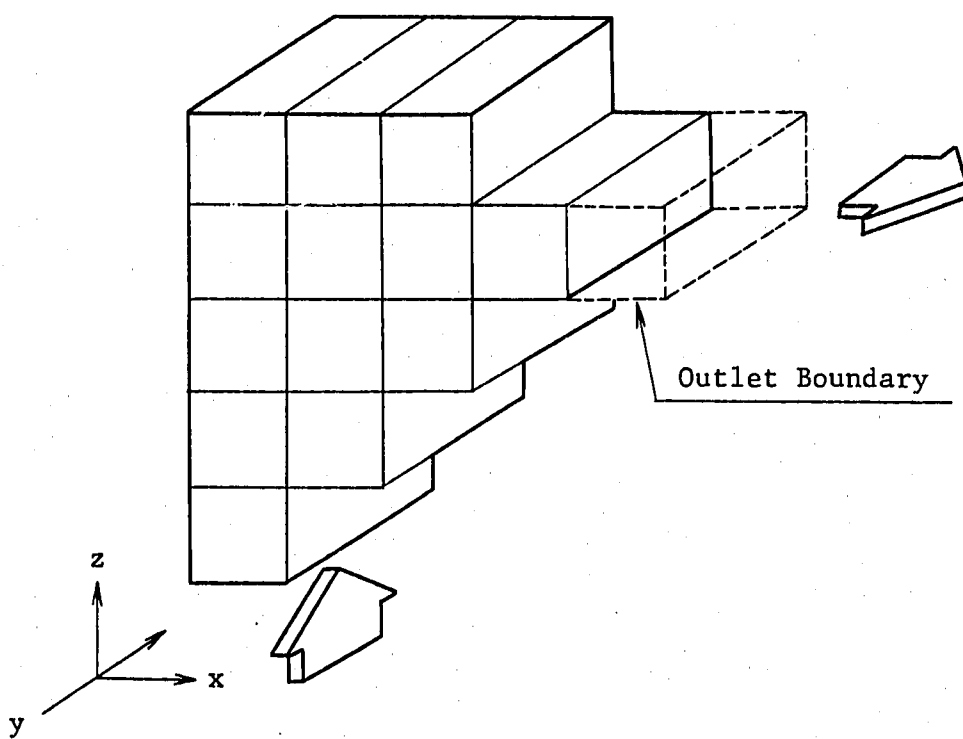
u : $(LL^T)^{-1} \cdot r_i$

V : 中間作業ベクトル

2.2 計算手法

2.2.1 係数行列の作成

係数行列の作成に当り、例題として以下の様な $5 \times 1 \times 5$ の体系を考える。



COMMI X-1A では、出口境界セルについては圧力方程式を解かないため、係数行列からもこれを削除して考える。したがって、取り扱うべき 1 次方程式数は、解析体系内セル総数から出口境界セル数を引いた値となり、上記体系では13個となる。

COMMI X-1A で取り扱う圧力方程式は、

$$A_0 P_0 = \sum_{\ell=1}^6 A_\ell P_\ell + B_0$$

で表わされ、右辺の第1項を左辺に移行して展開すると、

$$A_0 P_0 - A_1 P_1 - A_2 P_2 - A_3 P_3 - A_4 P_4 - A_5 P_5 - A_6 P_6 = B_0$$

となる。ここで、

A : 圧力方程式係数

P : 圧力

B : 圧力方程式定数

である。また、式中の添字の意味は、

0 : MO , 注目セル

1 : MIM, MOに接する-x 側セル

2 : MIP, " +x "

3 : MJM, " -y "

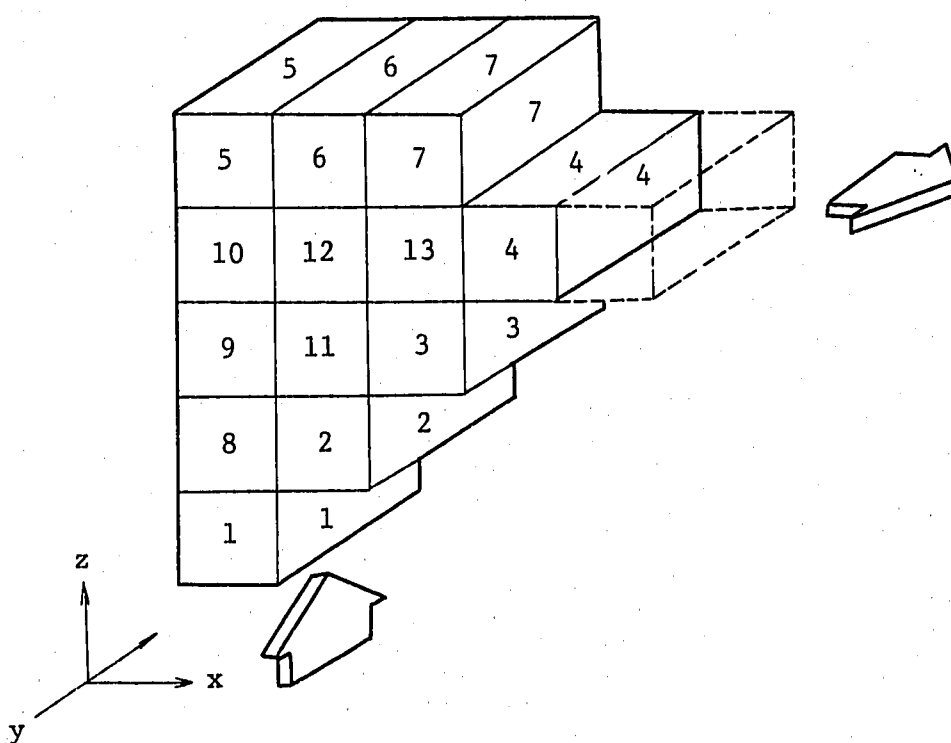
4 : MJP, " +y "

5 : MKM, " -z "

6 : MKP, " +z "

である。

COMMIX-1A に於けるセルの番号付けは、境界表面の規定順序に依存し、概して連続した番号付けとはならない。COMMIX-1A に従って番号付けを行なうと以下の様になる。



上記のセル番号順に係数行列を作成すると、

	1	2	3	4	5	6	7	8	9	10	11	12	13
1	MO							MKP					
2		MO	MO					MIM			MKP		
3			MO	MO							MIM		MKP
4				MO	MO						MKP		MIM
5					MO	MIP					MKM		
6						MIM	MO	MIP					MKM
7							MIM	MO					MKM
8	MKM	MIP						MO	MKP				
9								MKM	MO	MKP	MIM		
10					MKP				MKM	MO		MIP	
11	MKM	MIP							MIM		MO	MIP	
12						MKP				MIM	MKM	MO	MIP
13							MKM	MIP			MIM	MOM	

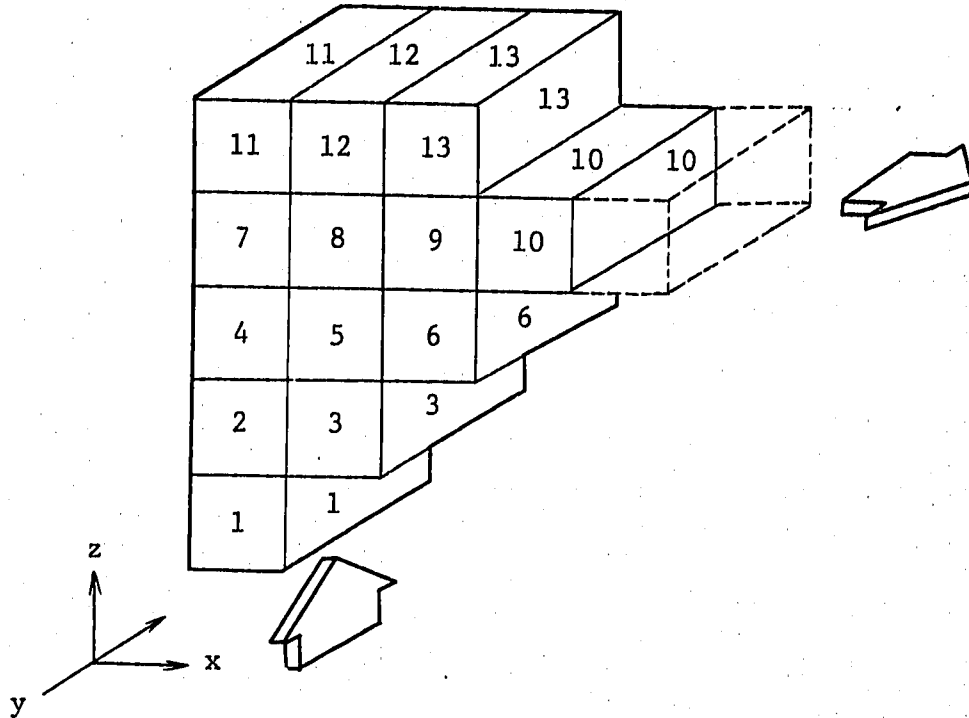
となる。ただし、空白位置には零が入る。したがって、解くべき連立1次方程式は、

$$\begin{array}{c|ccc|c|c}
 a_{10} & & -a_{16} & & P_1 & B_1 \\
 a_{20} & & -a_{21} & -a_{26} & P_2 & B_2 \\
 a_{30} & & & -a_{31} & -a_{36} & P_3 & B_3 \\
 a_{40} & & & & -a_{41} & P_4 & B_4 \\
 a_{50} - a_{52} & & -a_{55} & & P_5 & B_5 \\
 -a_{61} a_{60} - a_{62} & & & -a_{65} & P_6 & B_6 \\
 -a_{71} a_{70} & & & -a_{75} & P_7 & B_7 \\
 -a_{85} - a_{82} & & -a_{80} - a_{86} & & P_8 & B_8 \\
 & & -a_{95} a_{90} - a_{96} - a_{91} & & P_9 & B_9 \\
 -a_{106} & & -a_{105} a_{100} & -a_{102} & P_{10} & B_{10} \\
 -a_{115} - a_{112} & & -a_{111} & a_{110} - a_{112} & P_{11} & B_{11} \\
 & & -a_{126} & -a_{121} - a_{125} a_{120} - a_{122} & P_{12} & B_{12} \\
 -a_{135} - a_{132} & & -a_{136} & -a_{131} a_{130} & P_{13} & B_{13}
 \end{array}$$

である。ところで、CG法系の解法に於ては、係数行列のバンド幅が小さい方が解への誤差の混入が少なく収束に有利^{*}なため、ここでもセルの番号付けを変更することでバンド幅の最小化を試みる。

同様の体系で以下の番号付けを考える。

* 対角優位な係数行列が形成されるため。第3.2節参照



同様にセルの番号順に係数行列を作成すると、

	1	2	3	4	5	6	7	8	9	10	11	12	13
1	MO	MKP											
2	MKM	MO	MIP	MKP									
3		MIM	MO		MKP								
4	MKM		MO	MIP		MKP							
5	MKM	MIM	MO	MIP			MKP						
6			MIM	MO				MKP					
7	MKM			MO	MIP				MKP				
8	MKM		MIM	MO	MIP					MKP			
9		MKM		MIM	MO	MIP					MKP		
10				MIP	MO								
11	MKM				MO	MIP							
12	MKM			MIM	MO	MIP							
13		MKM			MIM	MO	MIP						

となり、半帯幅5の準バンド行列となる。しかし、上記行列要素の内、約2/3が零要素であり、解析体系が大型化した場合の計算機記憶域の労費も無視できない。そこで、各行に格納される要素数が3次元解析体系の場合、注目セルを含めて最大7個であることを利用し、以下の様な圧縮格納法を採用した。

	1	2	3	4	5	6	7	8	9	10	11	12	13	14
1	MO	MKP						1	2					
2	MKM	MO	MIP	MKP				1	2	3	4			
3	MIM	MO	MKP					2	3	5				
4	MKM	MO	MIP	MKP				2	4	5	7			
5	MKM	MIM	MO	MIP	MKP			3	4	5	6	8		
6	MIM	MO	MKP					5	6	9				
7	MKM	MO	MIP	MKP				4	7	8	11			
8	MKM	MIM	MO	MIP	MKP			5	7	8	9	12		
9	MKM	MIM	MO	MIP	MKP			6	8	9	10	13		
10	MIP	MO						9	10					
11	MKM	MO	MIP					7	11	12				
12	MKM	MIM	MO	MIP				8	11	12	13			
13	MKM	MIM	MO					9	12	13				

ここで、1列から7列までが係数値(Content), また8列から14列までが格納位置(Index)である。この圧縮格納法を用いることにより、 N^2 (解析セル数の2乗)の配列を $N \times 14$ に縮小する。この格納法の効果は、解析体系が大型化するに従い指数関数的に現われる。

一方、エネルギー方程式については、出口境界セルも合わせて解くため、取り扱うべき1次方程式数は上記体系で14個となる。方程式形は、

$$A_0 V_0 = \sum_{\ell=1}^6 A_\ell V_\ell + B_0$$

であり、係数行列の作成方法は圧力方程式の場合と同様である。ここで、

A : エネルギー方程式係数

V : エンタルピー

B : エネルギー方程式定数

である。

2.2.2 計算の流れ

Figure 2.4にCOMMIX-1A全体のフロー・チャートを示す。コード内の時間制御は、SUBROUTINE TIMSTPで行なわれ、このSUBROUTINEの下位モジュールとして運動量式計算部(SUBROUTINE MOLOOP), $k-\epsilon$ 乱流輸送式計算部(SUBROUTINE TKLOOP)およびSUBROUTINE TELOOP)およびエネルギー式計算部(SUBROUTINE ENLOOP)が接続されている。これらSUBROUTINEは、各時間ステップ毎に順次計算される。Figure 2.5にSUBROUTINE MOLOOPのフロー・チャートを示す。ここでは、運動量方程式の離散化式中の係数を計算(SUBROUTINE XMOMI, SUBROUTINE YMOMI およびSUBROUTINE ZMOMI)し、また圧力方程式中の係数を計算(SUBROUTINE PEQN)し、ここで得られる圧力方程式係数を用いて新圧力($n+1$ ステップの圧力)をSUBROUTINE SOLVITで反復法で求める。従来この反復はSOR法を使用しており、今回PCG法をオプションとして追加した。ここで新圧力が求まった後、SUBROUTINE MOMENIで新流速を先に計算した運動方程式係

数を用いて更新し、SUBROUTINE TIMSTP に戻る。Figure 2.6 に SUBROUTINE ENLOOP のフロー・チャートを示す。ここでは、エネルギー式中の係数を SUBROUTINE ENERGI で計算し、この係数を用い SUBROUTINE SOLVEN で SOR 法により新エンタルピーを求める。今回この SUBROUTINE SOLVEN 内にもオプションとして PCG. Solver を追加した。ここで新エンタルピーが求まった後、SUBROUTINE TIMSTP に戻る。 $k-\epsilon$ 乱流輸送計算においても SUBROUTINE SOLVEN が用いられ、エネルギー計算時と同様に PCG. Solver がオプション選択できる。フロー・チャート等は、文献 6) 参照のこと。

Figure 2.7 に SUBROUTINE SOLVIT および SUBROUTINE SOLVEN に組み込んだ PCG. Solver のフロー・チャートを示す。このサブルーチンでは、後述する入力データ IFPCG (SUBROUTINE SOLVIT) および IFPCG 2 (SUBROUTINE SOLVEN) により PCG 解法の内の各種オプションが選択される。このオプションのうち、1, -3, -5 は、第 2.1 節で説明した手法であり、それぞれ CG 法、スケーリング法、ICCG 法である。-1 のオプションは、各時間ステップ毎に作られる係数行列の全ての固有値をヤコビ法により求めるものである。ここで計算された固有値は収束の速さに関する目安となり、 $\lambda_{\max} / \lambda_{\min}$ で判定される。また、-2 のオプションは、繰り返し中に修正方向 $P^{k+1} (= r^{k+1} + \beta^k \cdot P^k, = (LL^T)^{-1} r^{k+1} + \beta^k P^k)$ 、および残差 r^k 中に累積される計算誤差（丸め誤差）を一掃し、残差多項式の重みを付け変える操作である。反復を続行した場合との違いは、

$$P^{k+1} = r^{k+1} + \beta^k P^k, = (LL^T)^{-1} r^{k+1} + \beta^k P^k$$

の替りに

$$P^{k+1} = r^{k+1}, = (LL^T)^{-1} r^{k+1}$$

とすることである。この操作の頻度は、N (方程式数) である。

2.2.3 Hybrid Scheme

この Hybrid Scheme とは、CG 系統解法と SOR 法との混在使用による解法の意味である。一般に激しい過渡領域において SOR 法により質量バランスを取るには相当の反復が必要であるが、CG 系統の解法では N 回以下で求めることができる。一方、過渡領域が終了し安定領域に入った場合には、SOR 法は数回の反復で解が求まる事が多く、CG 系統の解法ではやはり N 回以下の反復が必要である。したがって、過渡変化の激しい時期には CG 系統解法を、また定期的には SOR 法を使用するといった混在使用が考えられる。この手法の切り換え時期は、各時間ステップに於ける体系内最大流速に対する最大流速変動量 ($\Delta V_{\max} = V^{n+1} - V^n$)、すなわち $\Delta V_{\max} / V_{\max}$ を閾値とすることによりなされる。この閾値は入力データで定義される。

* 絶対値最大固有値／絶対値最小固有値：条件数 $\geq 10^4$ 以上では、収束が著しく悪くなる。

第3章 P.C.G.法に関する各種検討

3.1 数値実験用解析体系

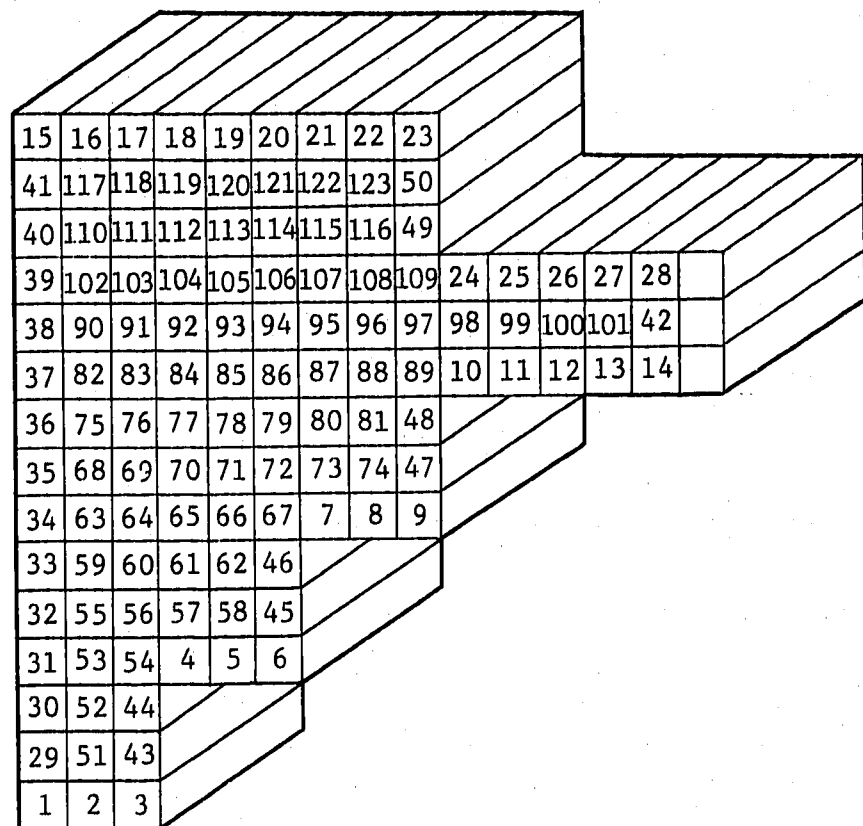
PCG法に関する検討に際し、Figure 3.1に示す2種類の基本問題体系を設定した。これらの体系の基本形状データを以下に示す。

Items	Problem 1	Problem 2
Geometry	Box	←
No. of Computational Cells	126	1400
No. of Cells in X-Direction	15	50
in Y-Direction	1	1
in Z-Direction	15	50
Calculational Cell Size along X-Axis	0.03333	0.03333
along Y-Axis	0.1	0.1
along Z-Axis	0.03333	0.03333
Inlet Velocity	1.0 m/s	←
Inlet Temperature	20.0 °C	←
Boundary Condition	Free Slip with Adiabatic	

各問題において取り扱う圧力方程式数は、第2.2.1項で述べたように、それぞれ123個、1390個である。

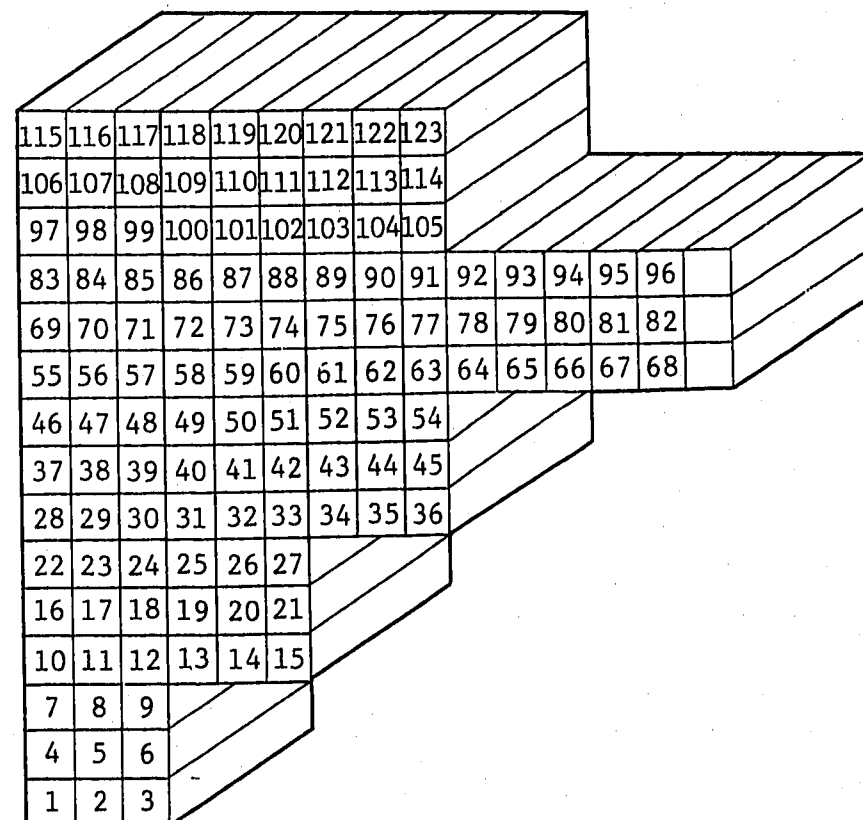
3.2 係数行列の作成とその効果

126セル問題について、オリジナル・プログラムに従ってセルの番号付けを行なうと、以下の様になる。



この番号付けは、Figure 3.1 に示した境界表面規定順序に従って行なわれ、これにより作成される係数行列の半帯幅は 102^{*}となる。

一方、バンド幅を小さくすることを目的として番号付けを行なうと、



- * 123番セルを隣接セル情報で表わす場合、22番、50番、116番、122番のセル情報が必要である。したがって、半帶幅は $(123 - 22) + 1$ となる。

となり、係数行列の半帶幅は 15 となる。

このバンド幅の最小化による反復回数の改善の比較を CG 法、スケーリング法および ICCG 法について Figure 3.2～Figure 3.4 に示す。各図中に於ける反復回数 123 回の直線は方程式数であり、第 2.1.1 項で述べた収束に対する理論的反復回数値である。結果より明らかなように、バンド幅が小さい係数行列を用いた場合の各時間ステップに於ける反復回数は、それを用いない場合の反復回数よりも少ない。この傾向は各反復手法について一様に見られ、反復回数の減少率は平均約 25% である。

1400 セル問題についても同様な処理により半帶幅を計算すると、オリジナル・プログラムでは 1313、バンド幅最小化処理では 50 となる。このバンド幅最小化による反復回数の改善の比較を CG 法、スケーリング法および ICCG 法について Figure 3.5～Figure 3.7 に示す。1400 セル問題に於ても 126 セル問題と同様に、バンド幅を小さくした係数行列を用いた場合の方が用いない場合に比べ、各時間ステップでの反復回数は少ない。この反復回数の減少率は、平均約 52% である。

上記 2 種類の問題に於て、反復回数の減少率が違う理由は、次節で述べる係数行列の条件数の違いによるものである。いづれにしろ、係数行列のバンド幅最小化効果は反復回数の減少に明確に現われている。

3.3 PCG 法オプションによる条件数の改善

第 2.2.2 項でも触れたように、係数行列が持つ固有値のうち、絶対値最大の固有値と絶対値最小の固有値の比 ($\lambda_{\max} / \lambda_{\min}$) で定義される値（条件数）は、収束の速さに関する目安となる。これは、CG 法に関する重要な性質の 1 つから導びかれる。この性質とは、

「係数行列 A の相異なる固有値が $m (< n)$ 個ならば、CG 法は m 回の反復で正解に到達する。」（証明は文献 4 を参照）

である。すなわち、修正方向 (P) を探索する際、固有ベクトルに沿って決定してゆくため、この固有値のばらつきが小さいほど計算誤差（丸め誤差）の影響を受けず速く収束する。一般に計算誤差の影響を受け易い問題は、悪条件 (ill-Conditioned) であると言い、この閾値は文献 2) によると 10^4 程度である。

今回追加した PCG 法オプションのうち、スケーリング法、ICCG 法の Preconditioning 機能は、固有値のばらつきを小さくする働きをする。

Figure 3.8 および Figure 3.9 に各 Preconditioning の効果を 126 セル問題および 1400 セル問題についてそれぞれ示す。結果より判かる通り、いづれの問題についても、CG 法の条件数を基準とした場合 ICCG 法による Preconditioning が最も効果がある。この Preconditioning による反復回数への効果は、Figure 3.2～Figure 3.7 に明確に現われている。

3.4 SOR 法との比較

SOR 法との比較計算として、以下に示す 6 ケースを選定した。

- | | |
|-------------|--------------------------|
| 1) SOR 法(1) | (IT = 1, ITMAXP = 99) |
| 2) SOR 法(2) | (IT = 10, ITMAXP = 99) |
| 3) SOR 法(3) | (IT = 1, ITMAXP = 10000) |
| 4) CG 法 | (ITMCG = 150, 1500) |
| 5) スケーリング法 | (ITMCG = 150, 1500) |
| 6) ICCG 法 | (ITMCG = 150, 1500) |

1), 2), 3) の SOR 法の 3 ケースは、反復制御パラメータを変えたものである。1) の SOR 法のケースは、解析問題を定常計算問題としてとらえ、定常解を得ることを目的としたものである。この場合には、Figure 2.4 に示した運動量計算部、乱流輸送量計算部およびエネルギー計算部を含む繰り返しループ (ITERMX) を 1 に設定し、かつ Figure 2.5 に示した圧力方程式の最大反復回数をデフォルト値の 99 回に設定する。すなわち、計算を開始してから定常状態に到達するまでの過程に於ては、質量バランスの厳密さは追求しないで時間ステップを進め、最終的な定常解で質量バランスが取れれば良いという考え方で立った計算である。2) の SOR 法のケースは、定常解析問題を過渡計算問題の収束解としてとらえ、計算開始から指定時間到達までの過程に注目したものである。この場合には、各時間ステップで厳密に質量バランスを取りながら時間ステップを進めてゆく必要があるため、Figure 2.4 内の運動量計算部、乱流輸送量計算部およびエネルギー計算部を含む繰り返しループを 10 に設定する。3) の SOR 法のケースは、連立 1 次方程式を解く能力を CG 系統解法の能力と比較するためのものである。すなわち、圧力方程式の係数 ($A_0, A_1 \sim A_6, B_0$) により形成される連立 1 次方程式に於てどの程度の反復で解が得られるかを比べるための計算である。このため、圧力方程式を解くための SOR ループをデフォルト値の 99 回から 10000 回に変更した。4), 5), 6) の CG 系統解法での最大反復回数は、126 セル問題の場合に 150 回、1400 セル問題の場合に 1500 回に設定した。

Figure 3.10 に 126 セル問題について定常状態到達までの各種解法の CPU 時間 (FACOM VP-100) の比較を、また以下に各解法が定常状態到達までに費した CPU 時間を示す。

- | | |
|-------------|-----------|
| 1) SOR 法(1) | 12.2 sec. |
| 2) SOR 法(2) | 25.9 sec. |
| 3) SOR 法(3) | 36.3 sec. |
| 4) CG 法 | 58.6 sec. |
| 5) スケーリング法 | 16.0 sec. |
| 6) ICCG 法 | 16.9 sec. |

各解法のうち、最も少ない CPU 時間で定常状態に到達するのは、SOR 法(1)である。これは、各時間ステップで厳密に質量バランスを取らないことによる。したがって、解析問題を定常計算問題としてとらえ、単に定常解を求めるだけであれば SOR 法のこの使い方が CG 系統解法よりも有利である。一方、定常解析問題を過渡計算問題の収束解としてとらえた SOR 法(2)では、SOR 法(1)の約 2 倍の CPU 時間が使用され、かつスケーリング法および ICCG 法の約 1.6 倍となっている。このことから、解析問題が過渡計算問題の場合にはスケーリング法または ICCG 法の CG 系統解法が有利である。また、SOR 法(3)の連立 1 次方程式を解く能力の比較では、CG 法よりは速いがスケーリング法および ICCG 法よりは遅く約 2.2 倍の CPU 時間が必要となっ

ている。CG 系統解法同志での比較については、Figure 3.2～Figure 3.4 に見られる様に各時間ステップでの反復回数は CG 法、スケーリング法、I.CCG 法の順に減少しているが CPU 時間での比較ではこの順番となっていない。すなわち、I.CCG 法の平均反復回数はスケーリング法の約 3 割であるが CPU 時間はほぼ同程度の値となっている。この原因は、1 時間ステップを計算する CPU 時間のうち、約 7 割が不完全コレスキー分解処理に費やされているためであり、これにより反復回数の有利さは相殺されている。この不完全コレスキー分解処理では、圧縮格納された係数行列中から処理に必要な要素を探し出すインデックス操作が頻繁に行なわれ、この処理に大部分の CPU 時間が用いられている。したがって、この処理部の効率化を計ることによって CPU 時間の大幅な短縮が期待できる。以下に 1 時間ステップに於ける S. SOLVIT 内各処理の平均 CPU 時間負荷率を示す。

	CG 法	スケーリング法	I.C.C.G 法
スケーリング処理	—	12 %	—
不完全コレスキー分解処理	—	—	68 %
反復処理	100 %	88 %	32 %
CPU 時間合計(sec.)	0.301	0.278	0.294
反復 1 回当たりの CPU 時間(msec.)	3.24	4.29	4.95

この結果より、I.CCG 法における不完全コレスキー分解処理の効率化が I.CCG 法全体の CPU 時間低減に大きく寄与するであろうことが明らかに言える。

Figure 3.11 および Figure 3.12 に時間ステップ 1 での質量バランスの収束過程と時間ステップ 28 での同様の結果をそれぞれ示す。時間ステップ 1 に於ては、SOR 法により質量バランスを取るために相当な時間を要し、CG 系統解法の約 22 倍の時間を必要としている。一方、時間ステップ 28 (Figure 3.10 の $\Delta V_{\max} / V_{\max} = 10^{-2}$ 付近) に於ては、CG 系統解法の約半分の時間で質量バランスが取られている。これは、第 2.2.3 項で述べた通り、激しい過渡状態（流動不安定状態）では CG 系統解法が有利であり、緩やかな過渡状態（流動安定状態）では SOR 法が有利であることを裏づけている。

Figure 3.13 に 1400 セル問題について定常状態到達までの各解法の CPU 時間 (FACOM VP-100) の比較を、また以下に各解法が定常状態到達までに費した CPU 時間を示す。

- | | |
|------------|-------------|
| 1) SOR (1) | 4693.2 sec. |
| 2) SOR (2) | 5997.6 sec. |
| 3) SOR (3) | 7662.4 sec. |
| 4) CG 法 | 7814.2 sec. |
| 5) スケーリング法 | 7504.4 sec. |
| 6) I.CCG 法 | 7062.8 sec. |

1400 セル問題についても、最も少ない CPU 時間で定常状態に到達するのは SOR 法 (1) である。また、過渡計算問題として取り扱った SOR 法(2)の CPU 時間は、CG 系統解法のいづれよりも速い。これは、126 セル問題の場合と逆であり、計算セル数 (係数行列次数) が増大したために 1 時間ステップの CPU 時間が増大したことによる。以下に 1 時間ステップに於ける

S. SOLVIT 内容処理の平均 CPU 時間負荷率を示す。

	CG 法	スケーリング法	ICCG 法
スケーリング処理	—	17 %	—
不完全コレスキード分解処理	—	—	72 %
反復処理	100 %	83 %	28 %
CPU 時間合計 (sec)	12.63	13.02	14.12
反復 1 回当たりの CPU 時間 (msec)	67.18	66.77	81.21

Figure 3.14 および Figure 3.15 に時間ステップ 1 での質量バランスの収束過程と時間ステップ 600 (Figure 3.13 の $\Delta V_{max} / V_{max} = 10^{-2}$ 付近) での同様の結果をそれぞれ示す。これら両者の傾向は 126 セル問題と同様であり、過渡変化の度合いによる各解法のメリットが現われている。

3.5 Hybrid Scheme の効果

第 3.4 節に於いて、過渡変化の度合いによる各解法のメリットを述べた。すなわち、激しい過渡変化時には CG 系統解法を、また緩やかな過渡変化時に SOR 法を適用することにより最短経路を辿って定常状態に到達するものと思われる。この Hybrid Scheme による実行は、以下の 2 種類について行なった。

- | | |
|---------------|----------------------|
| 1) Hybrid (1) | Scaling 法 + SOR 法(2) |
| 2) Hybrid (2) | ICCG 法 + SOR 法(2) |

解法の切り替えは入力データ DHYBR で行ない、その値はそれぞれ 10^{-1} , 10^{-2} とした。126 セル問題について定常状態到達までの CPU 時間 (FACOM VP-100) の比較を Figure 3.16 に、また以下に各解法が定常状態到達までに費した CPU 時間を示す。

- | | |
|---------------|-----------|
| 1) Hybrid (1) | 16.2 sec. |
| 2) Hybrid (2) | 16.9 sec. |

両 Hybrid Scheme とも前節で示した SOR 法(2) の CPU 時間の約 6 割で定常状態に到達している。しかし、スケーリング法のみおよび ICCG 法のみにより計算したケースの CPU 時間とは有意な差は見られない。

Figure 3.17 に 1400 セル問題について定常状態到達までの CPU 時間の比較を、また以下に各解法が定常状態到達までに費した CPU 時間を示す。

- | | |
|---------------|-------------|
| 1) Hybrid (1) | 4832.6 sec. |
| 2) Hybrid (2) | 4264.4 sec. |

この問題に対しては、SOR 法(2) の CPU 時間の約 7 割で定常状態に到達している。また、スケーリング法のみおよび ICCG 法のみにより計算したケースに比べても速い。この問題に於ては Hybrid Scheme の効果が顕著に現われている。

3.6 PCG 解法の選定の目安

過渡変化の度合いにより各解法を選定する目安を得るため、126セル問題体系を用い流速変化率を変えて計算を行なった。計算に用いる過渡現象はFigure 3.18に示す5種類とし、初期状態の1 m/sから絶々に流速を減少させる。Figure 3.19に計算結果を示す。図中の横軸は単位時間ステップに於ける流速変動率であり、縦軸はCPU時間の比(t_{ICCG}/t_{SOR})である。この結果より、単位時間ステップでの流速変動率が大きくなるに従い ICCG法がSOR法よりも優勢になるのが判かる。Figure 3.20に係数行列条件数の Δt 依存性を示す。この結果では、 Δt をしだいに大きくするに従い条件数も大きくなつてゆく傾向が判かる。したがって、単純に流速変動率を大きく設定(すなわち Δt を大きく設定)しても、必ずしも ICCG法がSOR法よりも優勢となる保証はなく、普遍定量的な解法選定の目安は得ることはできない。

3.7 ベクトル化の検討

第2.1.1項で述べたように、CGアルゴリズムは計算過程に於て行列とベクトルの乗算及びベクトルの内積・加算のみであり、ベクトル計算機向きである。そこで、FACOM VP-100システムを用いてベクトル演算^{*}を行ない、CPU時間をスカラー演算のそれと比較を行なった。

Figure 3.21に126セル問題について定常状態到達までの各解法のCPU時間の比較を、また以下に各解法が定常状態到達までに費やしたCPU時間をスカラー演算の場合の値と共に併記した。

	ベクトル演算	スカラー演算
1) CG法	27.6 sec.	58.6 sec.
2) ICCG法	9.1 sec.	16.9 sec.

結果から、ベクトル演算により定常状態到達までのCPU時間がスカラー演算の2.1倍、1.9倍に加速されているのが判かる。

1400セル問題についての結果をFigure 3.22に、また定常状態到達までのCPU時間をスカラー演算のそれと共に以下に示す。

	ベクトル演算	スカラー演算
1) CG法	4842.6 sec.	7814.2 sec.
2) ICCG法	4211.1 sec.	7062.8 sec.

この結果では、ベクトル化によりそれぞれ1.6倍、1.7倍に加速している。

ただし、今回は単純にオリジナル・プログラムをベクトル化したのみで何の最適化チューリングも行なっていない。したがって、最適化を行なえばより高速化される可能性がある。

3.8 タンク型炉上部プール解析⁷⁾

標記実験は、日本に於ける大型タンク型LMFBRのFeasibility Study作業の一環として電力中央研究所(CRIEPI)が実施した水実験である。この実験の目的は、炉上部機構および中間熱交換器の上下位置が炉上部プール内での流動状況、自由液面変動およびサーマル・ストラテ

* SOR繰り返しループ内にはベクトル化対象部分が存在しないため、スカラー演算とした。

イフィケーション現象に及ぼす影響を明らかにすることにある。試験装置は Figure 3.23 に示す通りであり、タンク型 LMFR の炉上部を模擬している。燃料集合体を模擬した炉上部機構下部からの水は、炉上部プールを経て内筒中央部のフロー・スリットを通り、アニュラス部下端の出口ノズルより流出する。

試験条件を以下に示す。

<定常試験 ($Re = 9.6 \times 10^4$)>

流量 16 l/s

水温 8°C

<過渡試験 ($Ri = 2.36$)>

流量 $(16 \text{ l/s} \rightarrow 3.84 \text{ l/s}) / 10 \text{ sec.}$

温度 $(62^\circ\text{C} \rightarrow 9.6^\circ\text{C}) / 30 \text{ sec.}$

過渡試験は、原子炉スクラム後の炉上部プール内ストラティフィケーション現象を模擬するもので、 Ri 数を Super Phoenix の事象に合わせている。

解析のためのメッシュ図を Figure 3.24 に示す。境界条件は、流体について Free Slip、温度については断熱とした。また、乱流モデルは使用していない。Figure 3.25 および Figure 3.26 に入力データを示す。Figure 3.27 は、体系入口における流速と温度の過渡関数グラフである。

Figure 3.28 にシミュレーション時間30秒までに使用した CPU 時間の積算を示す。このケースは、スカラー演算であり、CG 系統解法は SOR 法よりも多くの時間を費している。Figure 3.29 は、ベクトル演算結果であり、これにより CG 系統解法は SOR 法よりも若干速くなっている。このベクトル化演算により、ICCG 法はスカラー演算に対し約 7 % 加速した。

3.9 高速実験炉「常陽」MK-I 自然循環解析

高速実験炉「常陽」の MK-I 炉心に於て実施された自然循環試験⁸⁾のうち、Case-E を対象とした 2 次元解析問題に CG 系統解法を適用した。

解析体系のセル分割は Figure 3.30 に示す通りであり、解析条件等は全て文献 8) のものを使用した。Figure 3.31 に定常状態到達までの CPU 時間の推移を各解法について示す。また以下に、各解法が定常状態到達までに費した CPU 時間を示す。

SOR 法	1121.3 sec.
CG 法	定常解に未到達
スケーリング法	1481.4 sec.
ICCG 法	1540.8 sec.

ここで、SOR 法の実行に於ては、定常解を求める場合に通常用いられる反復制御データ ($IT = 1, ITMAXP = 99$) を使用し、かつ付録 E に示す改良プログラムを使用した。

各種解法のうち、最も少ない CPU 時間で定常状態に到達するものは SOR 法であり、ICCG

* 試験開始前の 75 MW 定常状態を求める Steady-State Run

法の約 73%である。この結果からも、第 3.4 節で述べたように定常問題に対しては SOR 法が有利であるということが言える。

3.10 今後の課題

以上に述べてきた PCG 法に関する各種検討によって、PCG 法の特性および今後改良していくべき問題点が明らかとなった。得られた PCG 法の特性は、

- 1) 解くべき連立 1 次方程式の係数行列を最小化して解くことにより反復回数が減少する（第 3.2 節）。
- 2) スケーリングおよび不完全コレスキー分解による Preconditioning の効果は大きく、反復回数を著しく減少させる（第 3.3 節）。
- 3) 過渡変化の激しい非定常問題では PCG 法が SOR 法よりも CPU 時間の面で有効であるが、過渡変化の緩やかな問題に対しては PCG 法は不利となる（第 3.4 節）。
- 4) 各時間ステップでの反復回数は ICCG 法の方がスケーリング法よりも常時少ないが、CPU 時間での比較では ICCG 法の有意性は一概には言えない（第 3.4 節）。
- 5) (スケーリング法 + SOR 法) あるいは (ICCG 法 + SOR 法) のような異種解法の混在使用は非定常計算に有効であり、それぞれの解法を単独に使用した場合よりも一概に計算時間は少ない（第 3.5 節）。
- 6) 係数行列の条件数は時間ステップ幅に依存し、3) の結果に基づいて時間ステップ幅を大きく設定しても必ずしも ICCG 法が SOR 法よりも有利となる保証はない（第 3.6 節）
- 7) PCG 法がベクトル計算機向きであることが確かめられ、スカラー演算よりも有効であることが確認された（第 3.7 節）。

である。

一方、改良あるいは明確にすべき点としては、

- 1) ICCG 法における不完全コレスキー分解処理の効率化
- 2) PCG 解法選定に関する普遍定量的目安の明確化
- 3) ベクトル最適化チューニングの実施

があげられる。

1) は第 3.4 節で述べられたものであり、この効率化は直接 ICCG 法全体の効率化に反映される。例えば対角要素抽出のためのインデックス操作を簡略化するために、あらかじめ係数行列内に対角要素格納用アドレスを設けるといった方法が考えられる。

2) は任意の解析問題が与えられた場合に、どの解法を選択すべきかを判断する材料を得ることである。この問題に対しては解析ケースの積み重ねが重要であり、その中から一般性を引き出してゆく作業が必要である。

3) はプログラムをベクトル化し易い様に変更するものであり、例えば DO ループ内の IF 文の低減、配列要素の入れ替え等が考えられる。

今後、上記改良に取りくむと共に解析ケースを増し、PCG 解法の限界等を明確にしてゆく予定である。

第4章 結 言

単相3次元汎用熱流動解析コード "COMMIX-1A" に PCG 法 (Preconditioned Conjugate Gradient Method) をオプションとして追加し、オリジナルの PSOR 法 (Point Successive Overrelaxation Method) との比較・検討を行なった。得られた PCG 法の特性を以下に示す。

- 1) 解くべき連立1次方程式の係数行列をバンド最小化することにより、反復回数が減少する。
- 2) スケーリングおよび不完全コレスキー分解による Preconditioning の効果は大きく、反復回数を著しく減少させる。
- 3) 過渡変化の激しい非定常問題では PCG 法が SOR 法よりも CPU 時間の面で有効であるが、過渡変化が緩やかな問題に対しては PCG 法は不利となる。
- 4) PCG 法がベクトル計算機向きであることが確かめられ、またスカラー演算よりも有効であることが確認された。

今後、各計算部のプログラミング最適化を実施し、PCG 法の限界を明確化する必要がある。

参考文献

- 1) H.M. Domanus, "COMMIX-1A: A Three-Dimensional Transient Single-Phase Computer Program for Thermal Hydraulic Analysis of Single and Multi-component Systems", ANL Draft Report Sep., 1982
- 2) 一松 信, "共役勾配法", 教育出版, 1984
- 3) 戸川隼人, "マトリクスの数値計算", オーム社, 1979
- 4) 野寺 隆, "大型疎行列に対する PCG 法", Seminar on Mathematical Science No.7, 慶應大学, 1983
- 5) David S. Kershaw, "The Incomplete Choleski-Conjugate Gradient Method for the Iterative Solution of Systems of Linear Equations", J. of Comp. Physics 26, 1978
- 6) 村松 他, "多次元伝熱流動解析コードの整備改良(Ⅱ), タスク1: COMMIX-1A への $k-\epsilon$ 2方程式乱流モデルの追加", PNC 資料 SN941 85-14, 1985
- 7) I. Maekawa, "Study on In-Vessel Thermal Hydraulics in Pool-Type LMFBRs, Phase 1 : Water Tests Analysis", PNC N941 84-84, 1984
- 8) M. Takahashi, "JOYO Mark-I Natural Circulation Analysis with COMMIX-1A", PNC SN941 84-99, 1984

付録A 追加入力データ

今回の PCG 解法オプション追加により、新たに追加された入力データを以下に示す。

Namelist / GEOM /

I FPCG 圧力方程式解法オプション・フラグ (0)

0 : SOR 法

1 : CG 法

2 : CG 法 + デバッグ

-1 : CG 法 + 固有値計算

-2 : CG 法 + リスタート・オプション

-3 : スケーリング法

-5 : ICCG(0) 法

-11 : Hybrid (1) ICCG → SOR

-12 : Hybrid (2) スケーリング法 → SOR

-13 : Hybrid (3) CG → SOR

I FPCG 2 エネルギー方程式解法オプション・フラグ(0)

I FPCG と同様 (但し、-3, -5, -11, -12 のオプションは除く)

Namelist / DATA /

I TMCG CG 系統解法使用時の最大反復回数 (N)

DHYBR Hybrid Scheme 使用時の切換値 $\left(\frac{\Delta V_{\max}}{V_{\max}} = 0.1\right)$

* 係数行列次数

注) カッコ内はデフォルト値である。

付録B 圧力方程式の離散化

1) 基礎式

$$r_V \frac{\partial \rho}{\partial t} + \frac{\partial r_{Ax} \rho u}{\partial x} + \frac{\partial r_{Ay} \rho v}{\partial y} + \frac{\partial r_{Az} \rho w}{\partial z} = D$$

ここで、

r_V : Volume Porosity

r_{Ax}, r_{Ay}, r_{Az} : Surface Permeability

ρ : 密度

u, v, w : 流速

t : 時間

x, y, z : 座標

D : Mass Residual

2) 離散化

$$\begin{aligned} & \Delta x \Delta y \Delta z r_{V0} \left(\frac{\partial \rho}{\partial t} \right)_0 \\ & + (\Delta y \Delta z r_{Ax} u \rho)_2 - (\Delta y \Delta z r_{Ax} u \rho)_1 \\ & + (\Delta x \Delta z r_{Ay} v \rho)_4 - (\Delta x \Delta z r_{Ay} v \rho)_3 \\ & + (\Delta x \Delta y r_{Az} w \rho)_6 - (\Delta x \Delta y r_{Az} w \rho)_5 = \Delta x \Delta y \Delta z \cdot D \end{aligned}$$

ここで、 ρ はUpwind Schemeを使用している。また、文献1)でのMomentumの式は、

$$u_1 = u_0 - d_1 (P_0 - P_1)$$

$$u_2 = u_1 - d_2 (P_2 - P_0)$$

$$v_3 = v_0 - d_3 (P_0 - P_3)$$

$$v_4 = v_3 - d_4 (P_4 - P_0)$$

$$w_5 = w_0 - d_5 (P_0 - P_5)$$

$$w_6 = w_5 - d_6 (P_6 - P_0)$$

で表わされており、これらの式を先の離散化式中に代入すると、

$$\begin{aligned}
& V_0 r_{VO} \left(\frac{\partial \rho}{\partial t} \right)_0 + A_2 \langle \rho \rangle_2 \{ u_2 - d_2 (P_2 - P_0) \} \\
& - A_1 \langle \rho \rangle_1 \{ u_1 - d_1 (P_0 - P_1) \} \\
& + A_4 \langle \rho \rangle_4 \{ v_4 - d_4 (P_4 - P_0) \} \\
& - A_3 \langle \rho \rangle_3 \{ v_3 - d_3 (P_0 - P_3) \} \\
& + A_6 \langle \rho \rangle_6 \{ w_6 - d_6 (P_6 - P_0) \} \\
& - A_5 \langle \rho \rangle_5 \{ w_5 - d_5 (P_0 - P_5) \}
\end{aligned}$$

整理すると

$$\begin{aligned}
& \{ A_1 \langle \rho \rangle_1 d_1 + A_2 \langle \rho \rangle_2 d_2 + A_3 \langle \rho \rangle_3 d_3 + A_4 \langle \rho \rangle_4 d_4 + A_5 \langle \rho \rangle_5 d_5 + A_6 \\
& \langle \rho \rangle_6 d_6 \} P_0 \\
& = A_1 \langle \rho \rangle_1 d_1 P_1 + A_2 \langle \rho \rangle_2 d_2 P_2 + A_3 \langle \rho \rangle_3 d_3 P_3 \\
& + A_4 \langle \rho \rangle_4 d_4 P_4 + A_5 \langle \rho \rangle_5 d_5 P_5 + A_6 \langle \rho \rangle_6 d_6 P_6 \\
& + A_1 \langle \rho \rangle_1 u_1 - A_2 \langle \rho \rangle_2 u_2 + A_3 \langle \rho \rangle_3 v_3 \\
& - A_4 \langle \rho \rangle_4 v_4 + A_5 \langle \rho \rangle_5 w_5 - A_6 \langle \rho \rangle_6 w_6 - V_0 r_{VO} \left(\frac{\partial \rho}{\partial t} \right)_0 + V_0 D
\end{aligned}$$

まとめると、

$$\begin{aligned}
& \sum_{\ell=1}^6 A_\ell \langle \rho \rangle_\ell d_\ell P_0 \\
& = \sum_{\ell=1}^6 A_\ell \langle \rho \rangle_\ell d_\ell P_\ell + \sum_{\ell=1}^6 (-1)^{\ell+1} A_\ell \langle \rho \rangle_\ell u_\ell - V_0 r_{VO} \left(\frac{\partial \rho}{\partial t} \right)_0 + V_0 D
\end{aligned}$$

ここで

$$\begin{aligned}
a_\ell^P &= A_\ell \langle \rho \rangle_\ell d_\ell \\
a_0^P &= \sum_{\ell=1}^6 a_\ell^P \\
b_0^P &= \sum_{\ell=1}^6 (-1)^{\ell+1} A_\ell \langle \rho \rangle_\ell u_\ell - V_0 r_{VO} \left(\frac{\partial \rho}{\partial t} \right)_0 \\
\delta &= V_0 D
\end{aligned}$$

と置くと、

$$a_0^P P_0 = \sum_{\ell=1}^6 a_\ell^P P_\ell + b_0^P$$

となる。この式中の a_0^P , a_ℓ^P , b_0^P が SUBROUTINE PEQN で計算され、係数行列要素となる。

付録C エネルギー方程式の離散化

1) 基礎式

$$\begin{aligned}
 & r_v \rho \frac{\partial h}{\partial t} + r_v h \left[\frac{\partial \rho}{\partial t} - \frac{D}{r_v} \right] + r_j \frac{\partial}{\partial x_j} (\rho u_j h) \\
 & = r_v \frac{d P}{d t} + r_j \frac{\partial}{\partial x_j} (\lambda \frac{\partial T}{\partial x_j}) + r_v Q \\
 & + (r_j \frac{\partial}{\partial x_j} (\tau_{ji} u_j) + r_v \rho g_j u_j + R_j u_j)
 \end{aligned}$$

ここで

 h : エンタルピー r_j : Surface Permeability λ : 热伝導度 T : 温度 Q : 発熱量 τ : Stress Tensor g : 加速度 R : Distributed Resistance

2) 離散化

$$\begin{aligned}
 & \left[\left\{ \frac{\rho}{\Delta t} + \left(\frac{\partial \rho}{\partial t} \right) \right\} V_0 r_{v0} + a_0^T \right] h_0 \\
 & = a_1^T h_1 + a_2^T h_2 + a_3^T h_3 + a_4^T h_4 + a_5^T h_5 + a_6^T h_6 \\
 & + V_0 r_v \frac{d P}{d t} + V_0 r_v Q + V_0 r_{v0} - \frac{\rho}{\Delta t} h_0^n
 \end{aligned}$$

ここで,

$$a_\ell^T = (-1)^{\ell+1} F_\ell, \quad 0 + D_\ell$$

$$a_0^T = \sum_{\ell=1}^6 a_\ell^T$$

$$F_\ell = \Delta x_i \Delta x_j r_j \langle \rho \rangle_\ell u_\ell$$

$$D_\ell = \Delta x_i \Delta x_j \left(\frac{\Delta x/2}{\lambda_0} + \frac{\Delta x_\ell/2}{\lambda_\ell} \right)$$

である。SUBROUTINE ENERGIでは、 $\left[\left\{ \frac{\rho}{\Delta t} + \left(\frac{\partial \rho}{\partial t} \right) \right\} V_0 r_{v0} + a_0^T \right]$, a_ℓ^T および

$V_0 r_V \frac{dP}{dt} + V_0 r_V Q + V_0 r_{V0} \frac{\rho}{dt} h_0^n$ をそれぞれ A_0 , A_L , B_0 の形で出力し, SUBROUTINE SOLVEN で作られる係数行列の要素となる。

付録D P.C.G.計算パッケージ

今回追加したPCG計算ルーチンのうち、計算部を抜き出し一般に使用できるように汎用化した。このソース・リストをFigure D.1に示す。この計算パッケージはサブルーチン化されており、その引数は

```

SUBROUTINE PCGPACK (
    IFPCG, ITMCG, DCONV2, IMAT2
    AA, BB, AAT, BBT, P, BTO, N)

```

である。各引数の意味は、本文およびプログラム中のコメント文を参照されたい。

例題として、以下の連立1次方程式を考える。

$$\left\{ \begin{array}{l} 3x_1 + 5x_2 + 2x_3 = 7 \\ 3x_2 + x_3 = 4 \\ x_1 + 8x_3 = 2 \end{array} \right.$$

この連立1次方程式により作られる圧縮係数行列は、

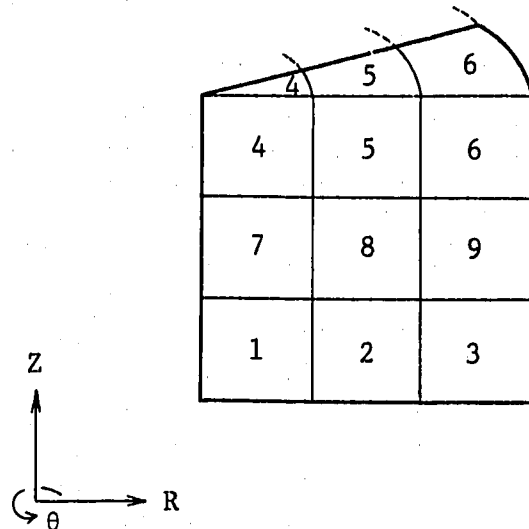
$$\left[\begin{array}{ccc|ccccc} 3, 5, 2, 0, 0, 0, 0 & | & 1, 2, 3, 0, 0, 0, 0 \\ 3, 1, 0, 0, 0, 0, 0 & | & 2, 3, 0, 0, 0, 0, 0 \\ 1, 8, 0, 0, 0, 0, 0 & | & 1, 3, 0, 0, 0, 0, 0 \end{array} \right]$$

となる。現バージョンでは1方程式中の未知数は7個までしか扱えないがDimensionを変更することにより拡張が可能である。

付録E サブルーチン負荷率

高速実験炉「常陽」自然循環解析問題について、サブルーチン負荷率の記述を始める前にプログラム改良の説明を行なう。

COMMIX-1AによるR-Z 2次元体系解析では、2次元体系でありながら θ 方向流速が存在してしまう。これは、



の様な解析体系 ($\theta = 2\pi$) を考えた場合、各セルの隣接セル情報が、

$< MO = 1 >$	$< MO = 2 >$	$< MO = 3 >$
MIM = -7	= 1	= 2
MIP = 2	= 3	= -10
MJM = 1	= 2	= 3
MJP = 1	= 2	= 3
MKM = -1	= -2	= -3
MKP = 7	= 9	= 8

注) 負の値は体系境界である。

となり、 θ 方向 (J方向) については着目セル番号と同じ番号が係数行列中に格納されてしまうことによるものである。すなわち、圧力方程式は、

$$A_0 P_0 - A_1 P_1 - A_2 P_2 - A_3 P_0 - A_4 P_0 - A_5 P_5 - A_6 P_6 = B_0$$

という形になっている。そこで、体系が2次元であるということを利用し、 $A_3 P_0$ および $A_4 P_0$ の項を右辺に移項し定数項に含めることとした。したがって圧力方程式は

$$A_0 P_0 - A_1 P_1 - A_2 P_2 - A_5 P_5 - A_6 P_6 = (B_0 + A_3 P_0 + A_4 P_0)$$

となり、 θ 方向情報が削除された形となる。

以上のプログラム改良による効果をサブルーチン負荷率により確認した。この負荷率測定には、富士通㈱提供の FORTUNE (Fortran Tuner) を使用した。

定常状態到達までに使用した各サブルーチン単位の負荷率を Table E. 1 に示す。この Table 中には、オリジナル・プログラムの結果と θ 方向情報を削除 (S. YMOMI Skip) した改良プログラムの結果の 2 種類を載せてある。オリジナル・プログラムの結果では、R-Z 2 次元解析であるにもかかわらず θ 方向の運動方程式係数を計算する S. YMOMI の負荷が一番大きく、全く意味の無い計算部分に時間を取られているのが判かる。このオリジナル・プログラムによる定常解算出には、FACOM VP-100 (Scalar 演算) で 1594.8 秒の時間を要している。改良プログラムによる時間は第 3.9 節で述べた通りであり、プログラムの改良により CPU 時間の約 3 割が節約されている。Figure E. 1 に定常状態に到達するまでの CPU 時間の推移を両プログラムについて示す。結果では、 $\Delta V_{\max} / V_{\max}$ が 10^{-4} 以下になったあたりから両者に顕著な差が現われ始め、定常解に到達した段階でその差は最大を示している。S. TIMSTP および S. SOLVIT に於ける改良プログラムの効果をそれぞれ Figure E. 2, E. 3 に示す。

Table E.1 Comparison of Sub-Program Occupation Ratio
Between Original Version and Corrected Version

S.P. Name	Occupation Ratio (%)		Note
	S. YMOMI is Calculated	S. YMOMI is Skipped	
YMOMI	26.1	—	
SCIIVIT	22.1	25.3	
ZMOMI	14.6	21.2	
XMOMI	13.1	19.1	
PEQN	6.2	9.0	
GDCONV	6.0	8.7	
GETDL	2.7	3.7	
VISLIQ	2.7	3.9	
MOMENI	1.2	1.8	
REBAZG	1.1	1.5	
MOLOOP	0.8	1.1	
FILLM	0.2	0.2	
FORCES	0.2	0.3	
TIMSTP	0.2	0.3	
INPSTR	0.1	0.1	
IREBAL	0.1	0.1	
RSET2	0.1	0.1	
Total	97.5	96.4	
CPU Time on BEP1 (Sec.)	1594.8	1121.3	

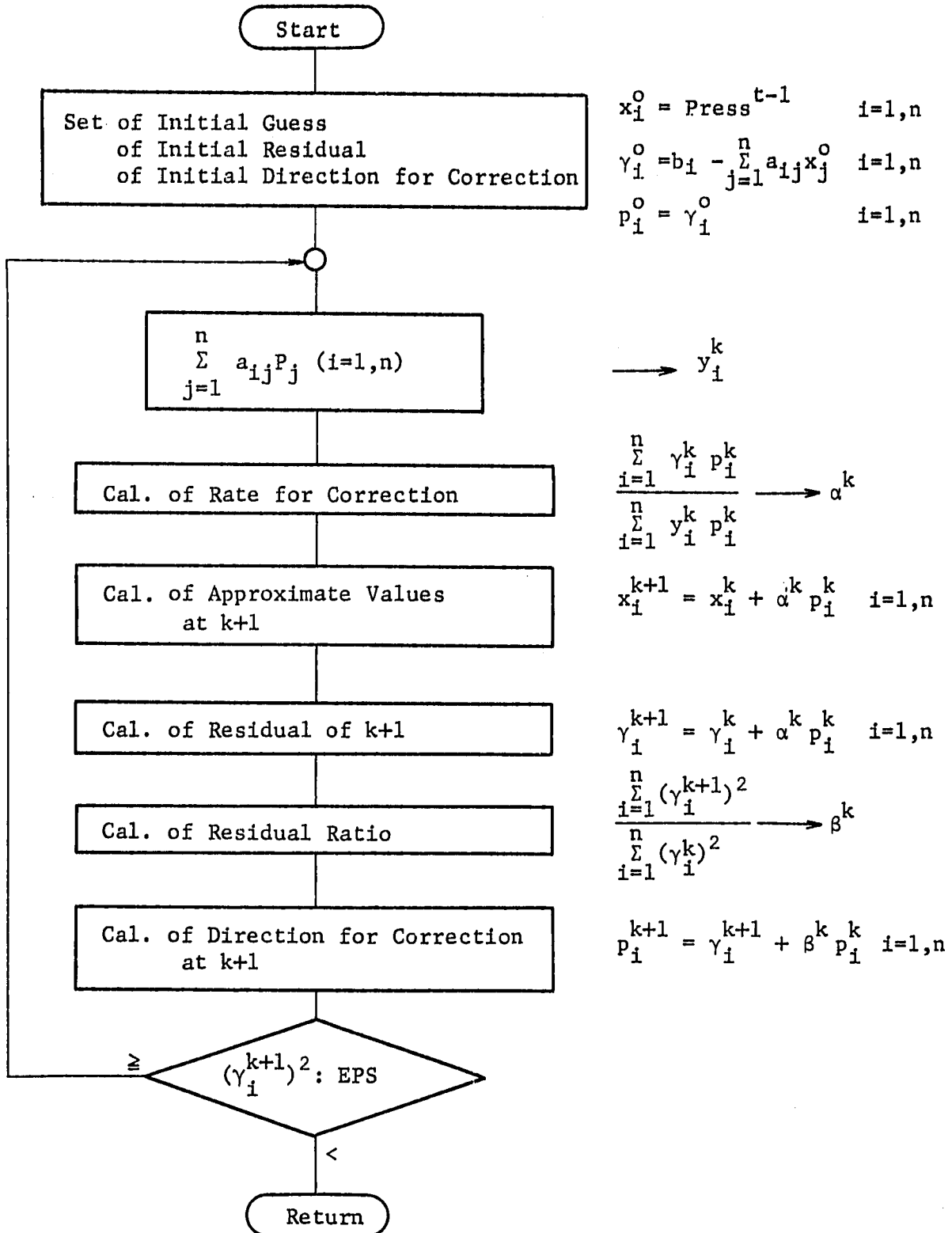
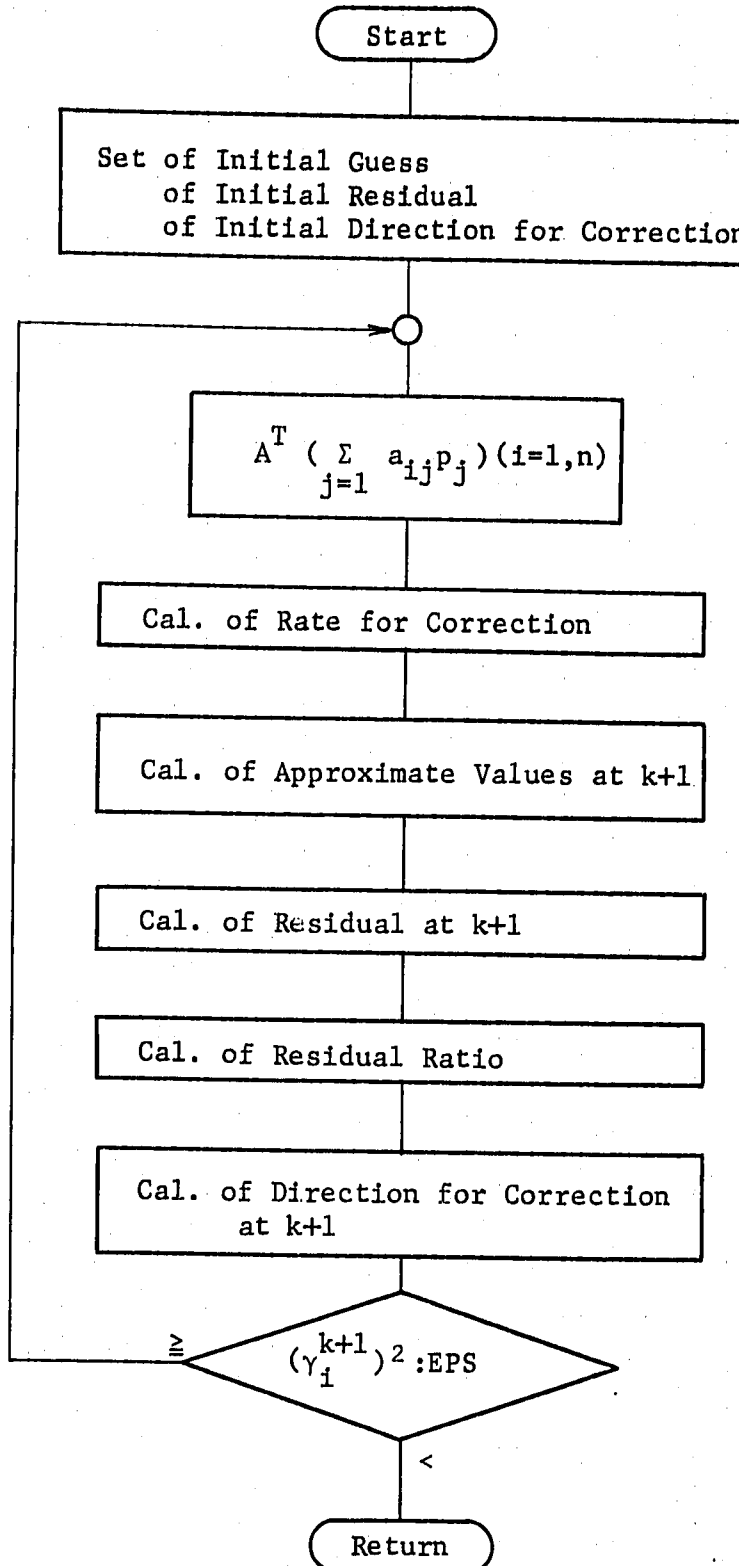


Fig. 2.1 C.G. Algorithm (Hestenes-Stiefel version)
for Symmetrical Matrix



$$\begin{aligned}
 x_i^0 &= \text{Press}^{t-1} & i=1, n \\
 \gamma_i^0 &= A^T(b_i - \sum_{j=1}^n a_{ij} x_j^0) & i=1, n \\
 p_i^0 &= \gamma_i^0 & i=1, n
 \end{aligned}$$

$$\longrightarrow y_i^k$$

$$\frac{\sum_{i=1}^n \gamma_i^k p_i^k}{\sum_{i=1}^n y_i^k p_i^k} \longrightarrow \alpha^k$$

$$x_i^{k+1} = x_i^k + \alpha^k p_i^k \quad i=1, n$$

$$\gamma_i^{k+1} = \gamma_i^k - \alpha^k y_i^k \quad i=1, n$$

$$\frac{\sum_{i=1}^n (\gamma_i^{k+1})^2}{\sum_{i=1}^n (\gamma_i^k)^2} \longrightarrow \beta^k$$

$$p_i^{k+1} = \gamma_i^{k+1} + \beta^k p_i^k \quad i=1, n$$

Fig. 2.2 C.G. Algorithm for Unsymmetrical Matrix

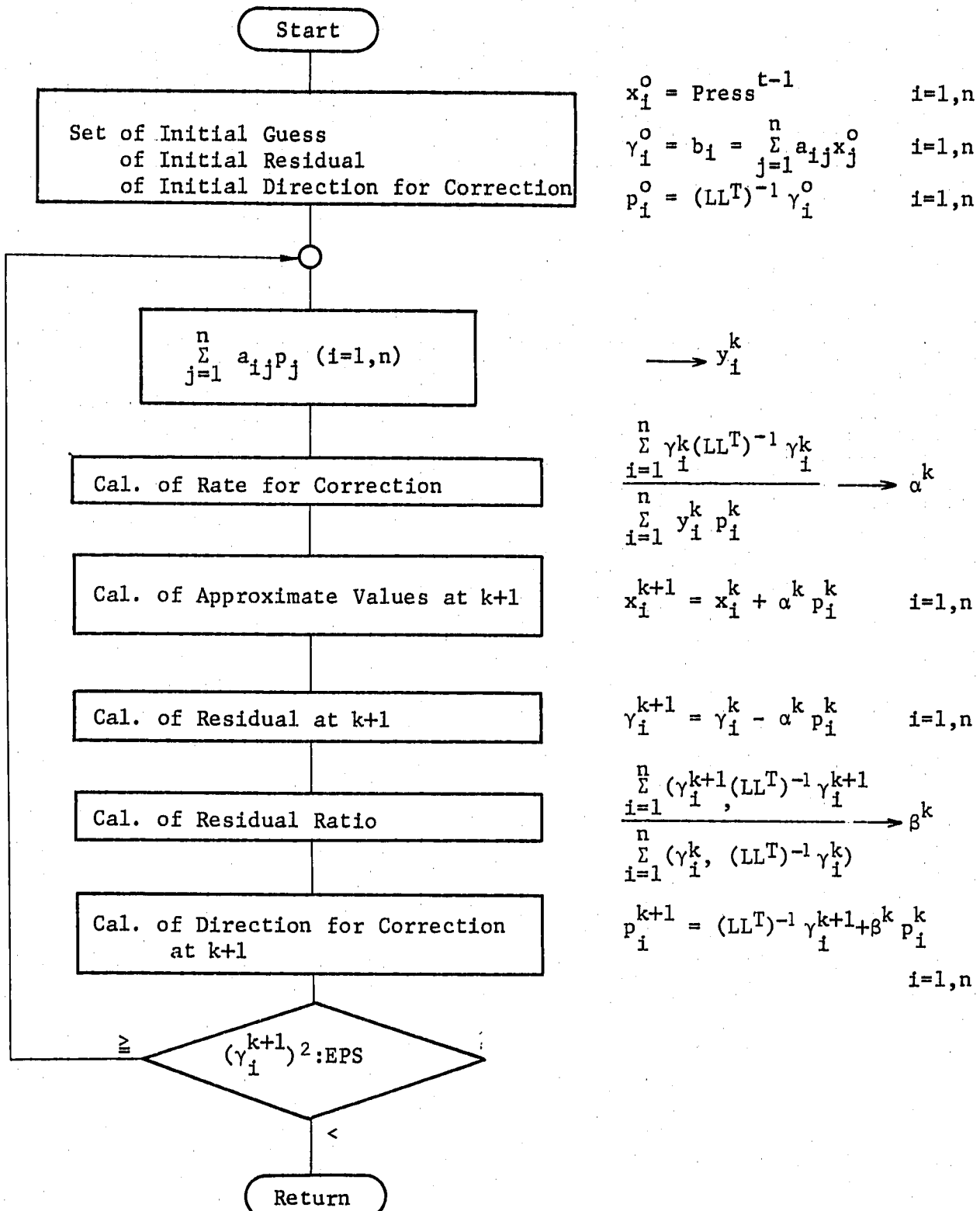


Fig. 2.3 I.C.C.G. Algorithm

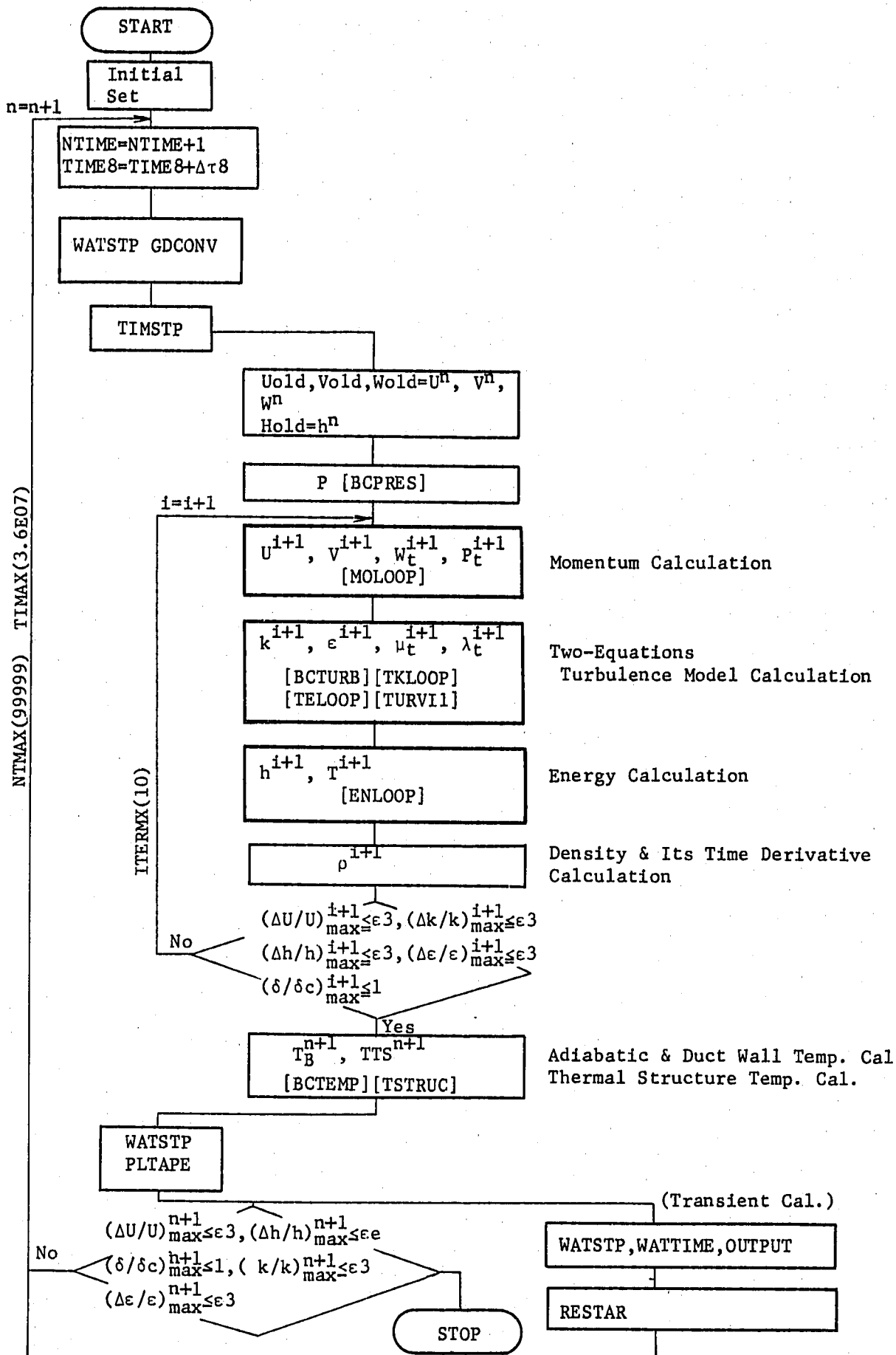


Fig. 2.4 Overall Flow Chart of COMMIX-1A

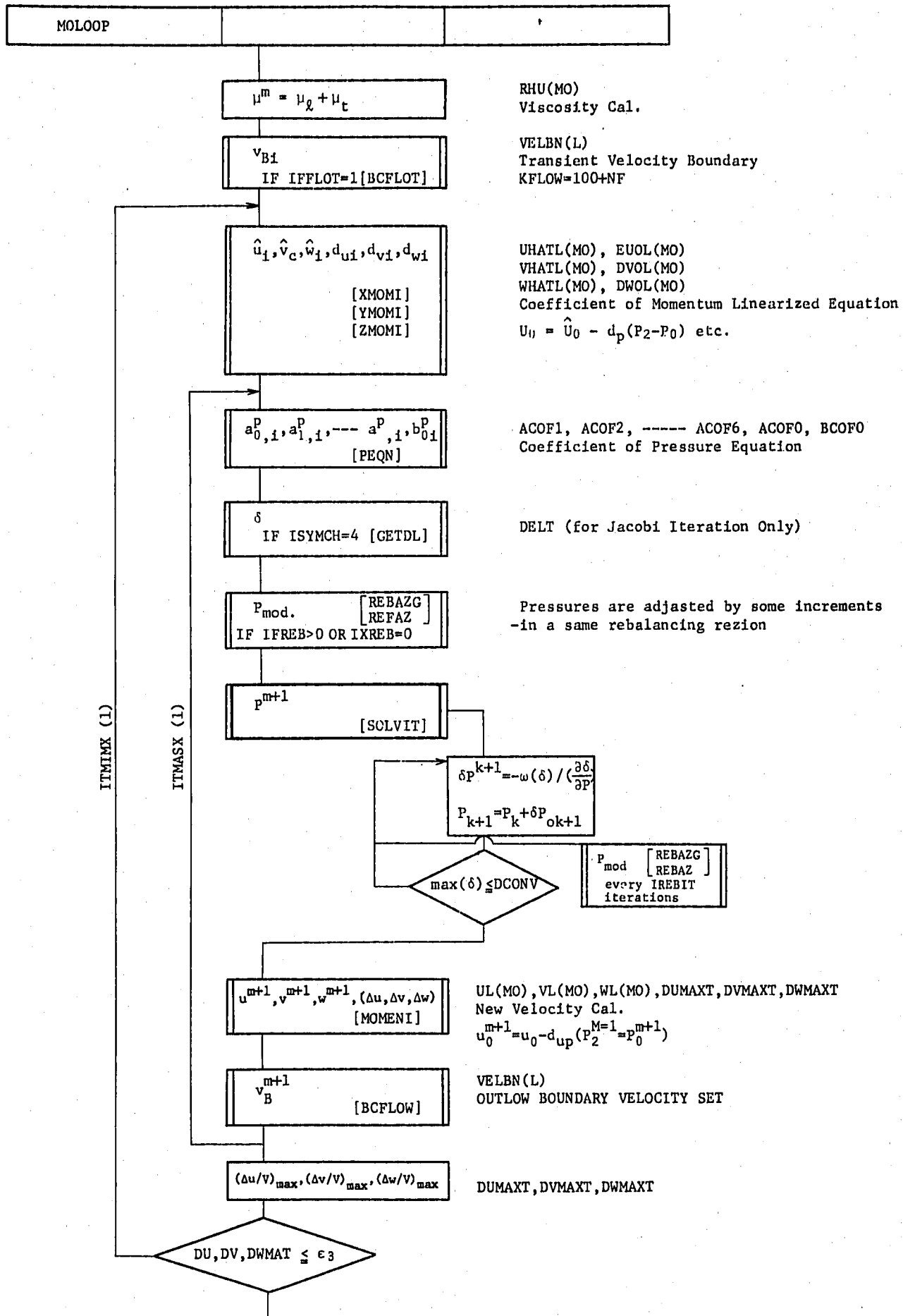


Fig. 2.5 General Flow Chart of SUBROUTINE MOOLOOP

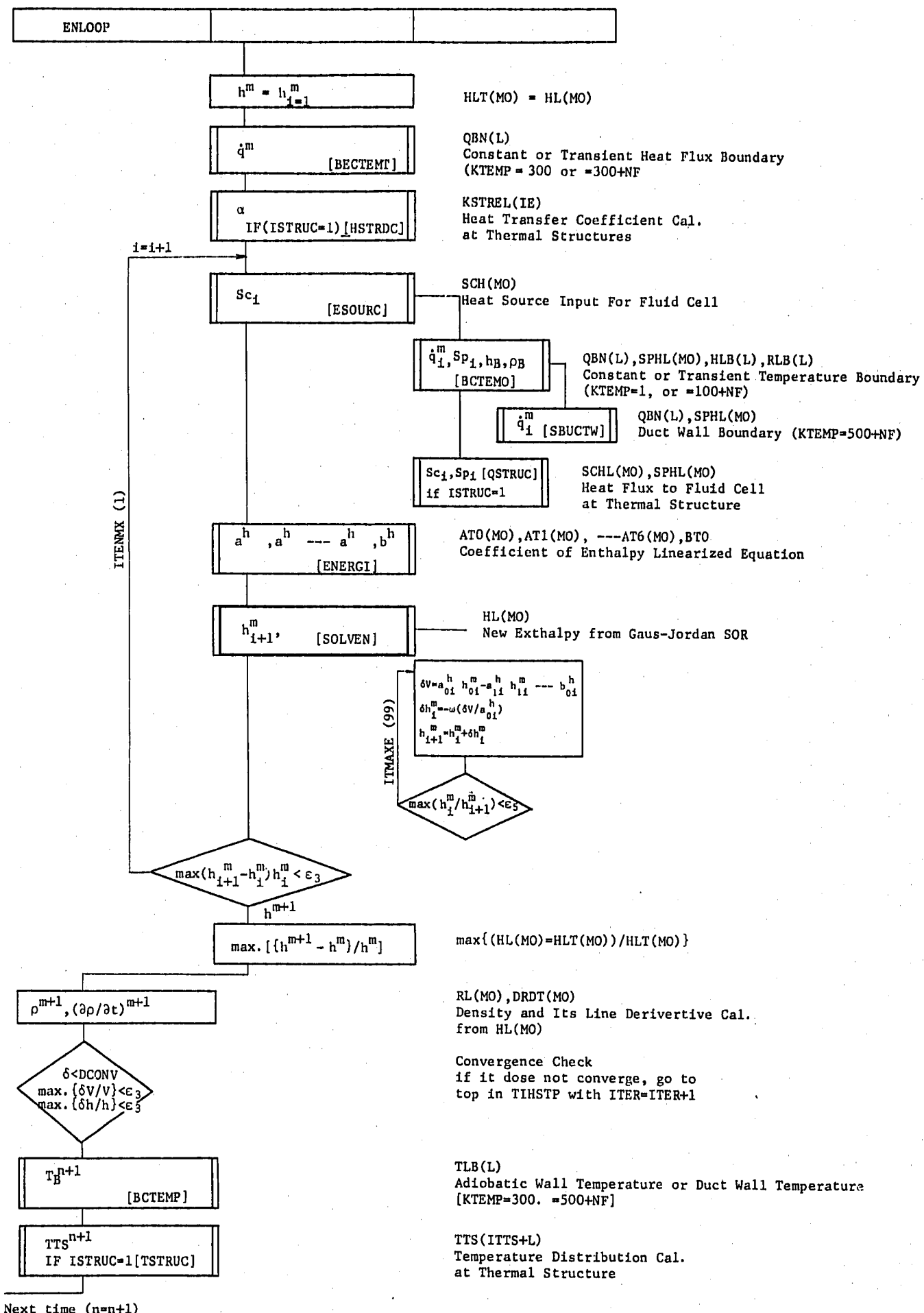


Fig. 2.6 General Flow Chart of SUBROUTINE ENLOOP

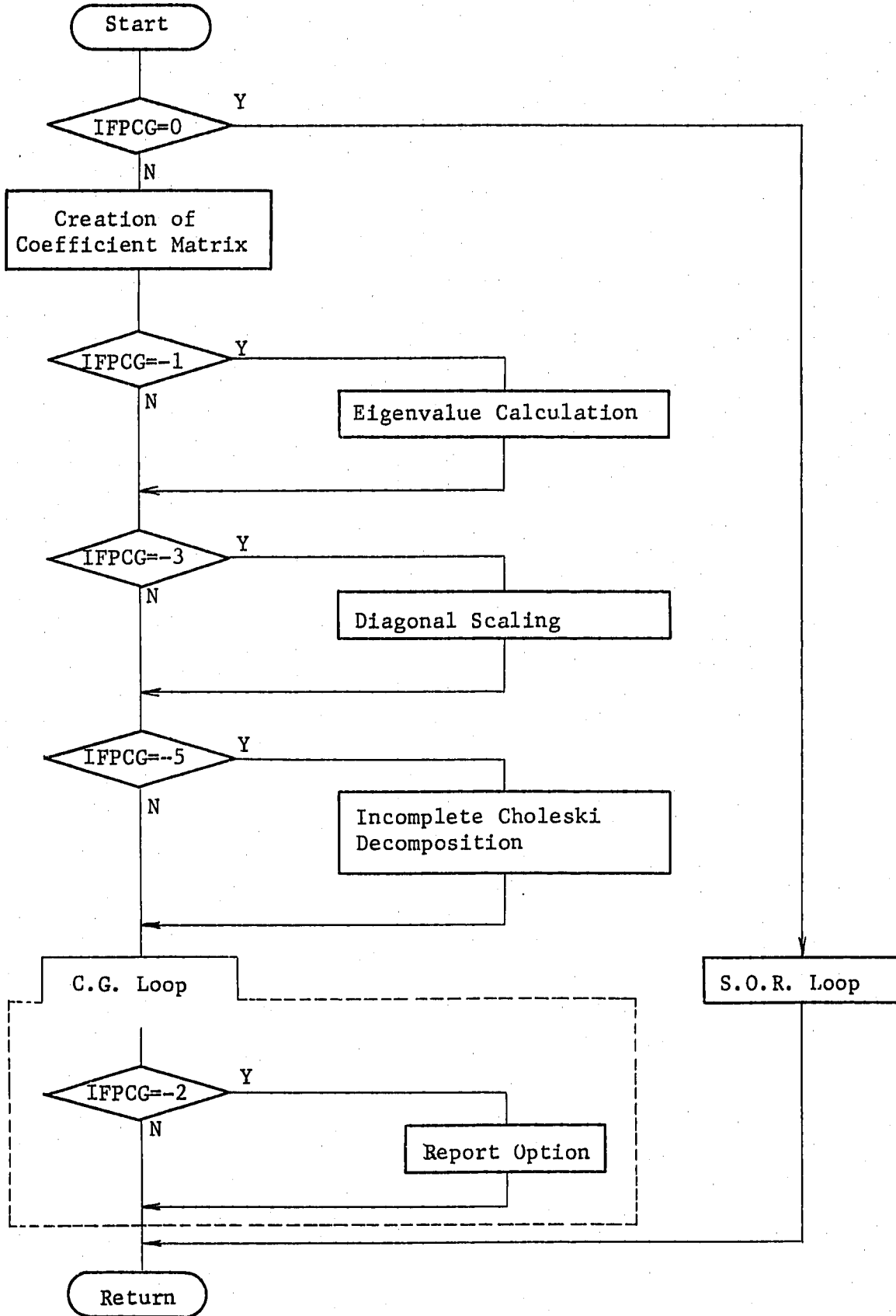


Fig. 2.7 Overall Flow Chart of P.C.G. Solver

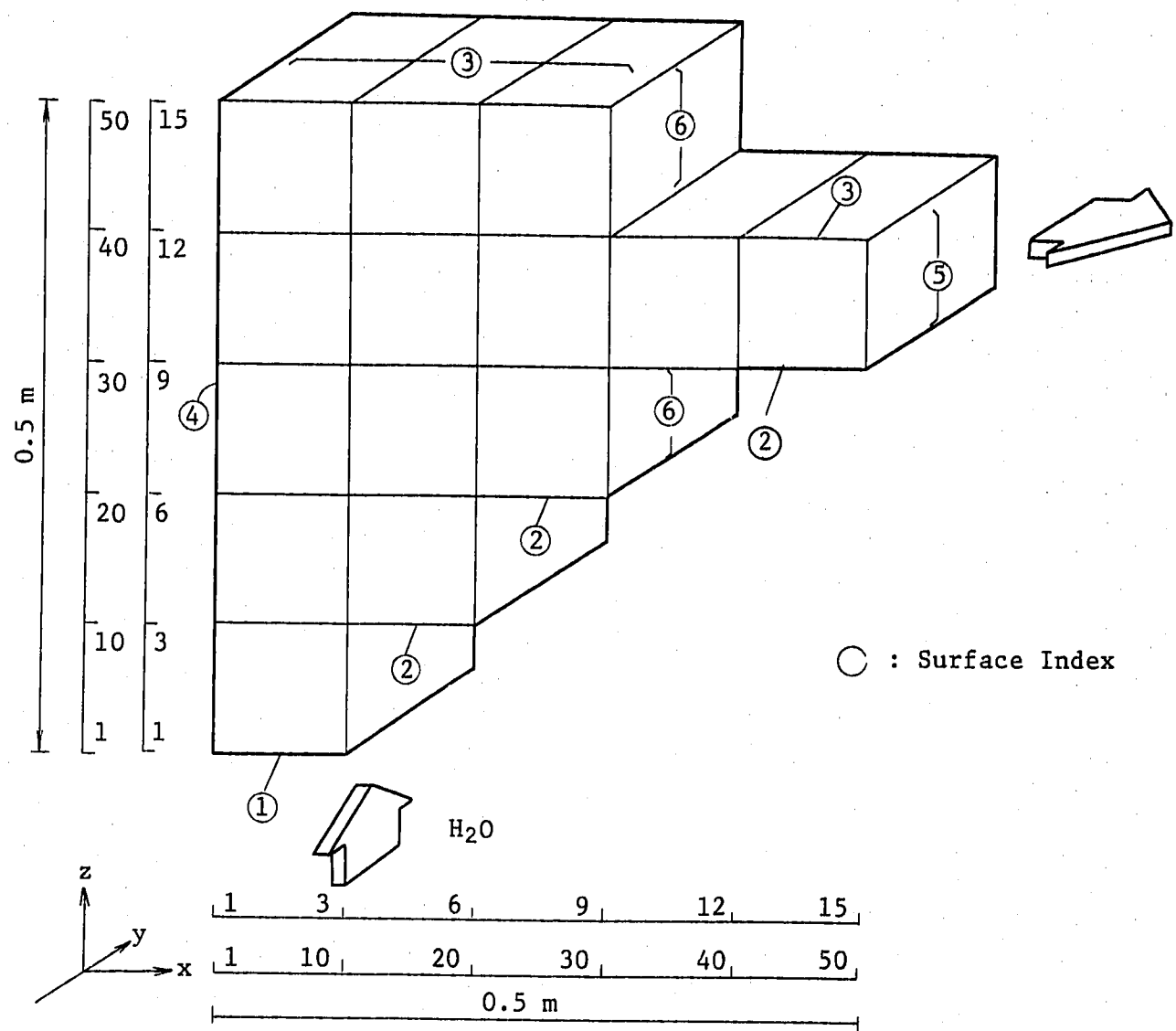


Figure 3.1 Mesh Arrangement for Fundamental Problems

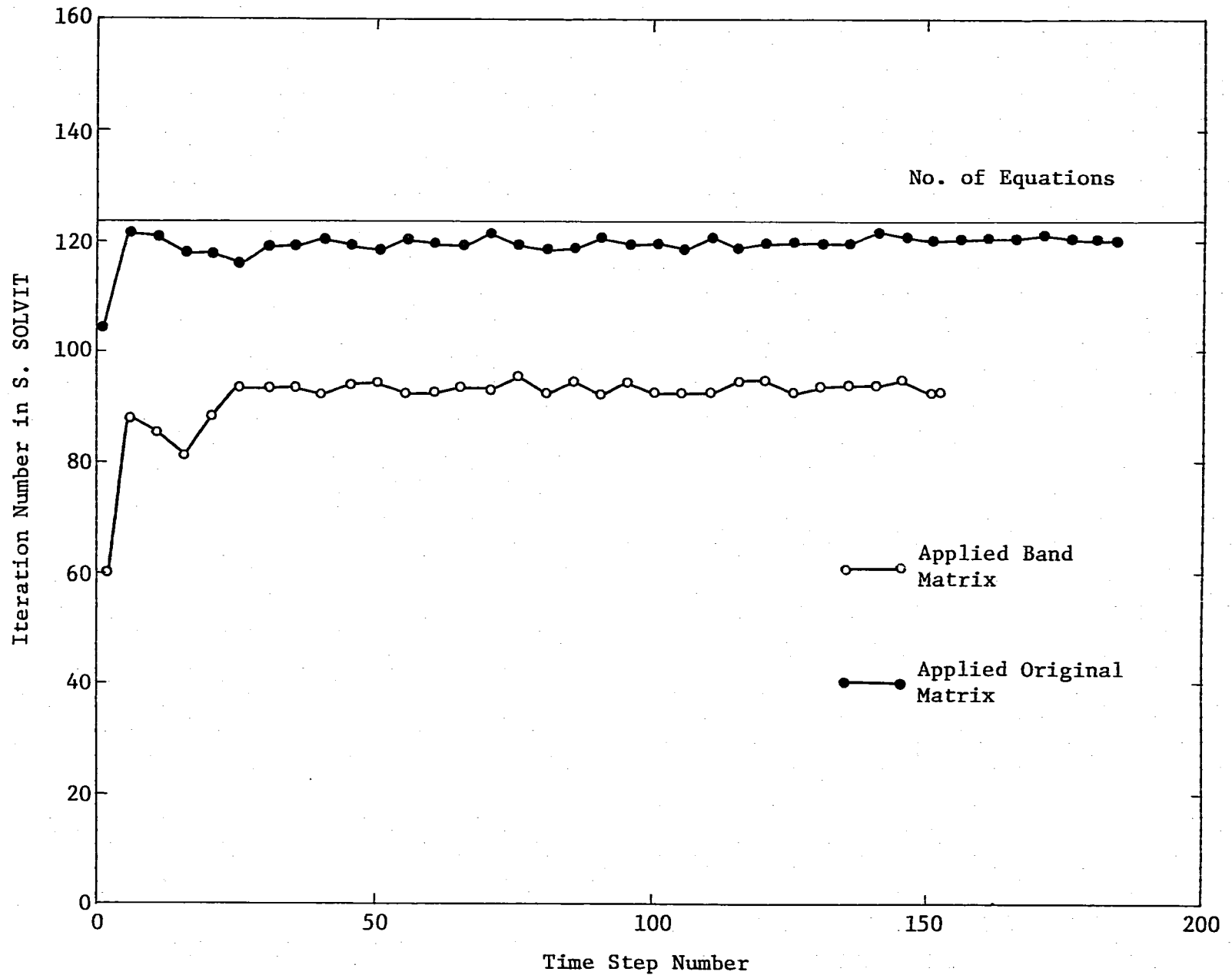


Figure 3.2 Effect of Band Matrix Width about Iteration Number in S. SOLVIT on 126 Cells Problem (Iteration Scheme = C.G. Method)

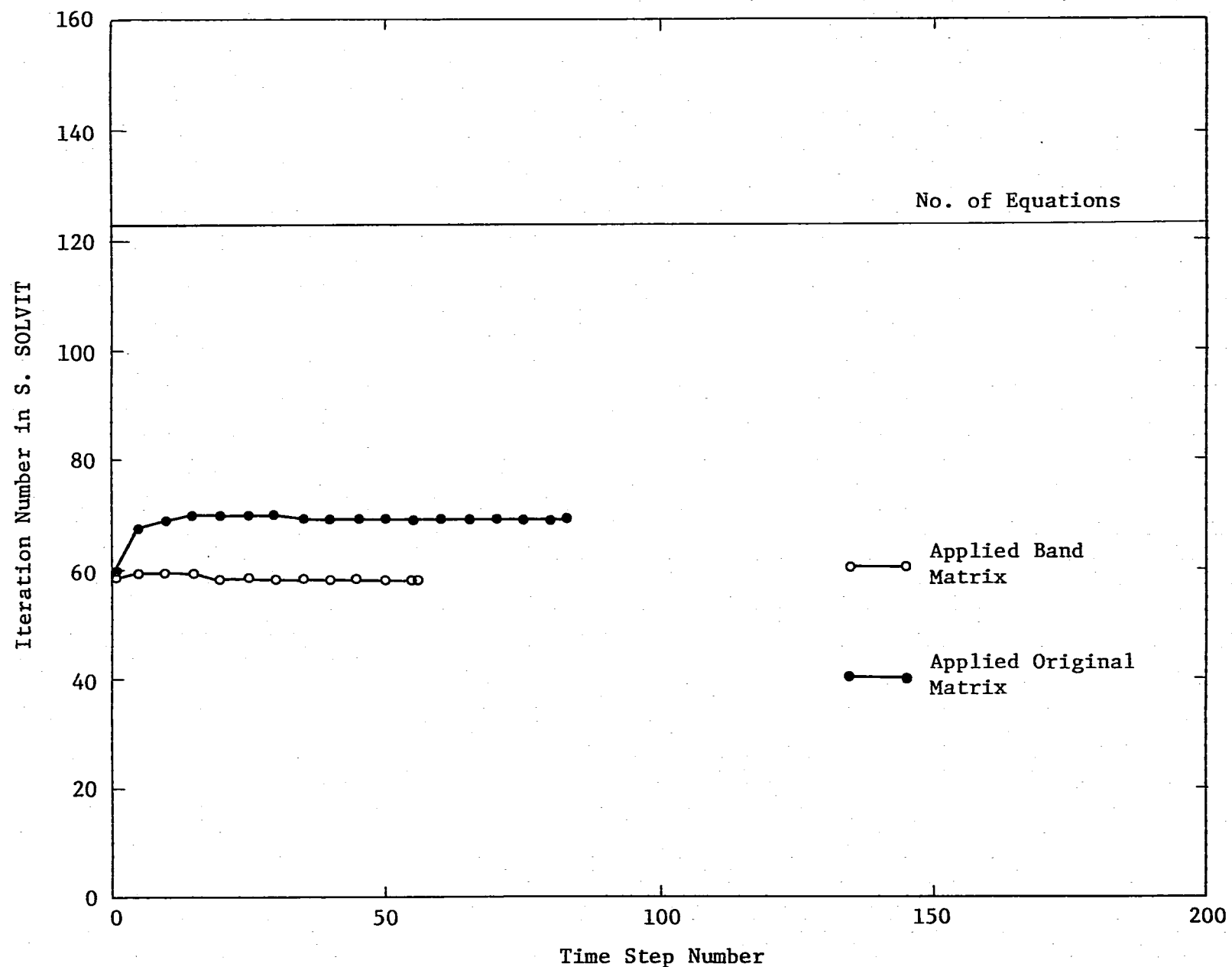


Figure 3.3 Effect of Band Matrix Width about Iteration Number in S. SOLVIT
on 126 Cells Problem (Iteration Scheme = Scaling Method)

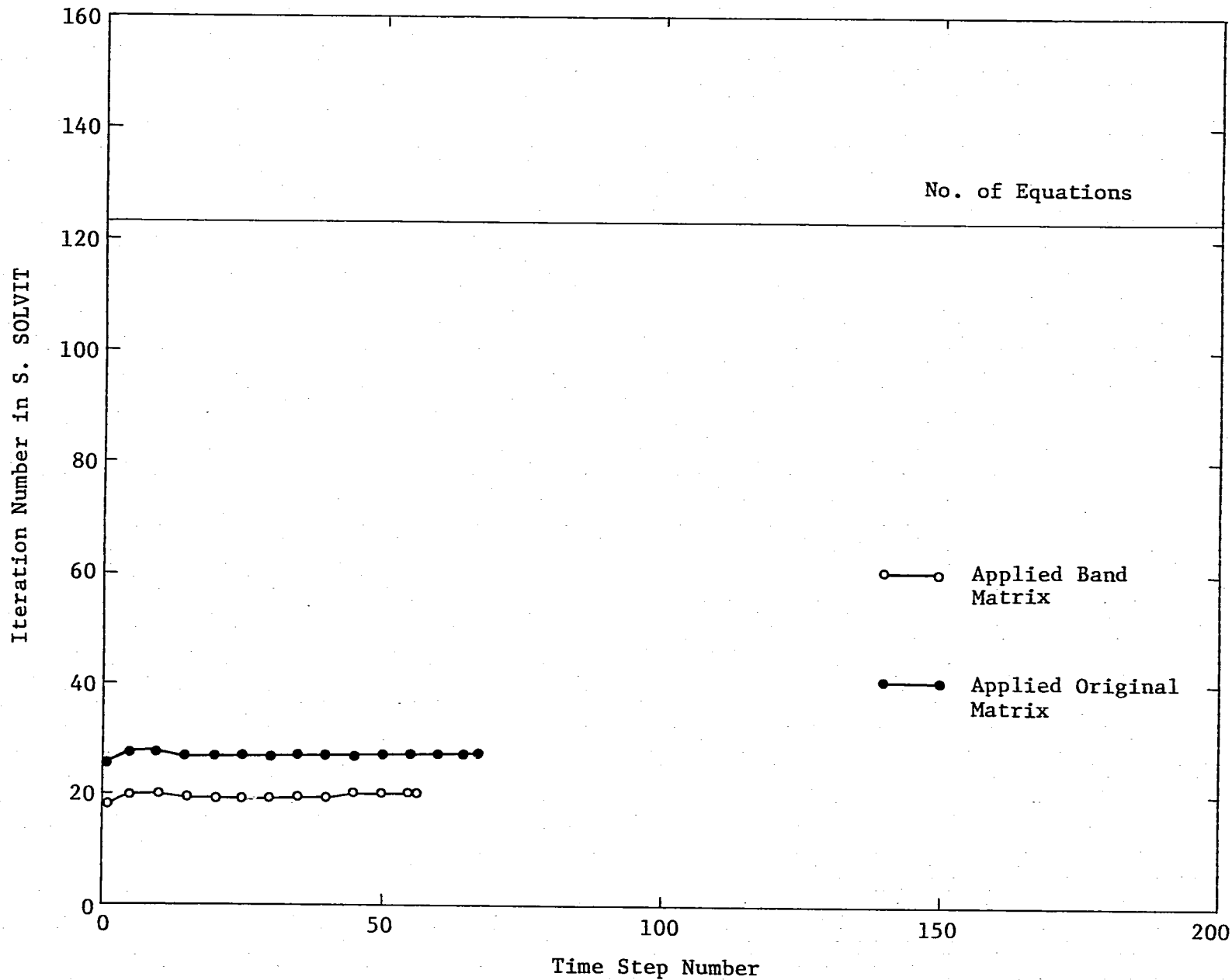


Figure 3.4 Effect of Band Matrix Width about Iteration Number in S. SOLVIT on 126 Cells Problem (Iteration Scheme = I.C.C.G. Method)

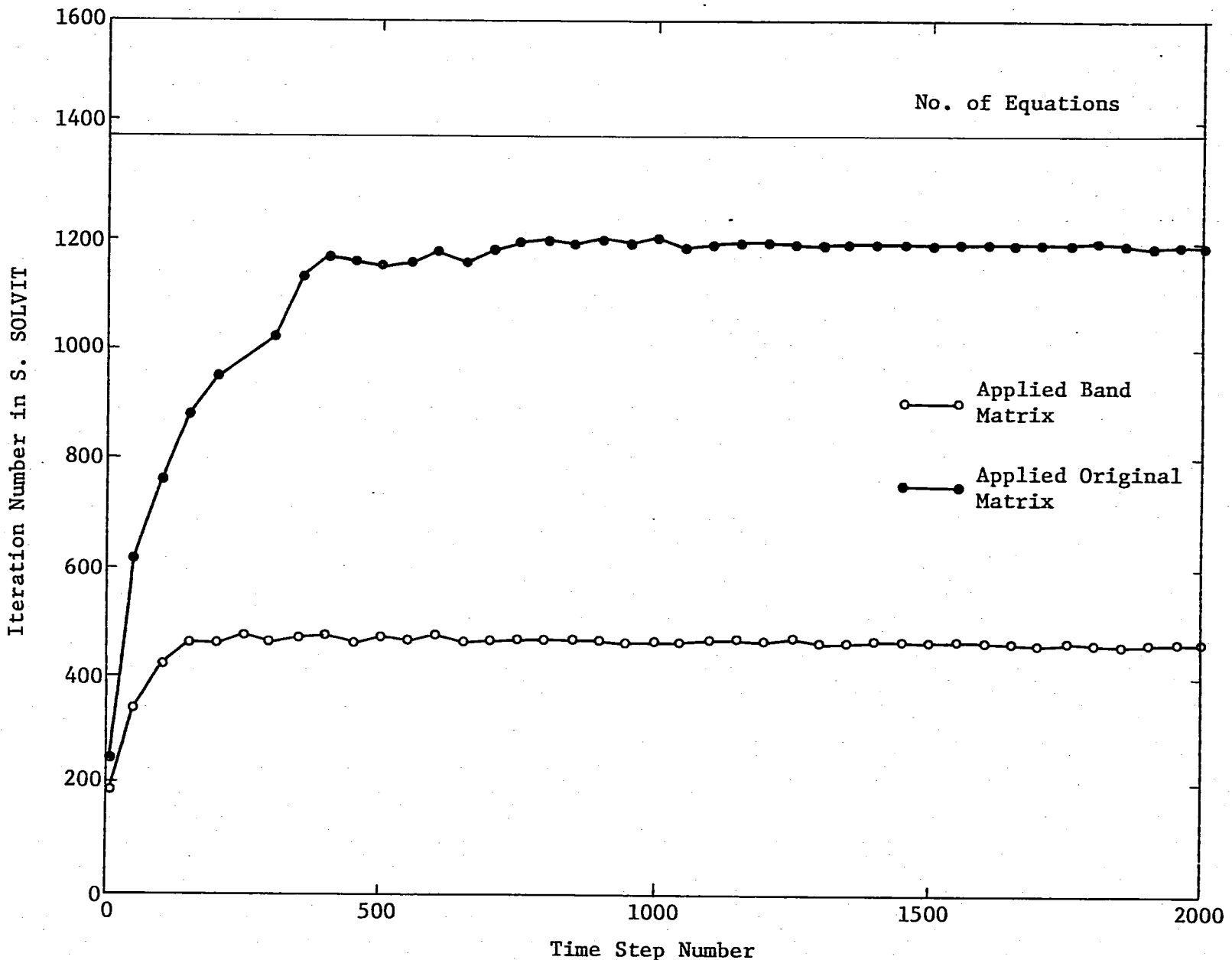


Figure 3.5 Effect of Band Matrix Width about Iteration Number in S. SOLVIT
on 1400 Cells Problem (Iteration Scheme = C.A. Method)

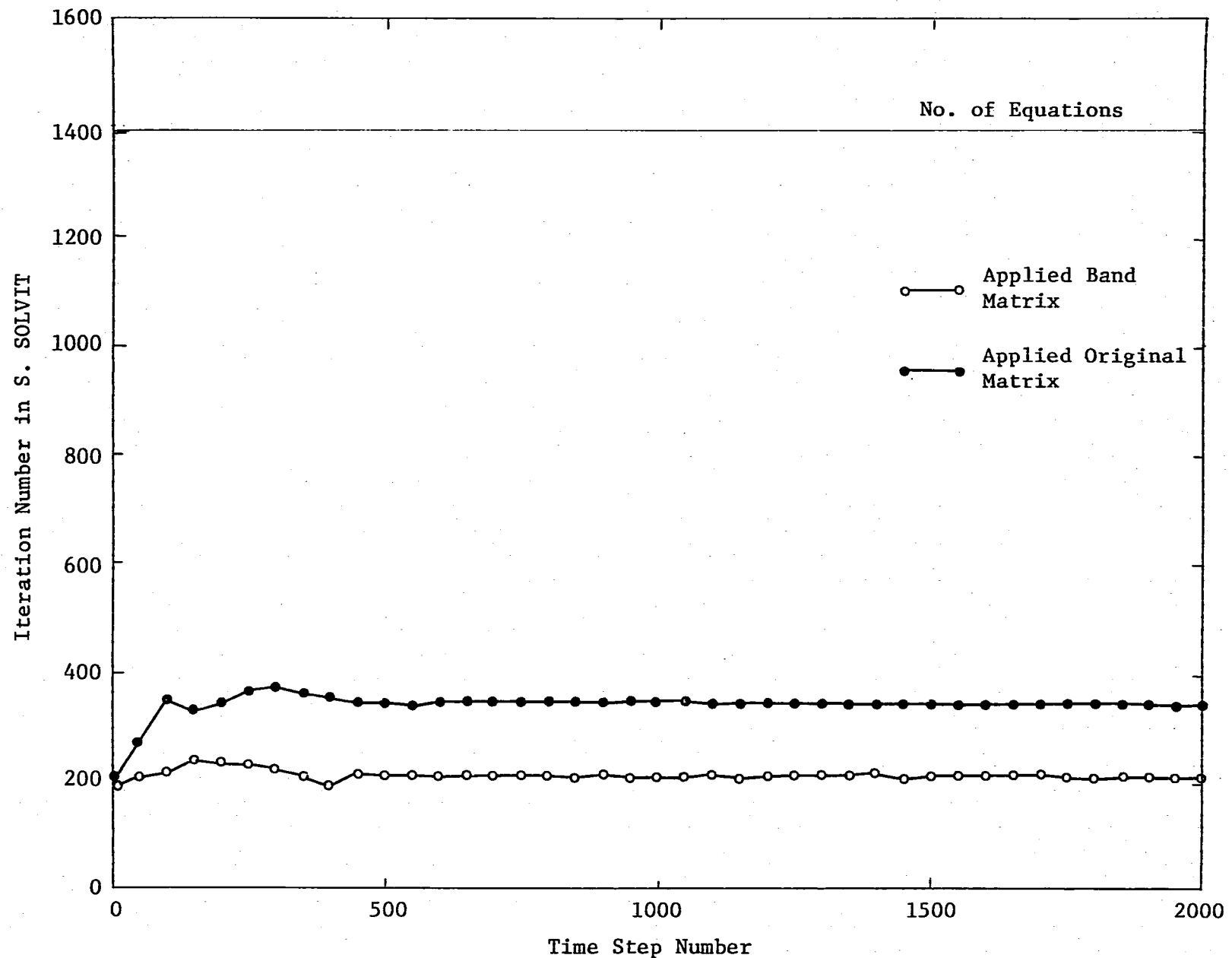


Figure 3.6 Effect of Band Matrix Width about Iteration Number in S. SOLVIT on 1400 Cells Problem (Iteration Scheme = Scaling Method)

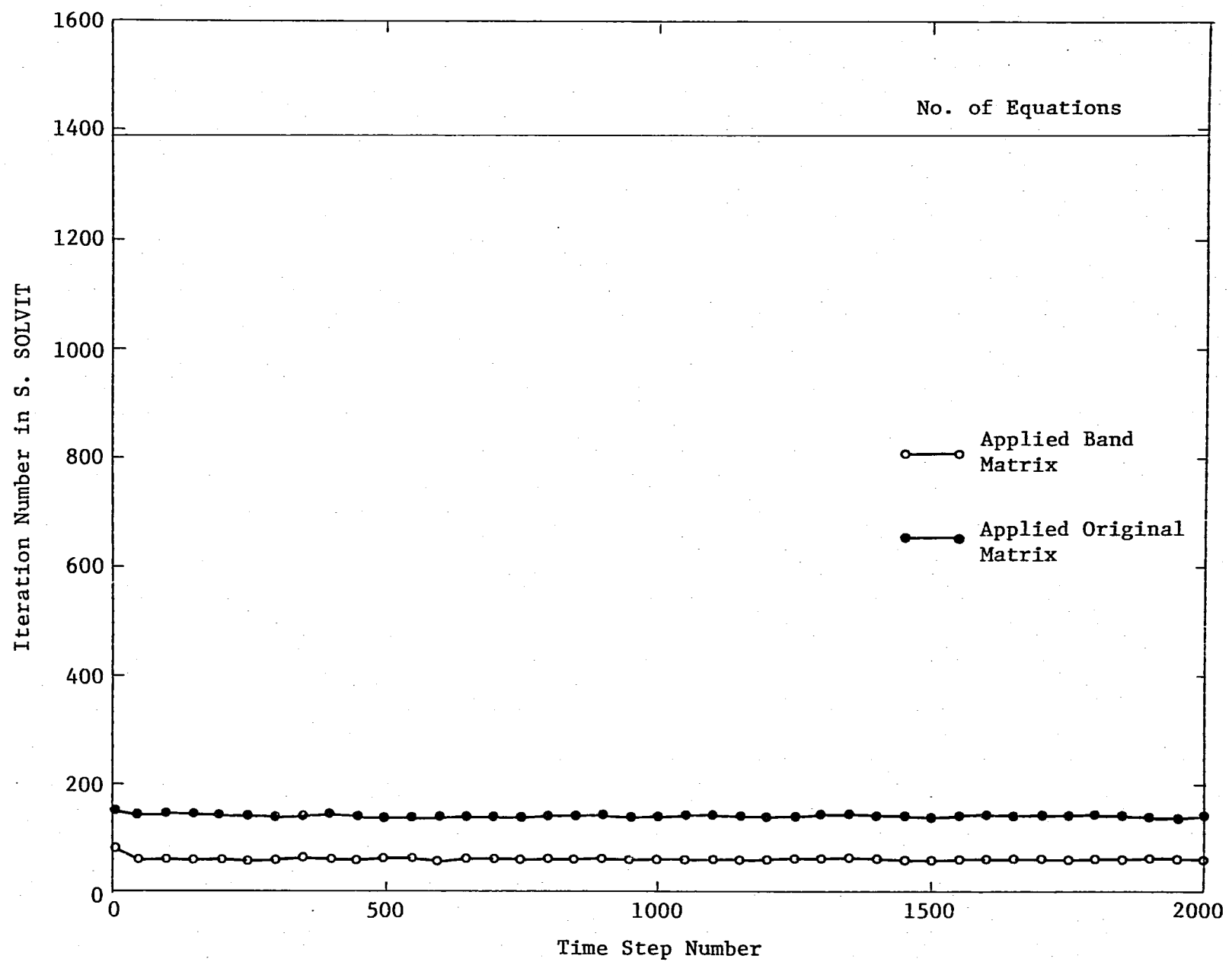


Figure 3.7 Effect of Band Matrix Width about Iteration Number in S. SOLVIT on 1400 Cells Problem (Iteration Scheme = I.C.C.G. Method)

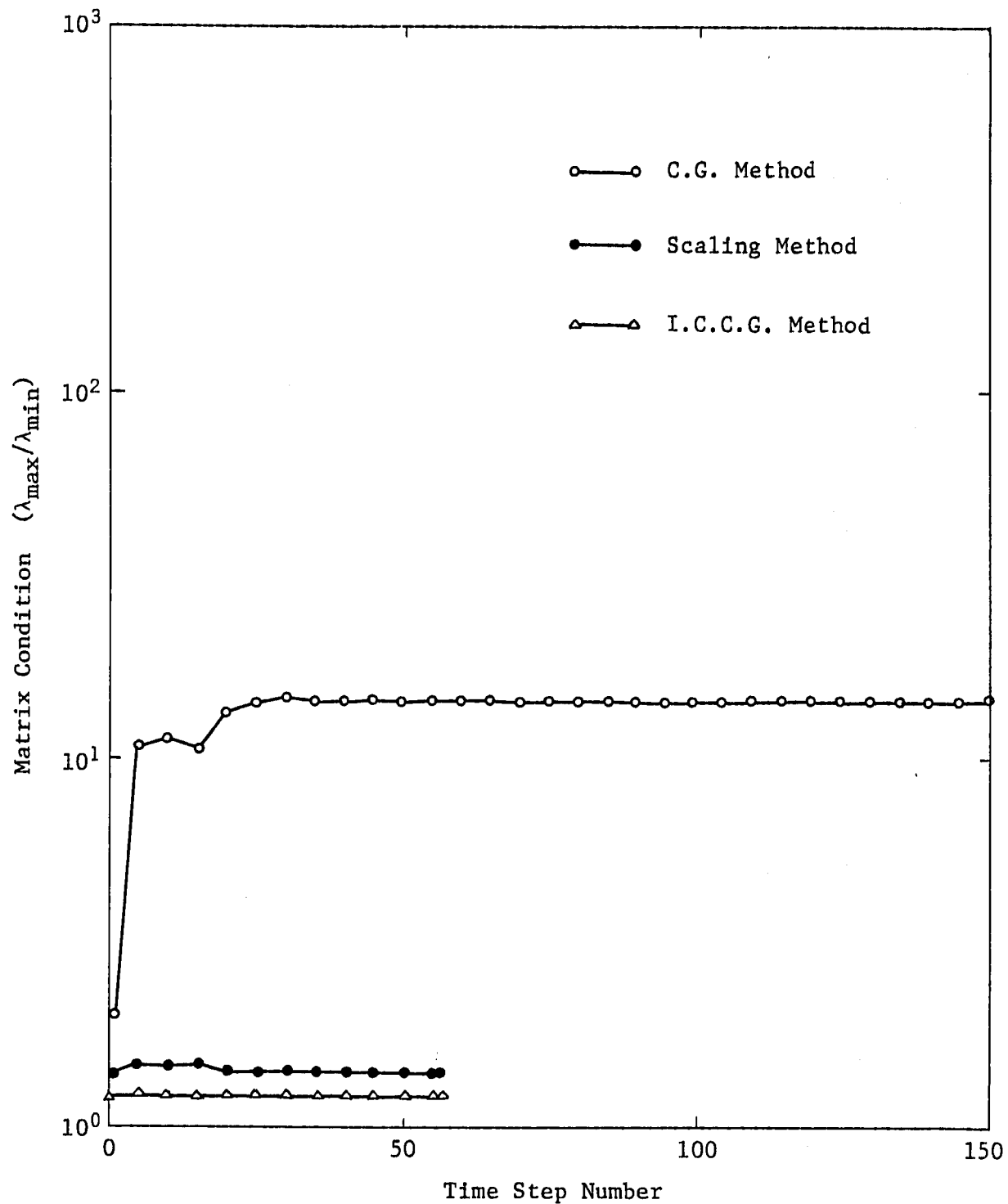


Figure 3.8 Comparison of Matrix Condition of Each Scheme on 126 Cells Problem

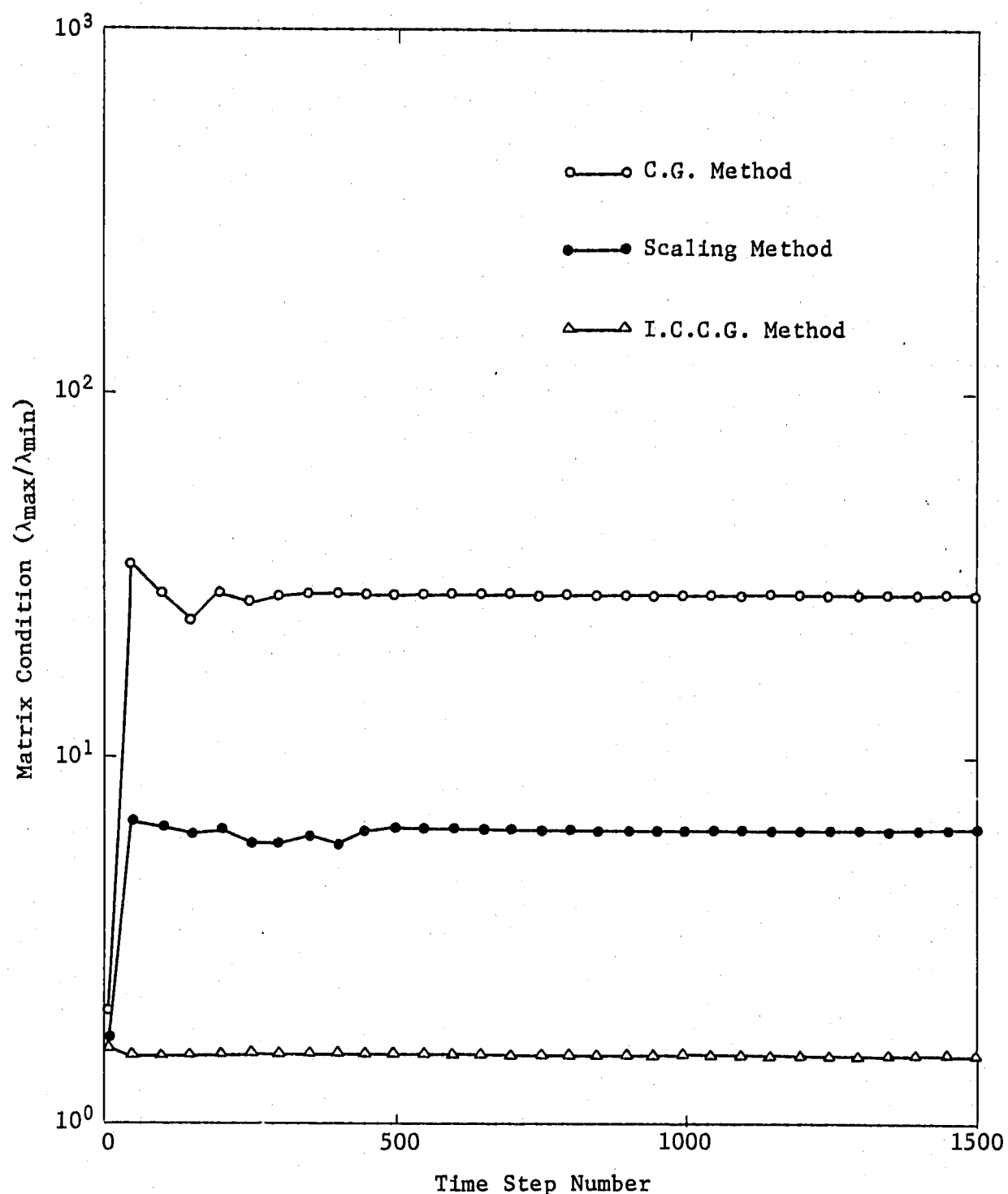


Figure 3.9 Comparison of Matrix Condition of Each Scheme
on 1400 Cells Problem

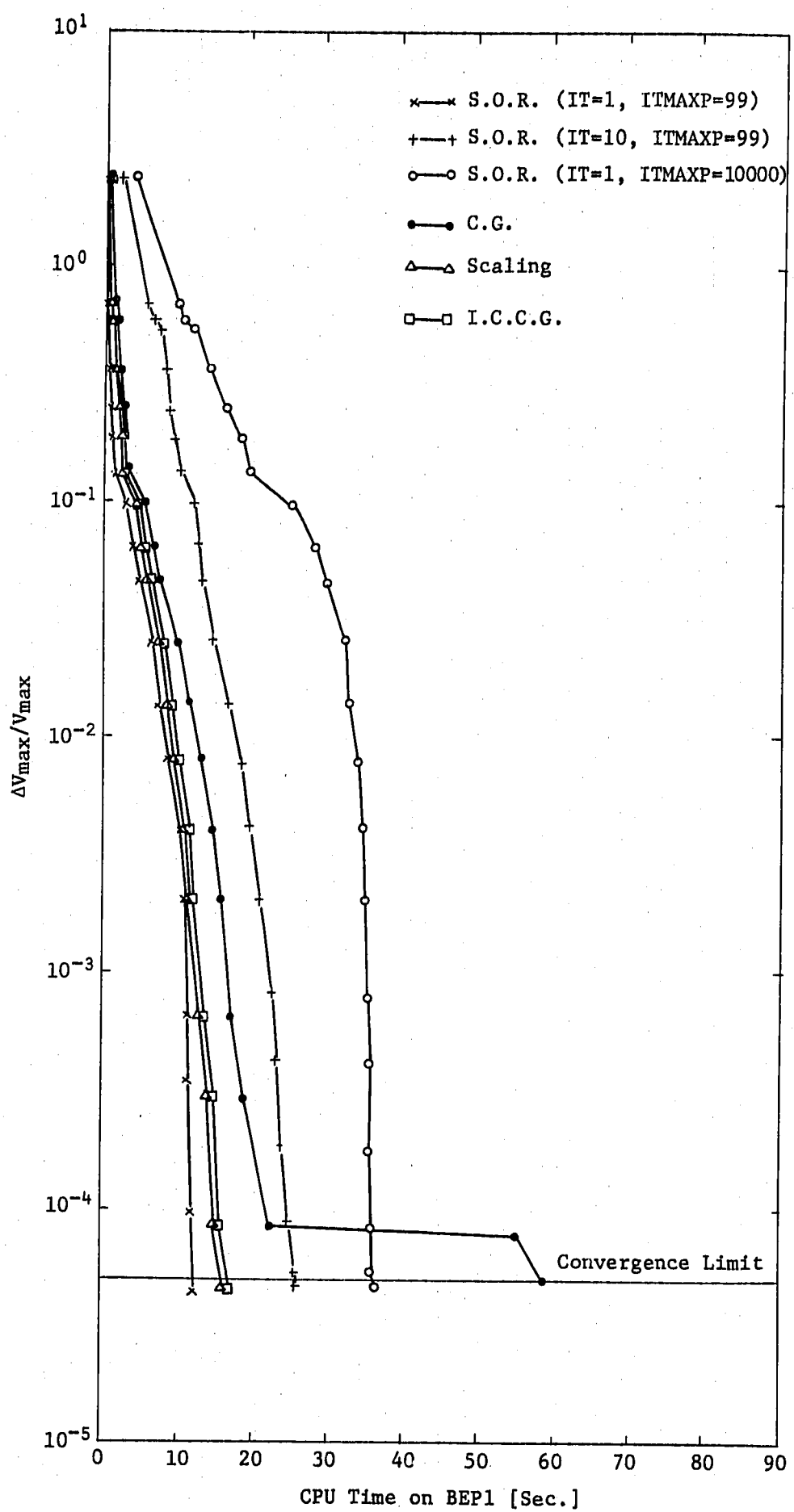


Figure 3.10 Compalison of Convergencys of Each Scheme
on 126 Cells Problem

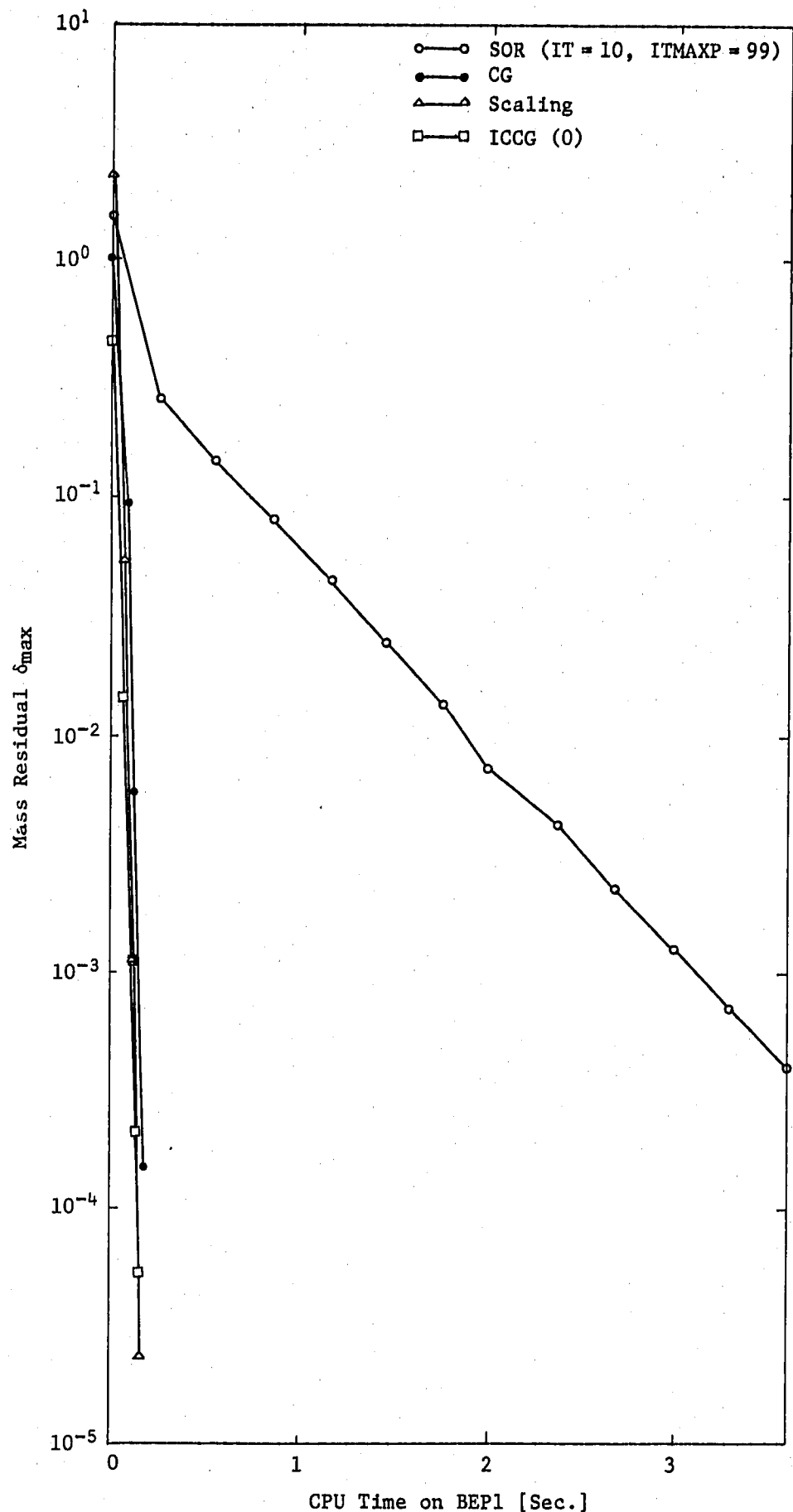


Figure 3.11 Comparison of Mass Balance Convergency of Each Scheme about 126 Cells Problem on Scalar Machine (Time Step = 1)

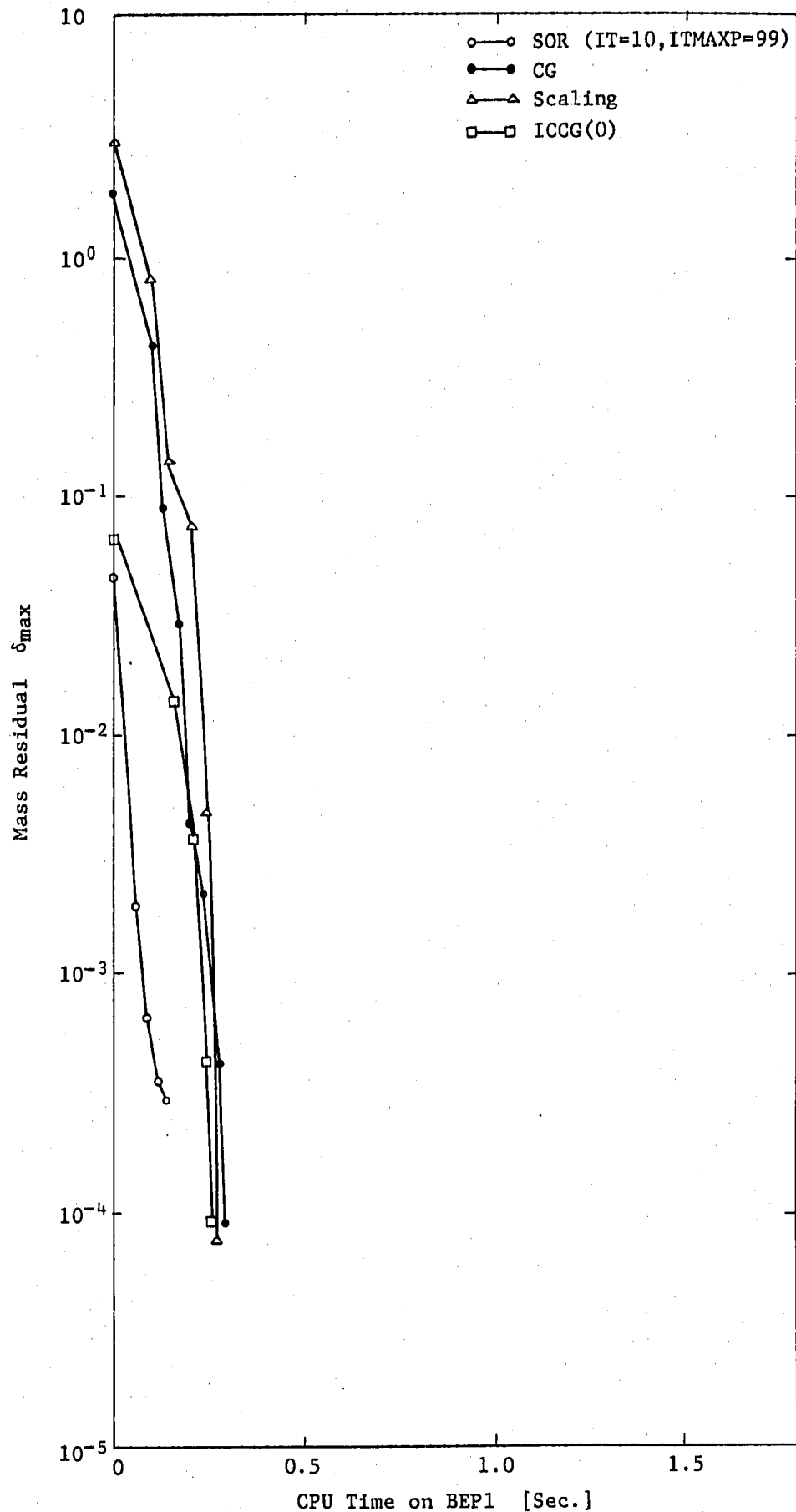


Figure 3.12 Comparison of Mass Balance Convergency of Each Scheme about 126 Cells Problem on Scalar Machine (Time Step = 28)

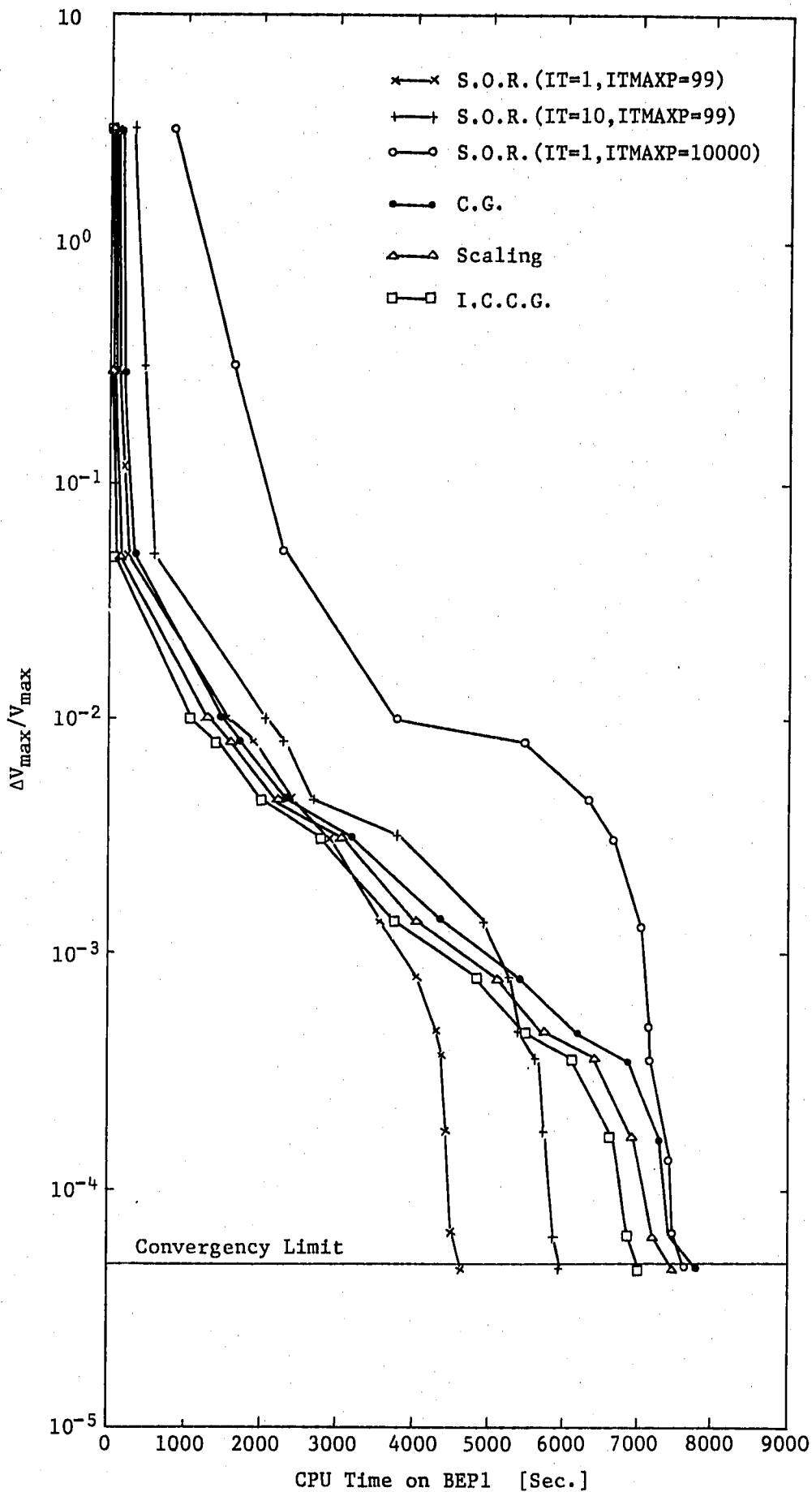


Figure 3.13 Comparison of Convergancy of Each Scheme on 1400 Cells Problem

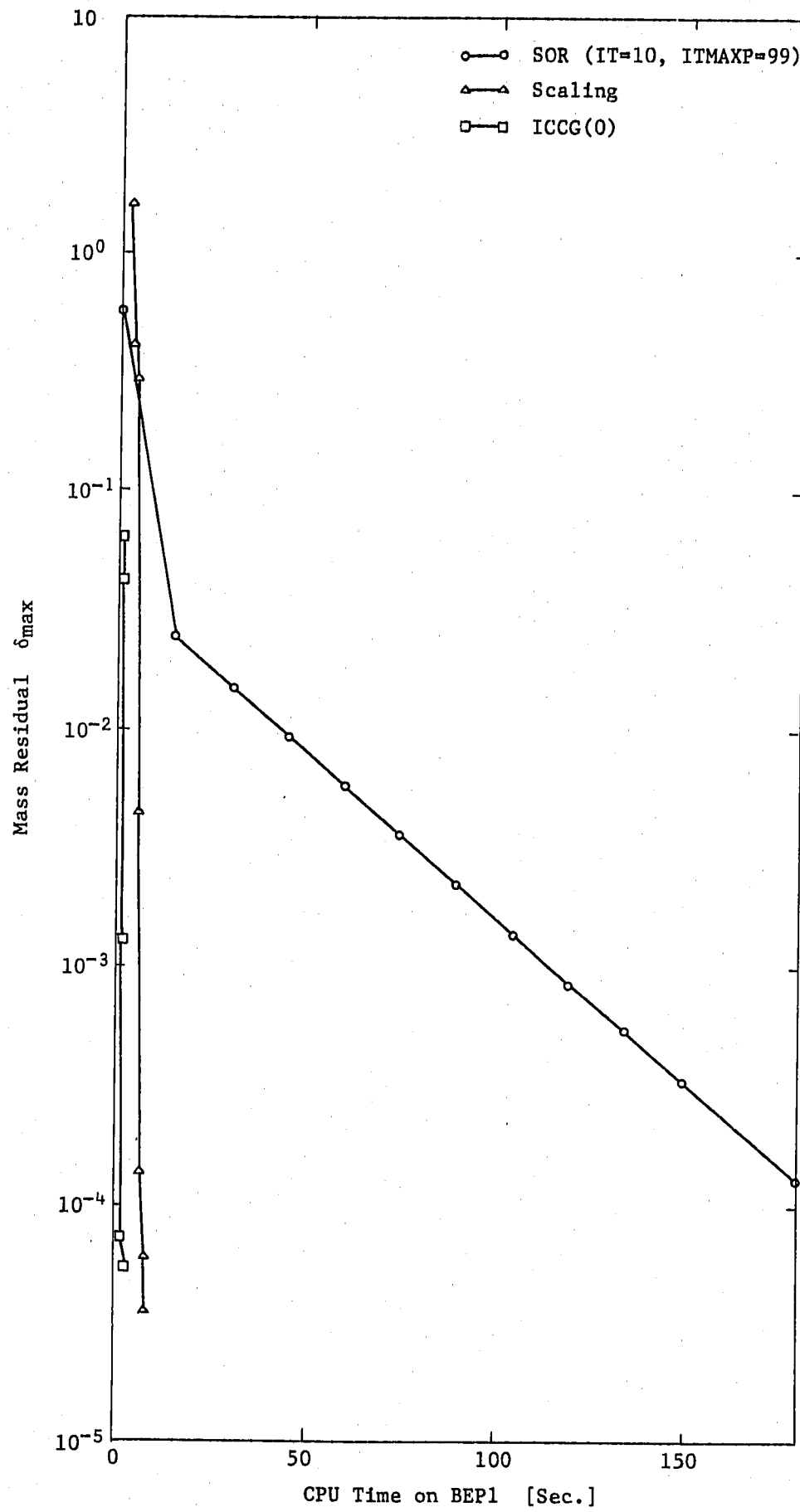


Figure 3.14 Comparison of Mass Balance Convergency of Each Scheme about 1400 Cells Problem on Scalar Machine (Time Step = 1)

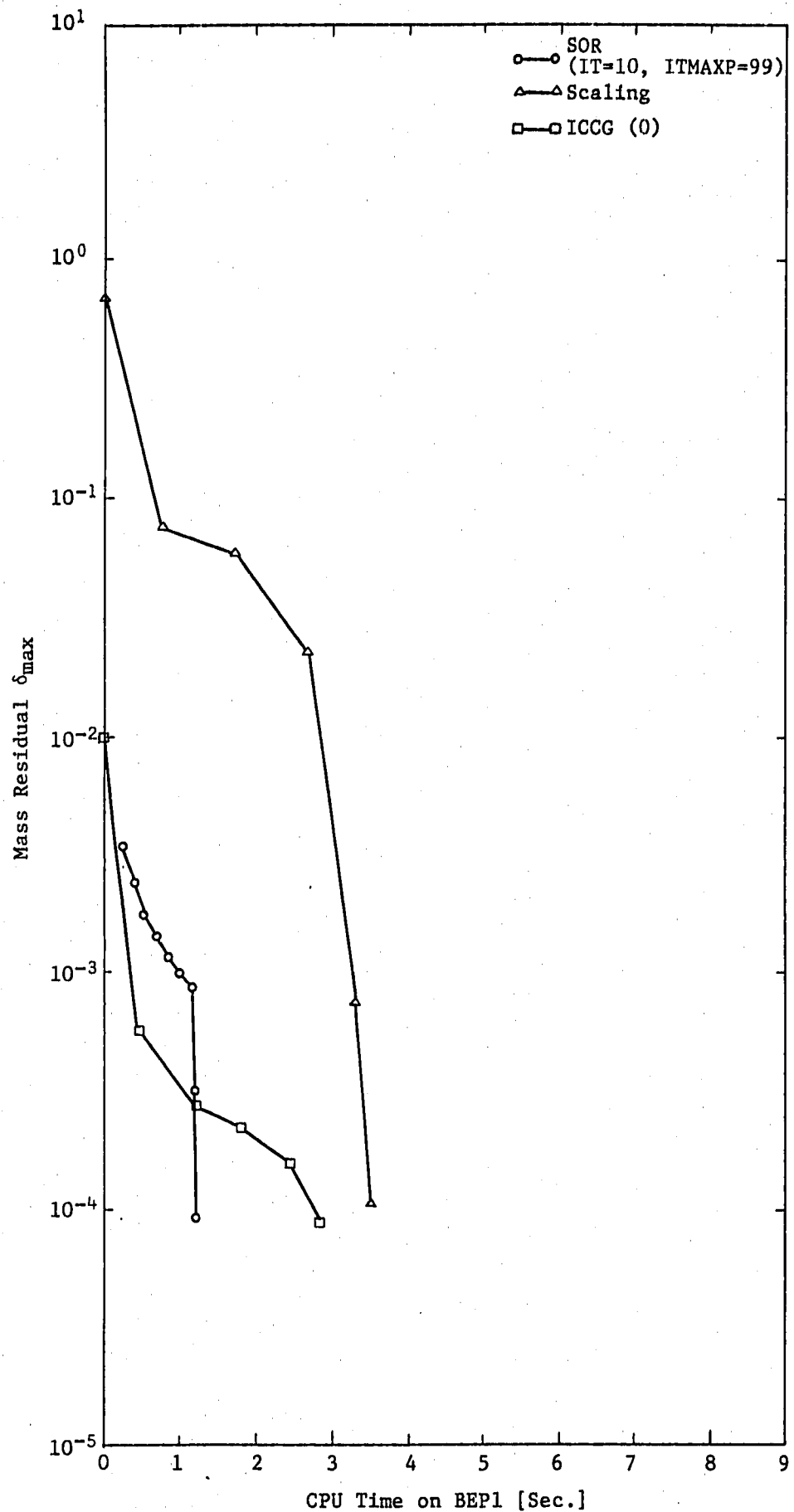


Figure 3.15 Comparison of Mass Balance Convergency of Each Scheme about 1400 Cells Problem on Scalar Machine (Time Step=600)

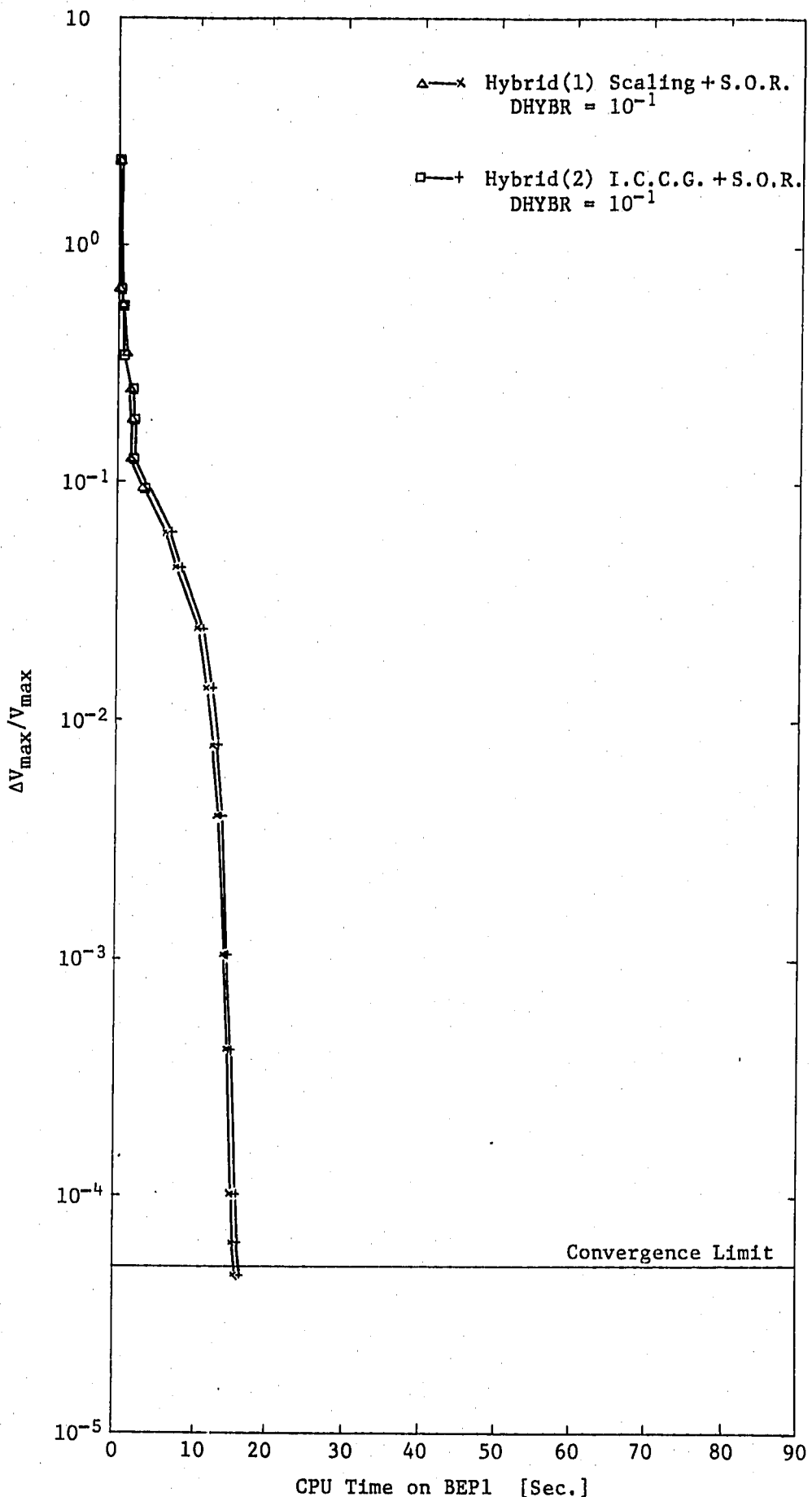


Figure 3.16 Effect of Hybrid Schemes on 126 Cells Problem

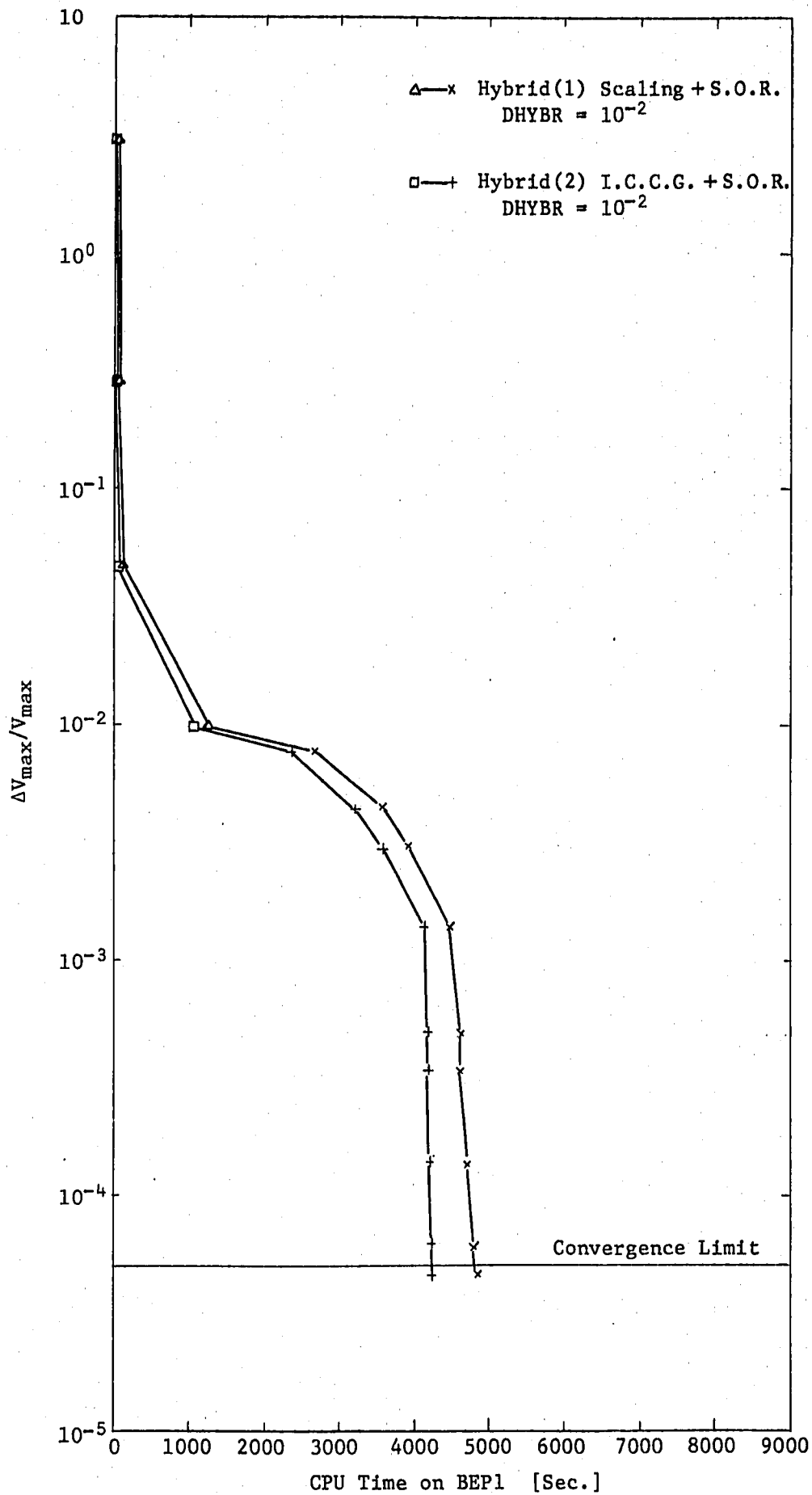


Figure 3.17 Effect of Hybrid Schemes on 1400 Cells Problem

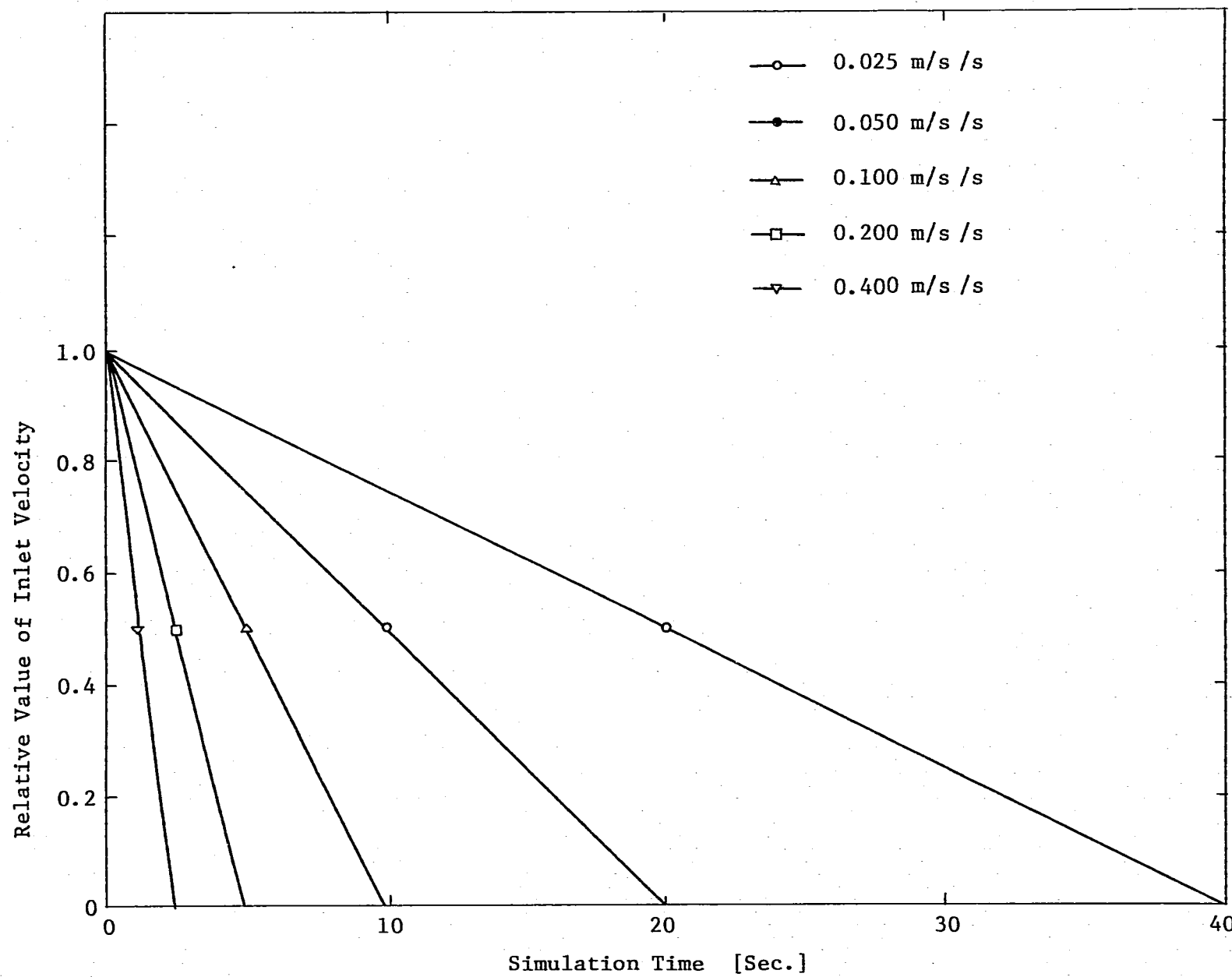


Figure 3.18 Velocity Transient at Inlet of 126 Cells Model

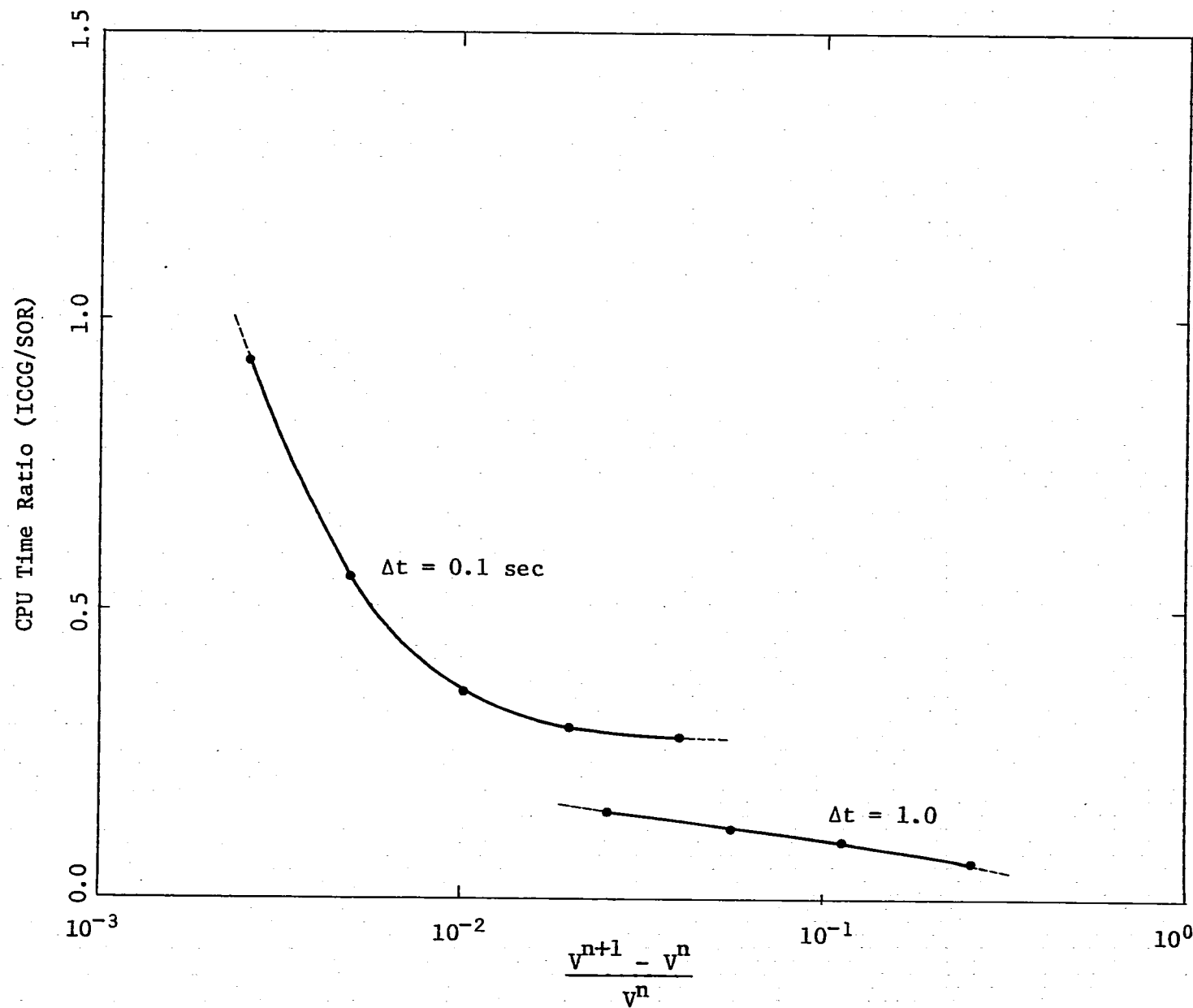


Fig. 3.19 CPU Time Ratio vs. Velocity Change Ratio

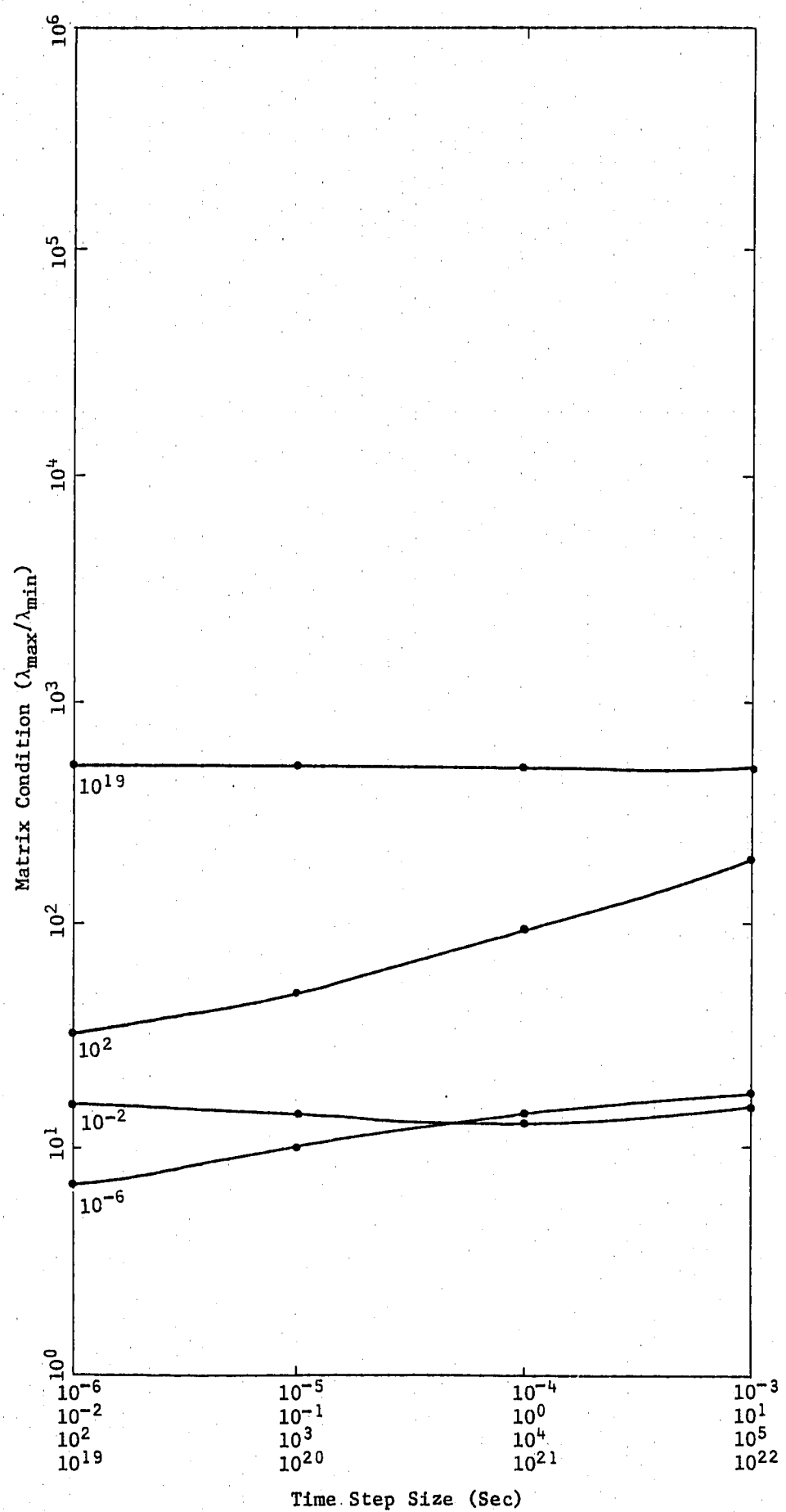


Fig. 3.20 Time Step Size Δt Dependency of Matrix Condition

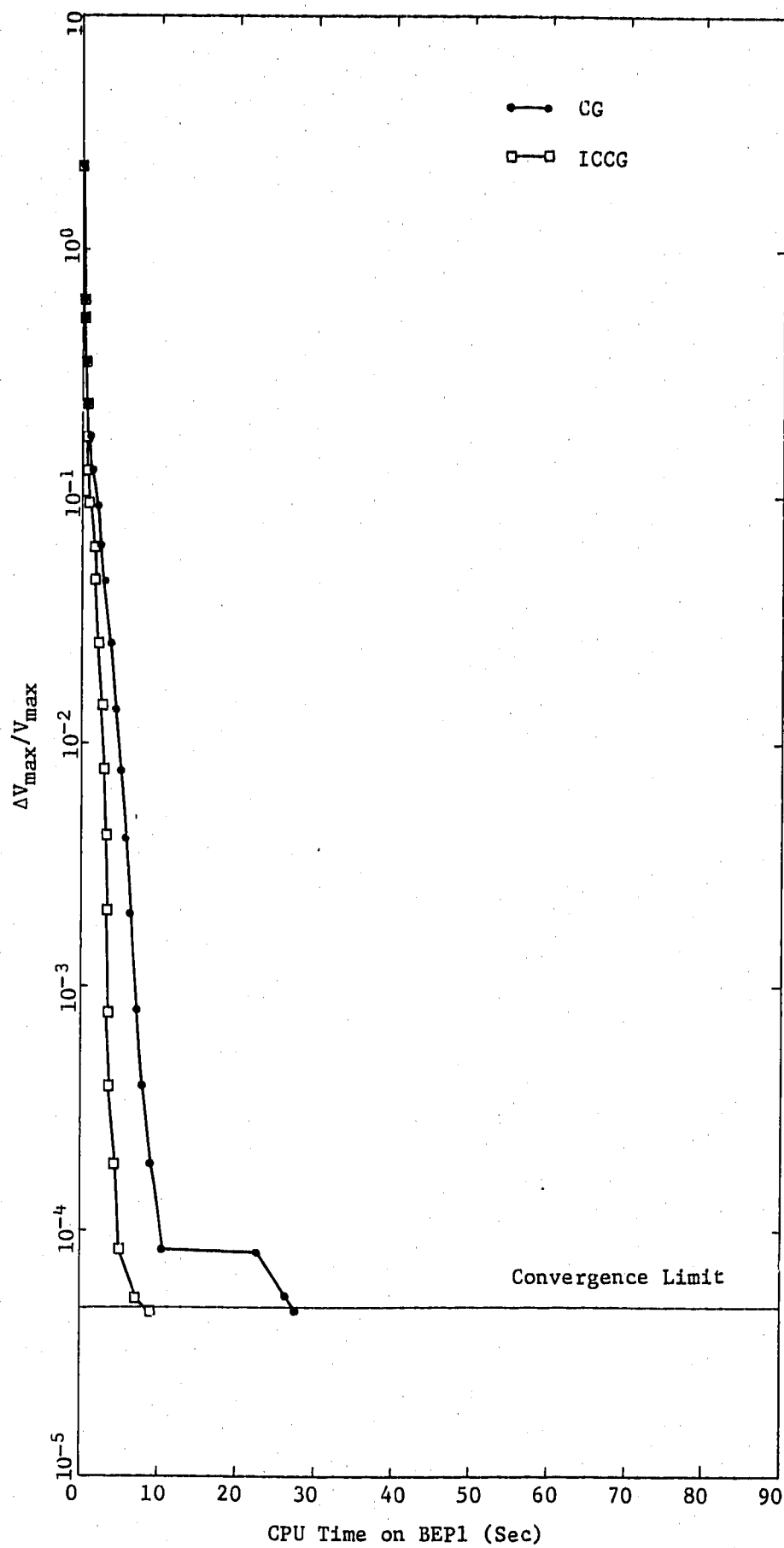


Fig. 3.21 Comparison of Convergencys of Each Scheme about 120 Cells Problem on Vector Machine

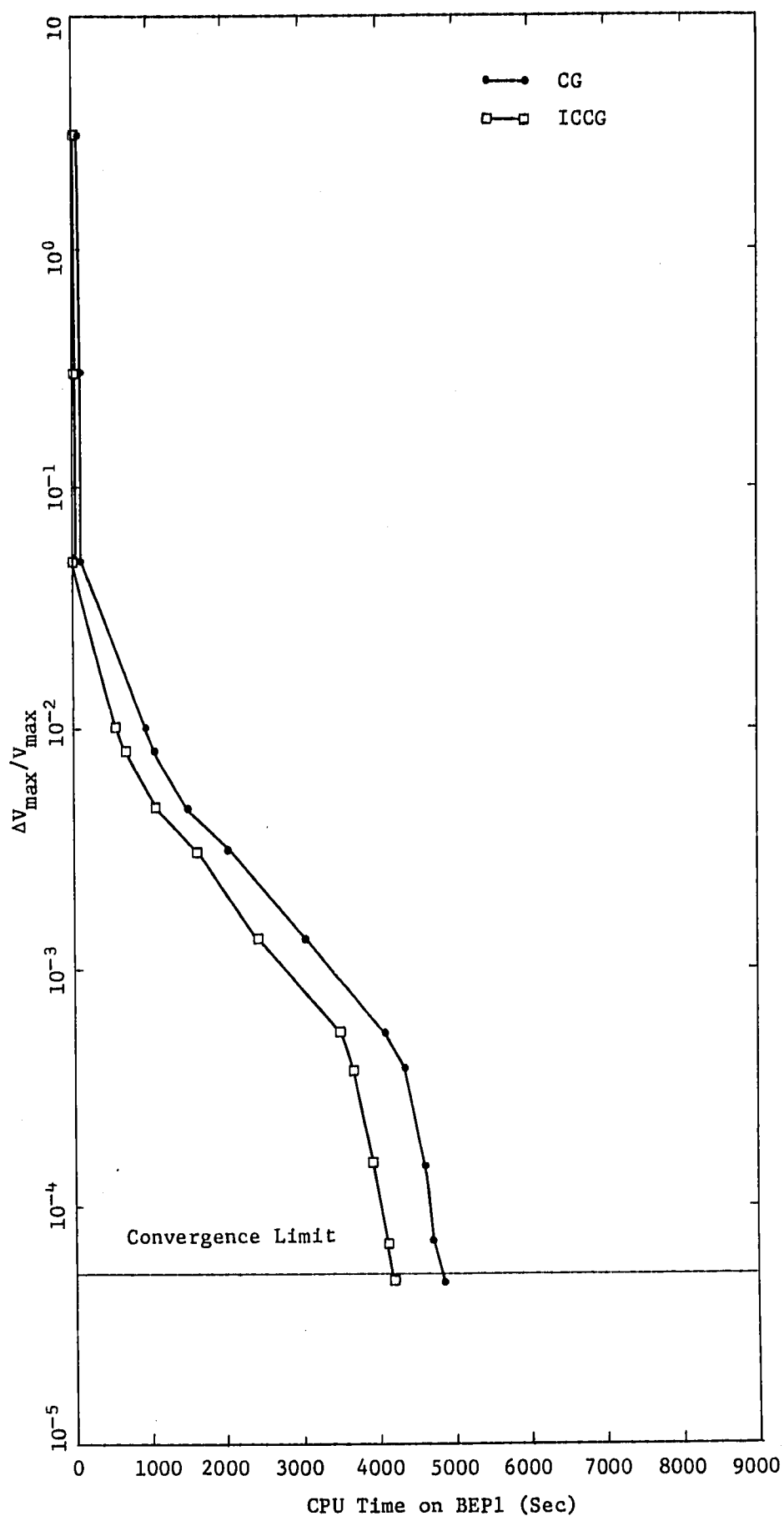


Fig. 3.22 Comparison of Convergency of Each Scheme about 1400 Cells Problem on Vector Machine

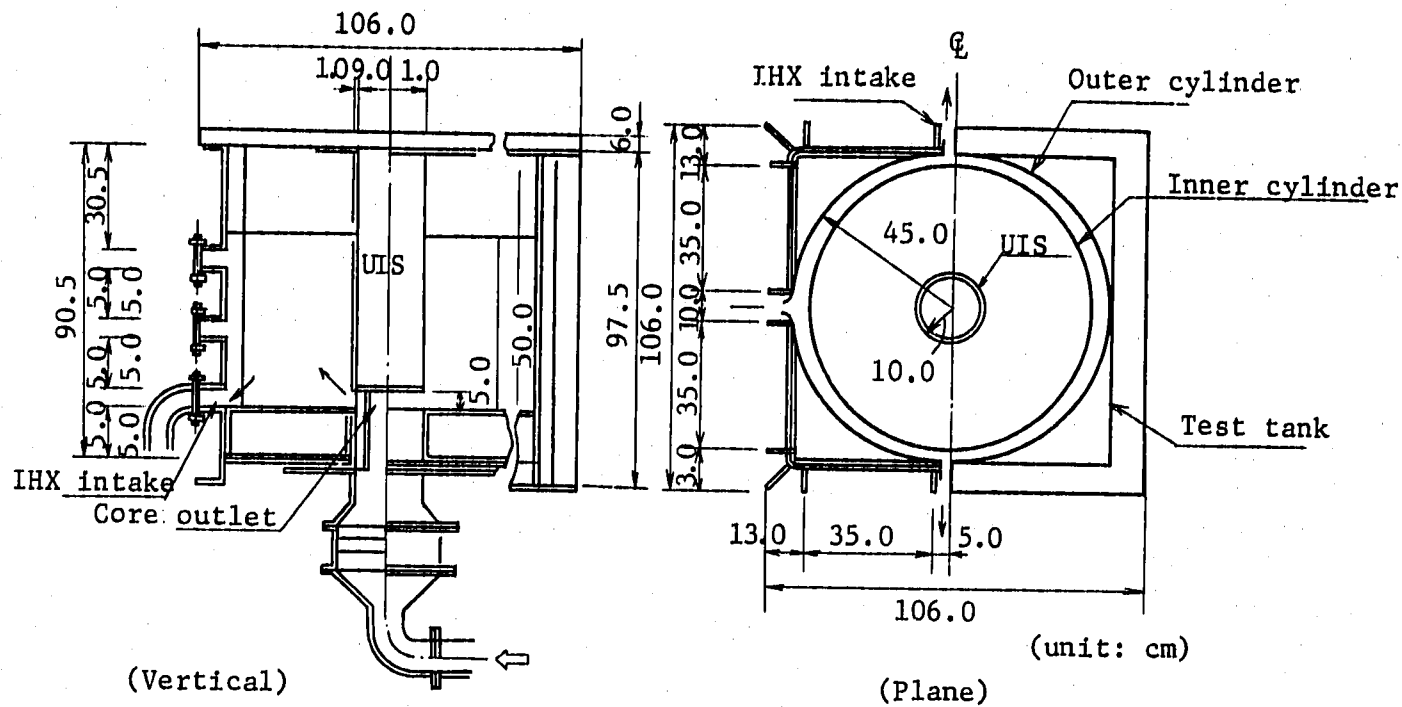


Fig. 3.23 Schematic Figure of Water Test Section

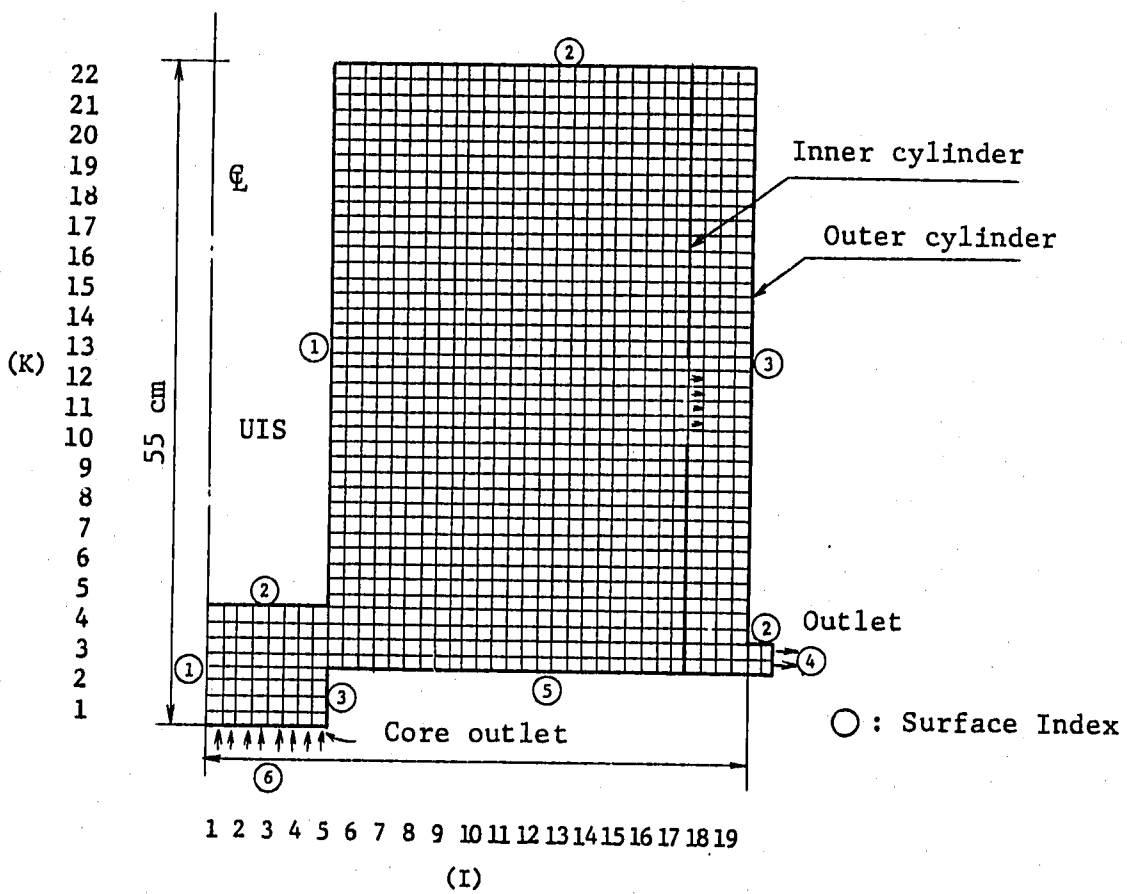


Fig. 3.24 Computational Cell Partitioning of the Test Plenum

```

=====
# THIS DATA IS FOR RUN NO11 OF CRIEPI IN PRIMARY VESSEL WATER THERMAL
# HYDRAULIC EXPERIMENTS THIS RUN IS 2 D TEST VESSEL STEADY
#
# << PRECONDITIONED CONJUGATE GRADIENT SCHEME FOR MOMENTUM & ENERGY >>
#
##### CR11 DETAIL POROSITIES AND PERMIABILITIES #####
#
CREATE : MAR.01.'85
MODIFY : MAR.01.'85
RUN : MAR.04.'85
D.S.N. : COMMIX1A.PCG2.LOAD
M.N. : PCGHOEN4
#
=====
&GEOM IGEOM=-1,NL1=84, NH1=297,ISYMCH=3,IFITEN=3, IFREB=594,
IFRES=1, IMAX=19, JMAX=1, KMAX=22, HSURF=6,
DX=19.0.025 ,DY=6.283210,DZ=22*0.025
,XNORML= 1. ,0. ,-1. ,-1. ,0. ,0.
,YNORML= 0. ,0. ,0. ,0. ,0. ,0.
,ZNORML= 0. ,-1. ,0. ,0. ,1. ,1.,
ITURKE= 0,IFPCG=-5,IFPCG2=0,LMPRNT=0,
&END
REG -1.      1   1   1   1   1   4   1
REG -1.      5   5   1   1   5   22  1
REG -1.      1   4   1   1   4   4   2
REG -1.      5   18  1   1   22  22  2
REG -1.      19  19  1   1   3   3   2
REG -1.      4   4   1   1   1   2   3
REG -1.      18  18  1   1   4   22  3
REG -1.      19  19  1   1   3   3   4
REG -1.      5   19  1   1   3   3   5
REG -1.      1   2   1   1   1   1   6
REG 81.93    -4  3   3   1   1   1   6
REG 68.01    -4  4   4   1   1   1   6
END
&DATA IFENER=0 ,NTHCON=0,NTHMAX= 2, IDTIME=0,DT(1)=1.0,IT=10,
KFLOW= -3, -3, -3, -5, -3, 1,
KTEMP= 400, 400, 400, 400, 400, 1,
TEMPO= 62.,GRAVZ= -9.807,TEMP(6)=62.,VELOC(6)=0.7003,
NREBRT=3, ITKBUG=0,
NREBH = 16, 240, 40,
NREBX = 2, 2, 1,
IREBIT= 5,
ITMCG=300,ITHAXP=99,
DCONV2=1.0E-5,DCONV3=1.0E-5,
CINK1=6.62E-5,CINK2=6.62E-5,KEITER=1,NTPLT=-10,
CINE1=5617.69,CINE2=5617.69,
NTPRNT=1,2,-9999,
NTHPR =01201, 03201, 04201, 05201, 09201,
&END
REBH  1   1   4   1   1   1   4
REBX  1   4   4   1   1   3   4
REBH  .2   5   16  1   1   3   22
REBX  2   16  16  1   1   11  12
REBH  3   17  18  1   1   3   22
REBX  3   18  18  1   1   3   3
END
END
AL'  0.8345  3   3   1   1   1   4
ALZ  0.8345  3   3   1   1   1   3
ALX  0.8621  3   3   1   1   1   4
AL  0.4948  4   4   1   1   1   2
ALZ  0.4948  4   4   1   1   1   2
AL  0.9291  4   4   1   1   3   4
ALZ  0.9291  4   4   1   1   3   3
ALX  0.7931  2   2   1   1   1   4
ALX  0.          16  16  1   1   3   10
ALX  0.          16  16  1   1   13  22
END

```

Figure 3.25 Input Data for Steady-State Run of Water Test

```
THIS DATA IS FOR RUN NO11 OF CRIEPI IN PRIMARY VESSEL WATER THERMAL
HYDRAULIC EXPERIMENTS THIS RUN IS 2 D TEST VESSEL TRANSIENT
##### CR11 DETAIL POROSITIES AND PERMIABILITIES #####
&GEOM  IFRES=3,IFPCG=-5,IFPCG2= 1,
&END
&DATA  ISTATE=2,      NTHMAX=1000,DT=.1,
        IFENER=1,IT=99,      TIHAX=3000.,
        KFLOW(6)=101,KTEMP(6)=102,
        TVAL=0.,2.,2.,3.,3.,10.,10.,30.,
        0.,1.,1.,2.,2.,3.,3.,6.,30.,30.,30.,
        FVAL=1...639,.639,.569,.569,.24,.24,.24,
        1...40645,.40645,.2258,-.2258,-.1774,-.1774,
        -.16129,-.16129,-.15484,-.15484,-.15484,
        NEND=8,12,
        NTPLOT=-10,
        NTPRNT=1,50,100,160,200,240,270,
        300,600,1200,1800,2400,3000,
&END
END
END
```

Figure 3.26 Input Data for Transient Run of Water Test

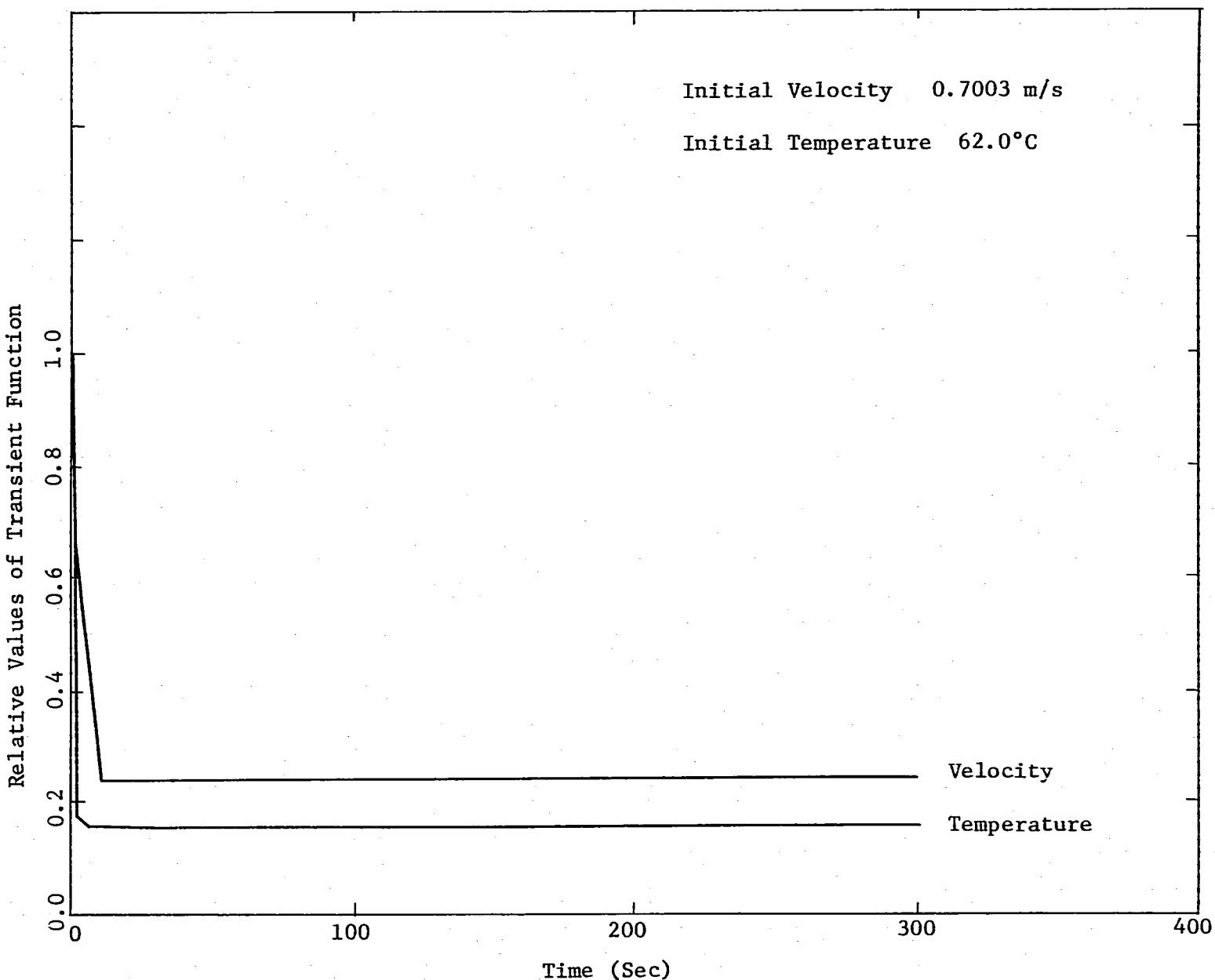


Fig. 3.27 Velocity and Temperature Transient at Inlet of the Test

— 95 —

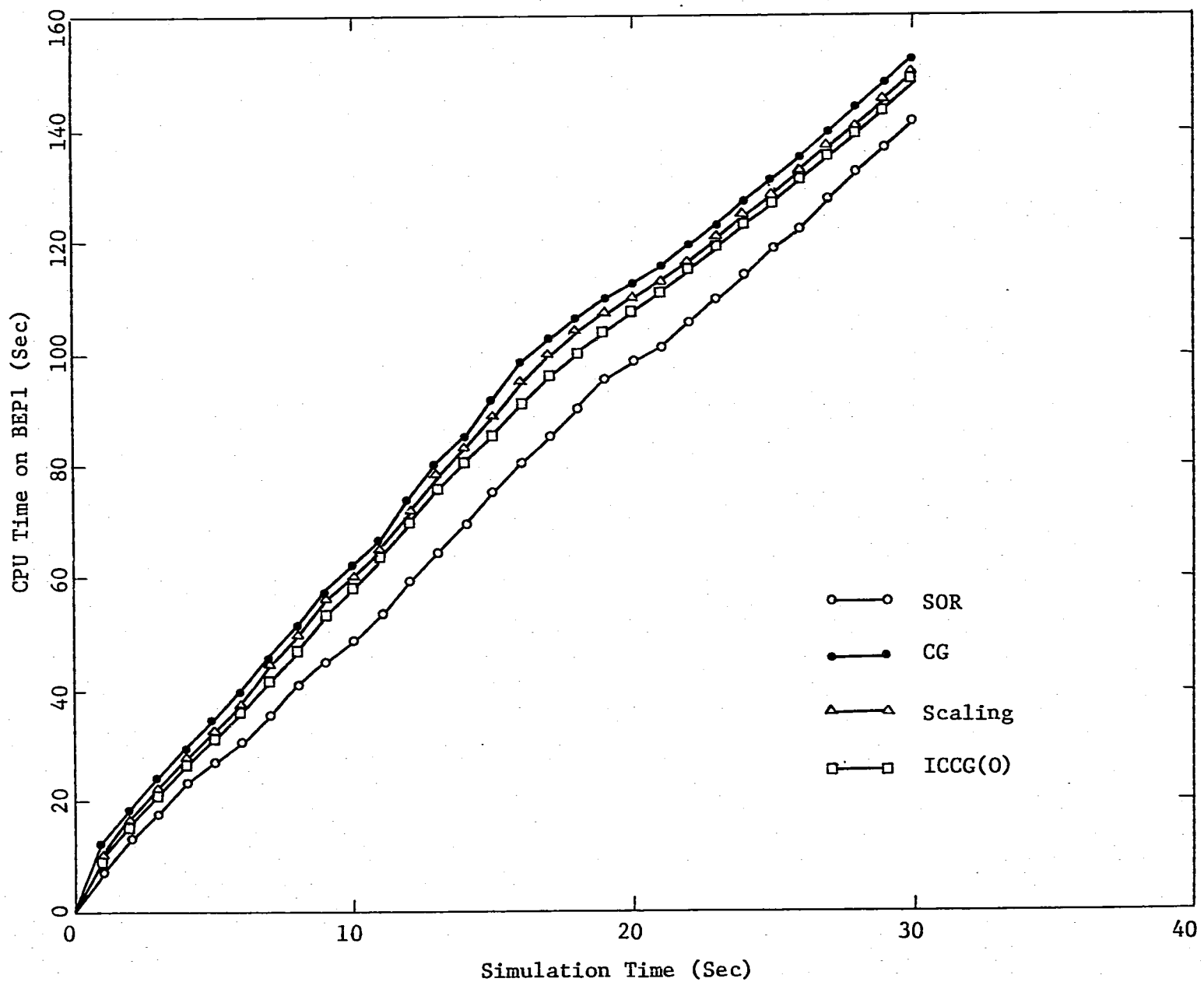


Fig. 3.28 Comparison of Processing Time of Each Scheme on Scalar Machine

- 99 -

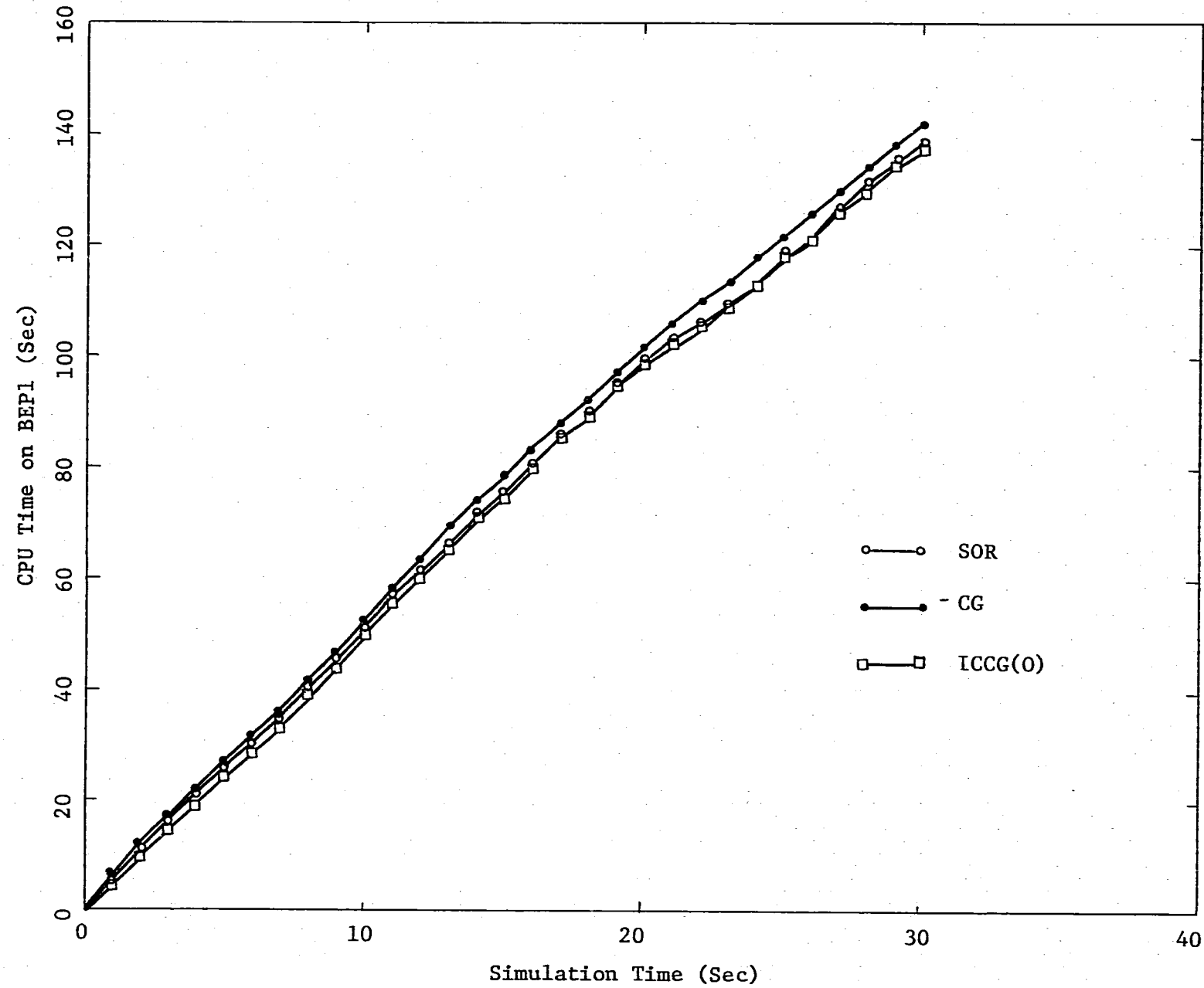


Fig. 3.29 Comparison of Processing Time of Each Scheme on Vector Machine

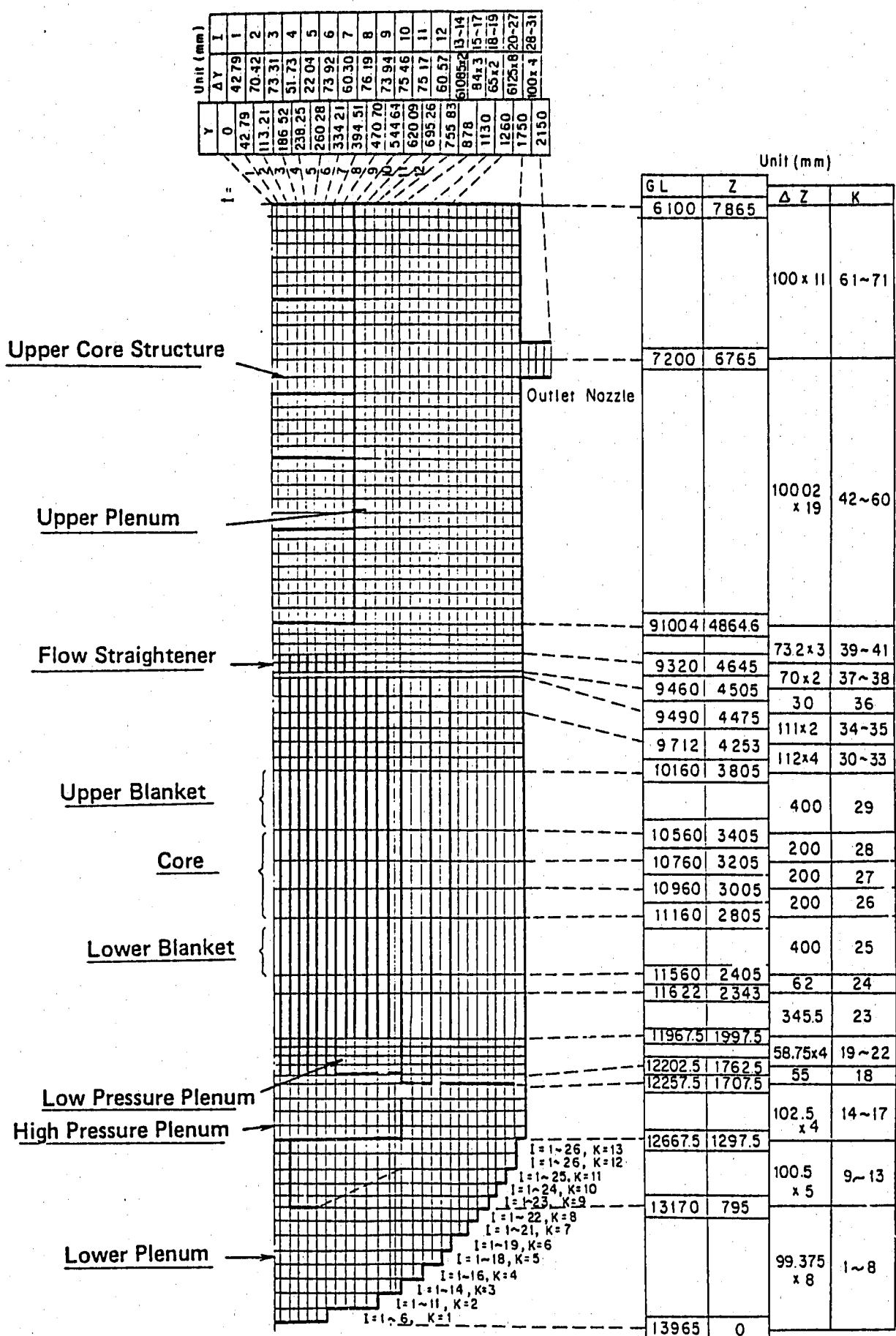


Figure 3.30 Cell Partitioning for Two-Dimensional Analyses of JOYO MK-I Natural Circulation Test

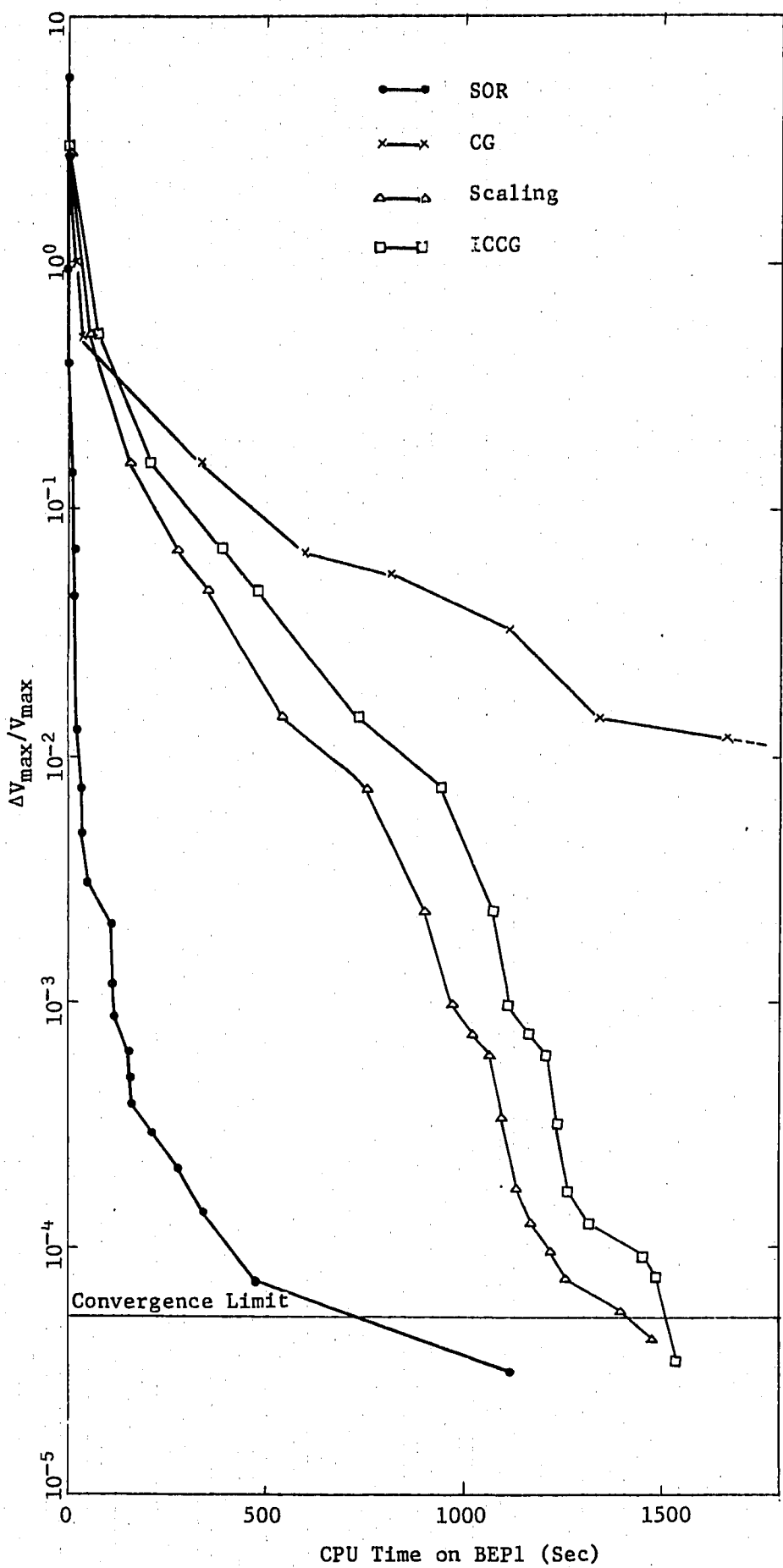


Fig. 3.31 Comparison of Convergencys of Each Scheme about

```

C/ 00010069
C/ 00020069
C/ 00030069
C/ P. C. G. ITERATION SCHEME 00040069
C/ 00050069
C/ NOV.08.'84 T.MURAMATSU. 00060069
C/ 00070069
C/ -----
C/ 00080069
C/ 00090069
C/ P.C.G. OPTION FLAG LIST (IFPCG IN NAMELIST /GEOM/) 00100069
C/ 00110069
C/ 1. S.O.R. SCHEME 1 0 00120069
C/ 2. C.G. SCHEME 1 1 00130069
C/ 3. DEBUGGING OPTION 1 2 00140069
C/ 4. EIGENVALUE CALCULATION 1 -1 00150069
C/ 5. RESTART OPTION 1 -2 00160069
C/ 6. SCALING OPTION 1 -3 00170069
C/ 7. L-D-U DECOMPOSITION OPTION 1 -4 00180069
C/ 8. I.C.C.G. (0) SCHEME 1 -5 00190069
C/ 9. M.I.C.C.G. (0) SCHEME 1 -6 00200069
C/ 10. I.C.C.G. (1.1) SCHEME 1 -7 00210069
C/ 11. I.C.C.G. (1.2) SCHEME 1 -8 00220069
C/ 12. I.C.C.G. (1.3) SCHEME 1 -9 00230069
C/ 13. I.C.C.G. (2.1) SCHEME 1 -10 00240069
C/ 00250069
C/ -----
C/ 00260069
C/ 00270069
C/ INPUT PARAMETER LIST IN NAMELIST /DATA/ 00280069
C/ 00290069
C/ ITHCG : MAXIMUM ITERATION NUMBER (NN1) 00300069
C/ DCNV2 : CONVERGENCE LIMIT (1.0E-06) 00310069
C/ IHAT2 : RESTART CYCLE (N) 00320069
C/ 00330069
C/ -----
C/ ARRAYS LIST 00340069
C/ 00350069
C/ 00360069
C/ 00370069
C/ AA : COEFFICIENT MATRIX 00380069
C/ (N,14)
C/ 1 1_ INDEX 00390069
C/ 1_ CONTENTS 00400069
C/ BB : STORAGE AREA FOR L 00410069
C/ (N,14)
C/ AAT : STORAGE AREA FOR L(T) 00420069
C/ (N,14)
C/ BBT : WORK AREA 00430069
C/ (N,14)
C/ XX : UNKNOWN VALUES 00440069
C/ (N)
C/ S1 : WORK AREA 00450069
C/ (N)
C/ S2 : AA = PP 00460069
C/ (N)
C/ RR : RESIDUAL 00470069
C/ (N)
C/ PP : DIRECTION FOR CORRECTION 00480069
C/ (N)
C/ ALPH : PIVOT 00490069
C/ (N)
C/ BETA : NOT USE 00500069
C/ (N)
C/ BTO : CONSTANT VECTOR 00510069
C/ (N)
C/ P : UNKNOWN VALUE FOR MAIN PROGRAM 00520069
C/ (N)
C/ 00530069
C/ 00540069
C/ 00550069
C/ 00560069
C/ 00570069
C/ 00580069
C/ 00590069
C/ 00600069
C/ 00610069
C/ 00620069
C/ 00630069
C/ 00640069
C/ 00650069
C/ 00660069
C/ 00670069
C/ 00680069
C/ 00690069
C/ 00700069
C/ -----
C/ 00710069
C/ 00720069
C/ SUBROUTINE PCGPACK(IFPCG,ITHCG,DCNV2,IHAT2, 00730068
C/ 1 AA,BB,AAT,BBT,P,BTO,N) 00740068
C/ 00750066
C/ DIMENSION AA(N,14),BB(N,14),AAT(N,14),BBT(N),XX(N),S1(N),S2(N), 00760066
C/ 1 RR(N),PP(N),ALPH(N),BETA(N),BTO(N),P(N) 00770067
C/ 00780066

```

Figure D.1 Source List of P.C.G. Solver (1/9)

```

        IF(IFPCG.NE.0) WRITE(6,898) IFPCG          00790005
        IF(IFPCG.EQ.0) WRITE(6,897) IFPCG          00800005
898 FORMAT(1H ,'. . SOLVER --> PCG METHOD ( IFPCG= ',15,' ) .')
897 FORMAT(1H ,'. . SOLVER --> SOR METHOD ( IFPCG= ',15,' ) .')
        IF(IFPCG.EQ.0) GO TO 99                  00810015
        IF(IFPCG.EQ.0) GO TO 99                  00820015
        IF(IFPCG.EQ.0) GO TO 99                  00830003
C----- EIGENVALUE CALCULATION OPTION START --00850015
C----- IF(IFPCG.NE.-1) GO TO 3074            00840037
C
DO 9135 I=1,N                           00860015
DO 9135 J=1,14                         00870015
9135 BB(I,J)=AA(I,J)                   00880067
C
DO 9136 KAISU=1,50                     00890052
ELMAX=0.0                               00900052
DO 9137 I=1,N                           00910052
DO 9137 J=1,7                           00920052
IBUF=BB(I,J+7)                         00930052
IF(IBUF.LE.1) GO TO 9137               00940067
IF(BB(I,J).LE.ELMAX) GO TO 9137       00950052
ELMAX=BB(I,J)                          00960052
MAXI=I                                 00970052
MAXJ=J                                 00980052
9137 CONTINUE                           00990052
C
IF(ABS(BB(I,J)).LT.0.00001) GO TO 9138 01000052
C
DO 9139 K=1,7                           01010052
IBUF=BB(I,K+7)                         01020052
IF(IBUF.EQ.1) GO TO 9140               01030052
9139 CONTINUE                           01040052
BPP=0.0                                01050052
GO TO 9141                           01060052
9140 BPP=BB(I,K)                      01070052
9141 CONTINUE                           01080052
DO 9142 K=1,7                           01090052
IBUF=BB(J,K+7)                         01100052
IF(IBUF.EQ.J) GO TO 9143               01110052
9142 CONTINUE                           01120052
BQQ=0.0                                01130052
GO TO 9144                           01140052
9143 BQQ=BB(J,K)                      01150052
9144 CONTINUE                           01160052
C
RESI=2.0*BB(I,J)/(BPP-BQQ)             01170052
TEST=0.5*ATAN(RESI)                   01180052
C
SEST=SIN(TEST)                        01190052
CEST=COS(TEST)                        01200052
C
DO 9145 J2=1,7                         01210052
BPJ=BB(I,J2)                          01220052
BQJ=BB(J,J2)                          01230052
BB(I,J2)=BPJ*CEST+BQJ*SEST           01240052
BB(J,J2)=-BPJ*SEST+BQJ*CEST         01250052
9145 CONTINUE                           01260052
C
DO 9146 I2=1,N                         01270052
DO 9150 J2=1,7                         01280052
IBUF=BB(I2,J2+7)                      01290052
IF(IBUF.EQ.1) GO TO 9151               01300052
IF(IBUF.EQ.J) GO TO 9151               01310052
9150 CONTINUE                           01320052
BIP=BB(I2,I)                          01330052
BIQ=BB(I2,J)                          01340052
BB(I2,I)=BIP*CEST+BIQ*SEST           01350052
BB(I2,J)=-BIP*CEST+BIQ*CEST         01360067
9146 CONTINUE                           01370053
C
9136 CONTINUE                           01380053
C
9138 EIHAM=BB(I,1)                     01390053
EIMIN=BB(I,1)                          01400053
DO 9147 I3=1,N                         01410053
DO 9147 J3=1,7                         01420053
IBUF=BB(I3,J3+7)                      01430053

```

Figure D.1 (Continued) (2/9)

```

        IF(1BUF.NE.13) GO TO 9147          01570052
        WRITE(6,9149) BB(I3,J3)           01580052
        IF(BB(I3,J3).GT.EIMAX) EIMAX=BB(I3,J3) 01590052
        IF(BB(I3,J3).LT.EIMIN) EIMIN=BB(I3,J3) 01600052
9147 CONTINUE                           01610052
C                                         01620052
        CONDI=EIMAX/EIMIN                01630052
C                                         01640052
        WRITE(6,9148) CONDI              01650052
9148 FORMAT('      CONDITION NUMBER OF COEFFICIENT MATRIX=',E16.6,/)
C                                         01660054
C                                         01670052
9149 FORMAT('  EIGENVALUE=',E16.6,/)
C                                         01680052
C                                         01690052
3074 CONTINUE                           01700052
C----- EIGENVALUE CALCULATION OPTION END --- 01710015
C                                         01720069
C----- PIVOT SCALING OPTION START ----- 01730015
        IF(IFPCG.NE.-2.AND.IFPCG.NE.-3.AND.
1 IFPCG.NE.-24.AND.IFPCG.NE.-34) GO TO 3060 01740015
C                                         01750015
C                                         01760069
C                                         01770015
C----- PIVOT SCALING TO COEFFICIENT MATRIX & CONSTANT VECTOR 01780015
C                                         01790015
C                                         AA : COEFFICIENT MATRIX 01800015
C                                         BTO : CONSTANT VECTOR 01810015
C                                         ALPH : STORE AREA FOR PIVOT 01820015
C                                         01830015
C                                         IFPCG = -3 : COMPLETE PIVOTING OPERATION 01840037
C                                         01850037
        BUF=0.0                           01860037
        DO 3050 K=1,N                     01870067
        DO 3052 I=1,7                     01880037
        IF(AA(K,I).LE.0.0) GO TO 3052   01890037
        BUF=SQRT(ABS(AA(K,I)))         01900037
        GO TO 3053                       01910037
3052 CONTINUE                           01920037
3053 CONTINUE                           01930037
C                                         01940037
        IF(BUF.EQ.0.0) WRITE(6,3081) K   01950037
3081 FORMAT(' ***** PIVOT SELECTION ERROR ON ROW ',',16,' *****') 01960037
        IF(BUF.EQ.0.0) WRITE(6,3082) (AA(K,I),I=1,7) 01970037
3082 FORMAT(1H ,5X,7E16.6)             01980037
C                                         01990037
        DO 3051 L=1,7                   02000037
        AA(K,L)=AA(K,L)/BUF           02010037
        INDS=AA(K,L+7)                02020037
        DO 3076 J=1,7                 02030037
        INDU=AA(INDS,J+7)            02040037
        IF(INDU.NE.K) GO TO 3076     02050037
        INDT=J                         02060037
        GO TO 3077                   02070037
3076 CONTINUE                           02080037
        GO TO 3051                   02090037
3077 CONTINUE                           02100037
        AA(INDS,INDT)=AA(INDS,INDT)/BUF 02110037
3051 CONTINUE                           02120037
        BTO(K)=BTO(K)/BUF           02130037
3050 ALPH(K)=BUF                      02140037
3060 CONTINUE                           02150067
C----- PIVOT SCALING OPTION END ----- 02160069
C                                         02170002
C----- I.C.C.G. OPTION START ----- 02180037
        IF(IFPCG.NE.-5) GO TO 7075    02190002
C                                         02200027
        DO 7398 I=1,N                 02210067
        DO 7398 J=1,14                02220037
        AAT(I,J)=0.0                  02230037
7398 BB(I,J)=AA(I,J)                  02240037
C                                         02250037
        BB(1,1)=SQRT(BB(1,1))       02260037
C                                         02270037
        DO 7300 J=2,7                 02280037
        IF(BB(1,J).EQ.0.0) GO TO 7300 02290037
        BB(1,J)=BB(1,J)/BB(1,1)      02300037
7300 CONTINUE                           02310037
C                                         02320037
        DO 7301 I=2,N                 02330067
        DO 7307 I3=1,7                02340037

```

Figure D.1 (Continued) (3/9)

```

IP=BB(1,I3+7)          02350013
IF(IP.NE.1) GO TO 7307 02360013
S=BB(I,13)              02370037
IS2=BB(I,13+7)          02380037
C           WRITE(6,9127) I,S,IS2          02390054
9127    FORMAT(' I=',16,' S=',E16.6,', IS2=',16) 02400051
IF(IS2.NE.1) WRITE(6,9010) I,IS2          02410006
FORMAT(' --- PIVOT SELECTION ERROR I=',15,', IS2=',15,', ----') 02420006
IF(S.EQ.0.0) GO TO 7301          02430014
GO TO 7308              02440020
7307    CONTINUE              02450037
IS2=9999                02460013
WRITE(6,9010) I,IS2          02470013
7308    CONTINUE              02480037
C           II=I-1               02490037
DO 7302 K=1,II            02500037
DO 7309 K2=8,14            02510037
IS3=BB(K,K2)              02520037
IF(IS3.EQ.IS2) GO TO 7310  02530037
7309    CONTINUE              02540037
C           WRITE(6,9015) I,K,K2          02550037
9015    FORMAT(' ***** I=',15,', K=',15,', K2=',E16.6) 02560023
GO TO 7302              02570019
7310    S=S-BB(K,K2-7)**2        02580037
C           WRITE(6,9128) BB(K,K2-7)      02590037
9128    FORMAT('          BB(K,K2-7)=' ,E16.6) 02600054
IF(S.LE.0.0) WRITE(6,9011) K,IS3,S,BB(K,K2-7) 02610051
9011    FORMAT(' -- K=',15,', IS3=',15,', S=',E16.6,' BB(K,K2-7)=' ,E16.6) 02620006
7302    CONTINUE              02630006
IF(S.LT.0.0) S=1.0          02640037
BB(I,I3)=SQRT(S)          02650008
C           IF(I.EQ.N) GO TO 9009      02660037
C           III=I+1               02670006
DO 7303 J=8,14            02680067
IS4=BB(I,J)              02690037
IF(IS4.LT.III) GO TO 7303  02700037
SS2=BB(I,J-7)              02710037
IS4=BB(I,J)              02720037
DO 7304 K=1,II            02730037
DO 7311 I2=8,14            02740026
IBB1=BB(K,I2)              02750027
IF(IBB1.NE.1) GO TO 7311  02760037
BB1=BB(K,I2-7)              02770037
GO TO 7312              02780037
7311    CONTINUE              02790037
BB1=0.0                  02800037
7312    CONTINUE              02810037
C           DO 7313 J2=8,14          02820037
IBB2=BB(K,J2)              02830009
IF(IBB2.NE.IS4) GO TO 7313  02840037
BB2=BB(K,J2-7)              02850037
GO TO 7314              02860037
7313    CONTINUE              02870037
BB2=0.0                  02880027
7314    CONTINUE              02890011
C           SS2=SS2-BB1*BB2          02900037
7304    CONTINUE              02910037
C           BB(I,J-7)=SS2/BB(I,I3)  02920009
7303    CONTINUE              02930037
7301 CONTINUE              02940037
9009 CONTINUE              02950026
C           DO 7315 I=1,N          02960037
DO 7316 J=1,7              02970037
IA=BB(I,J+7)              02980026
IF(IA.GE.1) GO TO 7316          02990037
BB(I,J)=0.0                03000037
BB(I,J+7)=0.0              03010006
7316    CONTINUE              03020037
7315 CONTINUE              03030037
C           DO 7315 I=1,N          03040067
DO 7316 J=1,7              03050037
IA=BB(I,J+7)              03060037
IF(IA.GE.1) GO TO 7316          03070037
BB(I,J)=0.0                03080037
BB(I,J+7)=0.0              03090037
7316    CONTINUE              03100037
7315 CONTINUE              03110037
C           ----- L(T) -----  03120037

```

Figure D.1 (Continued) (4/9)

```

DO 7317 I=1,N                               03130067
DO 7318 J=1,7                               03140037
  IA1=BB(I,J+7)
  IF(IA1.EQ.0) GO TO 7318
  DO 7319 J2=1,7
    IF(AAT(IA1,J2).EQ.0.0) GO TO 7320
7319  CONTINUE                               03150037
  GO TO 7318                               03160037
7320  CONTINUE                               03170037
  AAT(IA1,J2)=BB(I,J)
  AAT(IA1,J2+7)=1
7318  CONTINUE                               03180037
7317  CONTINUE                               03190037
C      ----- L -----
C
8001 FORMAT(' ----- DECOMPOSED MATRIX (L-T) -----')
8003 FORMAT(' ----- DECOMPOSED MATRIX (L) -----')
7388 FORMAT(' ***** ORIGINAL COMPRESSED MATRIX *****')
7384 FORMAT(' I='',18)
7385 FORMAT(1H ,5X,7E15.6)
7075 CONTINUE                               03200037
C
C----- 1.C.C.G. OPTION END -----
C
C      *****
C      CONJUGATE GRADIENT ROUTINE START
C      *****
C
ITERCG=0                                     03300069
IXX1=0                                         03310069
DO 4000 IXX=1,N                               03320069
  XX(IXX)=P(IXX)
  IF(IFPCG.EQ.-3) XX(IXX)=P(IXX)=ALPH(IXX)
4000  CONTINUE                               03330002
DO 4001 I=1,N                               03340037
  W=BTO(I)
  DO 4002 J=1,7
    ICEL=AA(I,J+7)
    IF(ICEL.EQ.0) GO TO 4001
    IF(AA(I,J).EQ.0.0.OR.XX(ICEL).EQ.0.0) GO TO 4002
    W=W-AA(I,J)=XX(ICEL)
4002  CONTINUE                               03350037
4001  RR(I)=W                               03360037
  DO 4003 I=1,N                               03370003
  4003  PP(I)=RR(I)
C
  IF(IFPCG.NE.-5) GO TO 7023
    BBT(I)=RR(I)/AAT(1,1)
    DO 5001 I=2,N                               03380065
      DO 5002 J=1,7
        J2=AAT(I,J+7)
        IF(J2.EQ.1) GO TO 5003
      5002  CONTINUE                               03390065
      GO TO 5004                               03400065
5003  PIVOT=AAT(I,J)
5004  IF(PIVOT.EQ.0.0) PIVOT=1.0
9006  FORMAT(1H ,5X,E16.6)
  W=RR(I)
  DO 5006 K2=1,7
    K3=AAT(I,K2+7)
    IF(K3.GE.1) GO TO 5007
    IF(AAT(I,K2).EQ.0.0.OR.BBT(K3).EQ.0.0) GO TO 5006
    W=W-AAT(I,K2)=BBT(K3)
5006  CONTINUE                               03410065
5007  W=W/PIVOT
  BBT(I)=W
5001  CONTINUE                               03420065
C
C      ----- L V = R -----
C
DO 9190 JE=1,7                               03430002
  IBUF=BB(N,JE+7)
  IF(IBUF.EQ.N) GO TO 9191
9190  CONTINUE                               03440037
  GO TO 9197
  PP(N)=BBT(N)/BB(N,JE)
9191

```

Figure D.1 (Continued) (5/9)

```

DO 9192 IE=N-1,1,-1          03910067
DO 9193 JB=1,7               03920056
IBUF=BB(IE,JB+7)             03930056
IF(IBUF.EQ.IE) GO TO 9194   03940056
9193  CONTINUE                03950056
GO TO 9195                  03960056
9194  PIVOT=BB(IE,JB)         03970056
9195  IF(PIVOT.EQ.0.0) PIVOT=1.0 03980056
W=BBT(IE)                   03990056
DO 9196 JE2=1,7              04000056
IBUF=BB(IE,JE2+7)            04010056
IF(IBUF.LE.IE) GO TO 9196   04020056
IF(BB(IE,JE2).EQ.0.0.OR.PP(IBUF).EQ.0.0) GO TO 9196 04030056
V=W-BB(IE,JE2)*PP(IBUF)    04040056
9196  CONTINUE                04050056
W=W/PIVOT                   04060056
PP(IE)=W                     04070056
9192  CONTINUE                04080056
9197  CONTINUE                04090056
C                               04100055
C                               ----- L(T) U = V -----
C 7023 CONTINUE                04110037
C                               04120037
C ***** CG ( CONJUGATE GRADIENT ) LOOP START **** 04130037
C ***** CG ( CONJUGATE GRADIENT ) LOOP START **** 04140065
C ***** CG ( CONJUGATE GRADIENT ) LOOP START **** 04150065
C ***** CG ( CONJUGATE GRADIENT ) LOOP START **** 04160065
C ***** CG ( CONJUGATE GRADIENT ) LOOP START **** 04170057
DLMAX=0.0                     04180015
4100 CONTINUE                 04190015
ITERCG=ITERCG+1               04200015
DO 4004 I=1,N                 04210067
W=0.0                          04220003
DO 4005 J=1,7                 04230037
ICEL=AA(1,J+7)                04240037
IF(ICEL.EQ.0) GO TO 4004     04250037
IF(AA(1,J).EQ.0.0.OR.PP(ICEL).EQ.0.0) GO TO 4005 04260033
W=W+AA(1,J)*PP(ICEL)        04270000
4005 CONTINUE                 04280015
4004 S2(I)=W                  04290015
C                               04300037
IF(IFPCG.NE.-5) GO TO 7047   04310037
BBT(I)=RR(I)/AT(1,1)          04320037
DO 5015 I=2,N                 04330067
DO 5016 J=1,7                 04340037
J2=AAT(1,J+7)                04350037
IF(J2.EQ.1) GO TO 5017       04360037
5016  CONTINUE                 04370037
GO TO 5018                   04380037
5017  PIVOT=AAT(1,J)          04390037
5018  IF(PIVOT.EQ.0.0) PIVOT=1.0 04400037
W=RR(I)                      04410004
DO 5020 K2=1,7                04420037
K3=AAT(1,K2+7)                04430037
IF(K3.GE.1) GO TO 5021       04440035
IF(AAT(I,K2).EQ.0.0.OR.BBT(K3).EQ.0.0) GO TO 5020 04450033
V=W-AAT(I,K2)*BBT(K3)        04460004
5020  CONTINUE                 04470037
5021  W=W/PIVOT                04480037
BBT(I)=W                      04490003
5015  CONTINUE                 04500037
C                               04510058
C                               ----- L V = R -----
C                               04520037
C                               04530056
DO 9198 JE=1,7                04540056
IBUF=BB(N,JE+7)               04550067
IF(IBUF.EQ.N) GO TO 9199     04560067
9198  CONTINUE                 04570056
GO TO 9205                   04580056
9199  S1(N)=BBT(N)/BB(N,JE)   04590067
DO 9200 IE=N-1,1,-1           04600067
DO 9201 JB=1,7                04610056
IBUF=BB(IE,JB+7)               04620056
IF(IBUF.EQ.IE) GO TO 9202     04630056
9201  CONTINUE                 04640056
GO TO 9203                   04650056
9202  PIVOT=BB(IE,JB)          04660056
9203  IF(PIVOT.EQ.0.0) PIVOT=1.0 04670056
W=BBT(IE)                     04680056

```

Figure D.1 (Continued) (6/9)

```

DO 9204 JE2=1,7          04690056
IBUF=BB(IE,JE2+7)        04700056
IF(IBUF.LE.IE) GO TO 9204 04710056
IF(BB(IE,JE2).EQ.0.0.OR.S1(IBUF).EQ.0.0) GO TO 9204 04720058
V=W-BB(IE,JE2)*S1(IBUF) 04730058
9204 CONTINUE             04740056
W=W/PIVOT                04750056
S1(IE)=W                  04760057
9200 CONTINUE             04770056
9205 CONTINUE             04780056
C                         04790058
C                         -----
C                         L(T) U = V -----
C                         04800037
7047 CONTINUE             04810037
C                         04820037
DENOMI=0.0                04830003
DENOMJ=0.0                04840003
DO 4006 I=1,N             04850067
IF(IFPCG.NE.-5) DENOMJ=DENOMJ+RR(I)*PP(I) 04860037
C                         04870037
IF(IFPCG.EQ.-5) DENOMJ=DENOMJ+RR(I)*S1(I) 04880037
C                         04890037
4006 DENOMI=DENOMI+S2(I)*PP(I)               04900015
ALPHA=DENOMJ/DENOMI           04910003
DO 4007 I=1,N             04920067
4007 XX(I)=XX(I)+ALPHA*PP(I) 04930003
C                         04940037
DENOMI=0.0                04950003
DO 4008 I=1,N             04960067
IF(IFPCG.NE.-5) DENOMI=DENOMI+RR(I)*=2       04970037
C                         04980037
4008 IF(IFPCG.EQ.-5) DENOMI=DENOMI+RR(I)*S1(I) 04990037
C                         05000037
DO 4009 I=1,N             05010067
4009 RR(I)=RR(I)-ALPHA*S2(I) 05020009
C                         05030037
IF(IFPCG.NE.-5) GO TO 7051 05040037
BBT(I)=RR(I)/AAT(1,1)      05050037
DO 5042 I=2,N             05060067
DO 5043 J=1,7              05070037
J2=AAT(1,J+7)              05080037
IF(J2.EQ.1) GO TO 5044    05090037
5043 CONTINUE               05100037
GO TO 5045                 05110037
5044 PIVOT=AAT(1,J)        05120037
5045 IF(PIVOT.EQ.0.0) PIVOT=1.0 05130037
W=RR(I)                    05140004
DO 5047 K2=1,7              05150037
K3=AAT(1,K2+7)              05160037
IF(K3.GE.1) GO TO 5048    05170035
IF(AAT(1,K2).EQ.0.0.OR.BBT(K3).EQ.0.0) GO TO 5047 05180033
V=W-AAT(1,K2)*BBT(K3)    05190004
5047 CONTINUE               05200037
5048 W=W/PIVOT               05210037
BBT(I)=V                   05220003
5042 CONTINUE               05230037
C                         -----
C                         L V = R -----
C                         05240037
C                         05250056
DO 9206 JE=1,7              05260056
IBUF=BB(N,JE+7)            05270067
IF(IBUF.EQ.N) GO TO 9207  05280067
9206 CONTINUE               05290056
GO TO 9213                 05300056
.207 S1(N)=BBT(N)/BB(N,JE) 05310067
DO 9208 IE=N-1,1,-1        05320067
DO 9209 JB=1,7              05330056
IBUF=BB(IE,JB+7)            05340056
IF(IBUF.EQ.IE) GO TO 9210  05350056
9209 CONTINUE               05360056
GO TO 9211                 05370056
9210 PIVOT=BB(IE,JB)        05380056
9211 IF(PIVOT.EQ.0.0) PIVOT=1.0 05390056
W=BBT(IE)                  05400056
DO 9212 JE2=1,7              05410056
IBUF=BB(IE,JE2+7)            05420056
IF(IBUF.LE.IE) GO TO 9212  05430056
IF(BB(IE,JE2).EQ.0.0.OR.S1(IBUF).EQ.0.0) GO TO 9212 05440058
V=W-BB(IE,JE2)*S1(IBUF)    05450058
9212 CONTINUE               05460056

```

Figure D.1 (Continued) (7/9)

```

      W=W/PIVOT          05470056
      S1(IE)=W          05480057
  9208      CONTINUE          05490056
  9213      CONTINUE          05500056
C           ----- L(T) U = V -----
C
  7051 CONTINUE          05510037
C
  05520037
  05530037
  05540003
  05550067
  05560037
  05570037
  05580037
  05590037
  05600003
  05610037
  05620067
  05630037
  05640037
  05650037
  05660037
  05670015
  05680015
  05690015
  05700067
  05710015
  05720028
  05730028
  05740028
  05750015
  05760003
  05770063
  05780069
  05790069
  05800015
  05810015
  05820015
  05830015
  05840015
  05850015
  05860015
  05870015
  05880067
  05890015
  05900015
  05910015
  05920015
  05930015
  05940015
  05950015
  05960015
  05970067
  05980015
  05990015
  06000015
  06010015
  06020015
  06030015
  06040003
  06050069
  06060069
  06070069
  06080069
  06090069
  06100015
  06110062
  06120062
  06130062
  06140062
  06150015
  06160067
  06170015
  06180015
  06190015
  06200015
  06210015
  06220015
  06230015
  06240067
C
C           **** CONJUGATE GRADIENT LOOP TERMINATING ****
C
  4012 CONTINUE          06100015
  WRITE(6,4021) ITMCG,ITERCG,DCONV2,RRMAX,DLMAX
  4021 FORMAT(5X,'>> C.G. ITERATION COMPLETED : LIMIT=',I5,
  1' ITERCG=',I5,' DCONV2=',E15.6,' RRMAX=',E15.6,' DLMAX=',E16.6,
  2' <<<')
  IF(ITERCG.NE.3) GO TO 4029
  DO 4028 II=1,N
    WRITE(6,4026) II,XX(II),RR(II),DENOMJ,BET
  4026 FORMAT(' II=',I3,' XX=',E12.5,' RR=',E12.5,
  1' DENOMJ=',E12.5,
  2' BET=',E12.5)
  4025 CONTINUE
  4027 CONTINUE
  GO TO 4100
C
C           **** SCALE BACK OF SCALED MATRIX AA BY ALPH(I) ****
C
  DO 3063 I=1,N

```

Figure D.1 (Continued) (8/9)

3063	XX(I)=XX(I)/ALPH(I)	06250015
3064	CONTINUE	06260015
C		06270037
	11=0	06280015
	DO 4013 H0=1,N	06290067
	P(H0)=XX(I1)	06300015
4013	CONTINUE	06310015
	GO TO 660	06320004
C		06330003
	99 CONTINUE	06340066
C		06350067
C	---- S. O. R. PROCESS ----	06360067
C	I	06370069
C	I	06380069
C	I	06390069
C	I	06400069
C	I	06410069
C	-----	06420069
		06430069
660	CONTINUE	06440067
	RETURN	06450066
	END	06460066

Figure D.1 (Continued) (9/9)

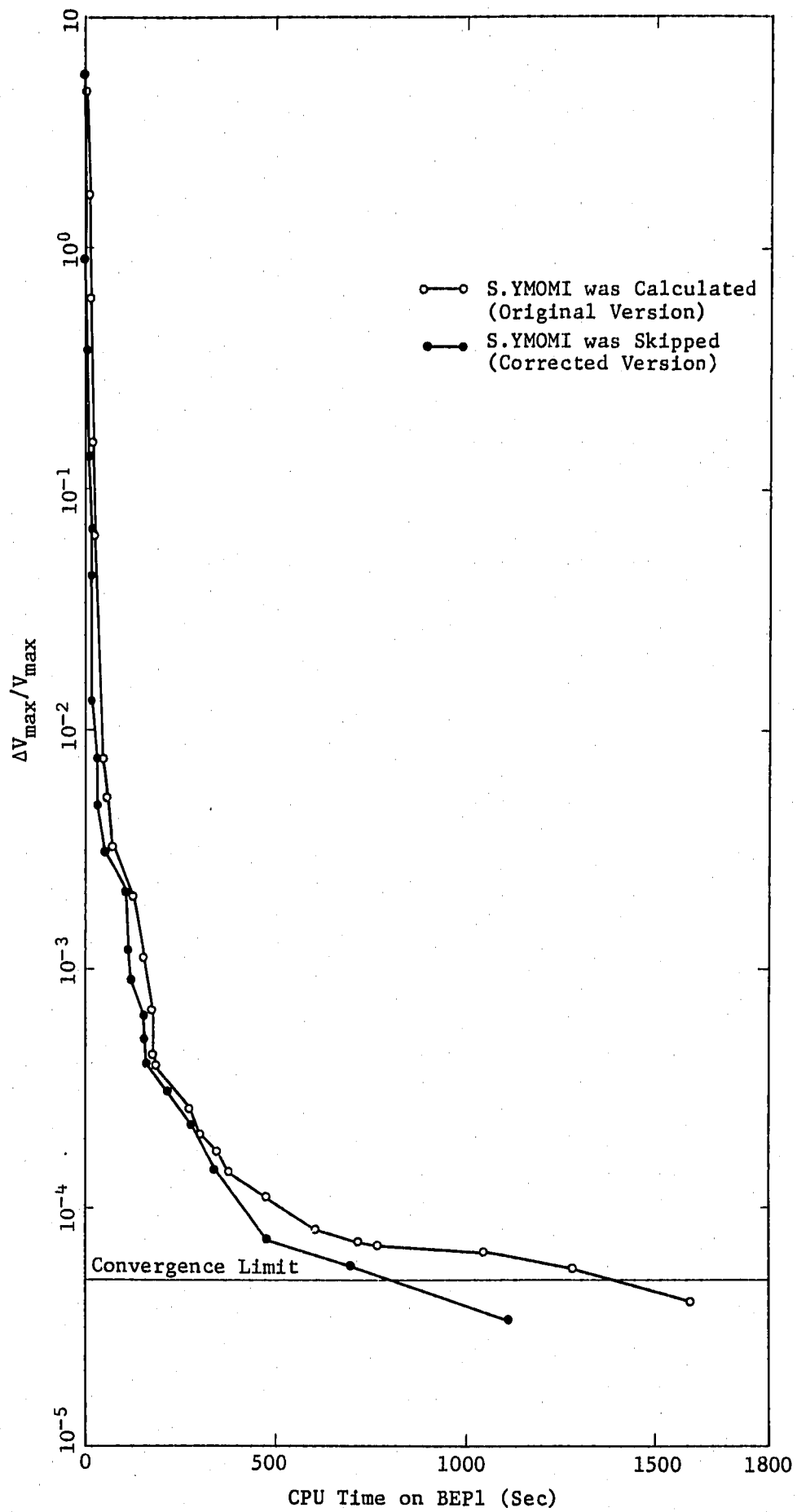


Fig. E.1 Comparison of Convergenciness Between Original Version

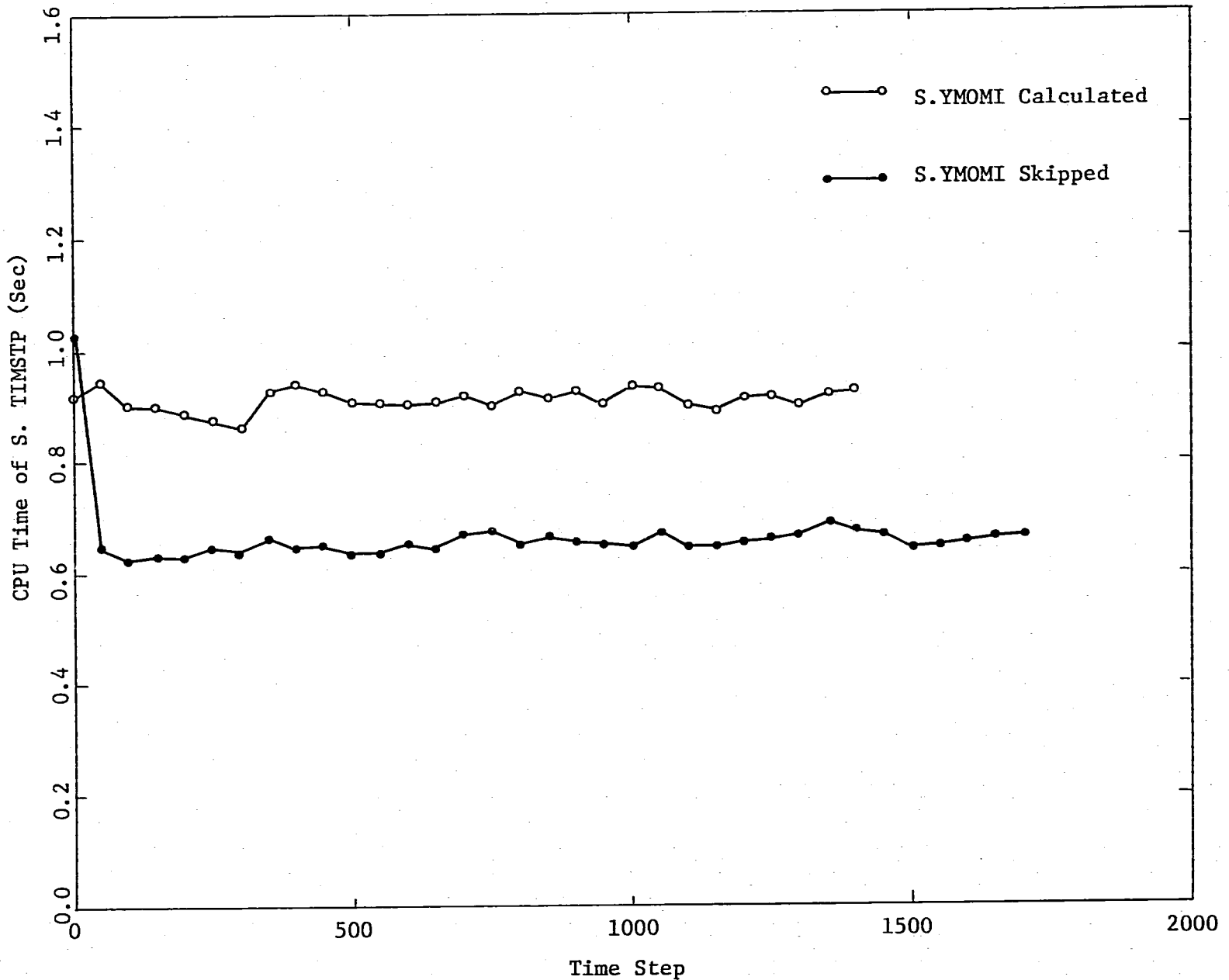


Fig. E.2 Effect of S.YMOMI Skip for CPU Time of S.TIMSTP

- 08 -

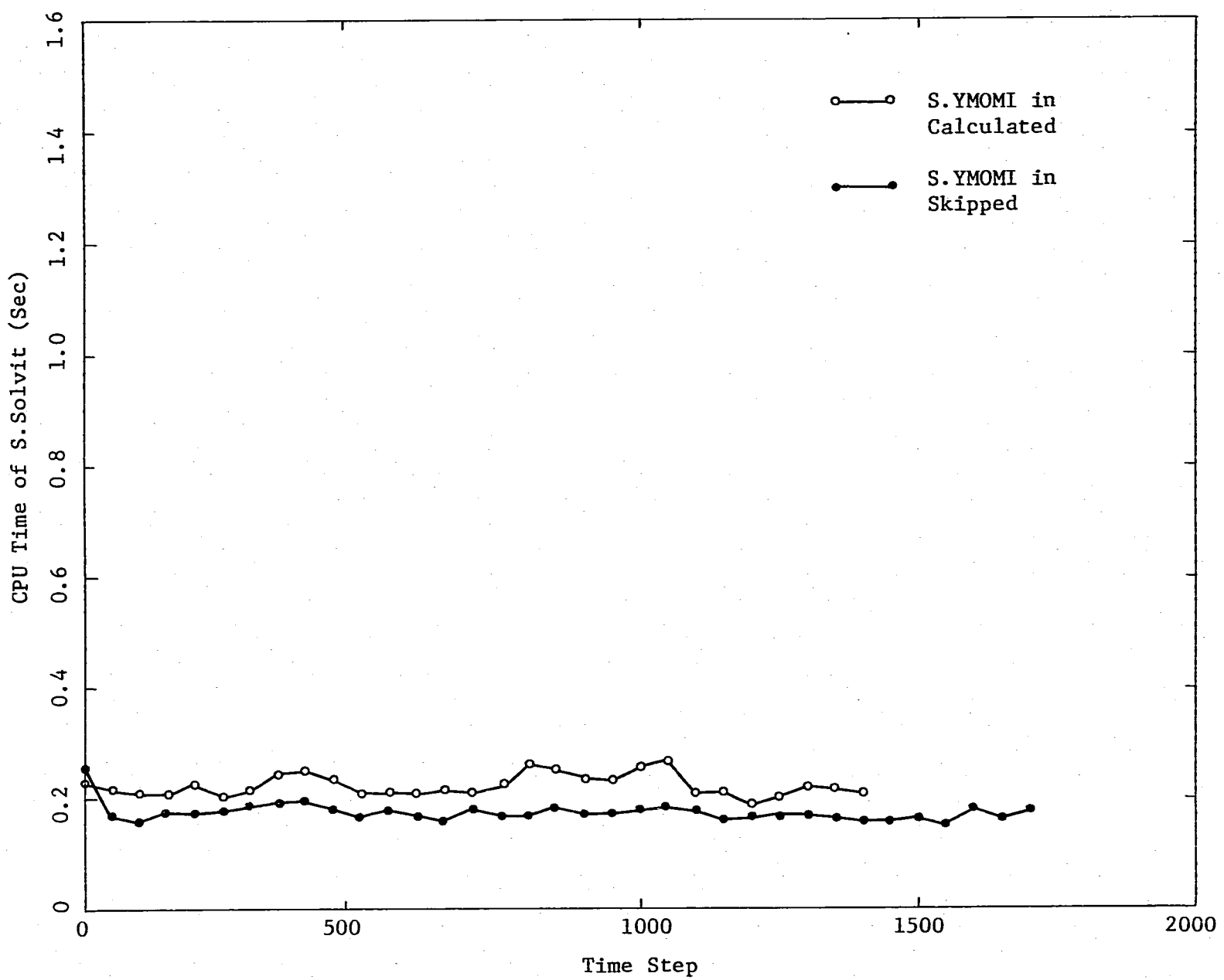


Fig. E.3 Effect of S.YMOMI Skip for CPU Time of S.SOLVIT